

MINISTERUL EDUCATIEI SI INVATAMINTULUI
INSTITUTUL POLITEHNIC "TRAIAN VULIU" TIMISOARA
FACULTATEA DE ELECTROTEHNICA

ING.GHERMAN GHEORGHE

CONTRIBUTII LA CALCULUL NUMERIC AL
CIMPULUI MAGNETIC CVASISTATIONAR

TEZA DE DOCTORAT

Conducător științific
Prof.dr.ing. De Sabata Ioan

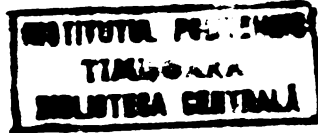
BIBLIOTECA CENTRALĂ
UNIVERSITATEA "POLITEHNICA"
TIMIȘOARA

TIMIȘOARA - 1982

13446409
D

CUPRINS

CUPRINS
INTRODUCERE
CAP. 1. CONDITII DE UNICITATE IN DETERMINAREA CIMPULUI MAGNETIC CVASISTATIONAR	7
1.1. Introducere	7
1.2. Teoreme privind determinarea univocă a cîmpului magnetic cvasistationar în medii neliniare, izotrope, neomogene, fără magnetizatîe permanentă și cu magnetizare reversibilă	7
CAP. 2. METODE NUMERICE DE CALCUL AL CIMPULUI MAGNETIC CVASISTATIONAR	12
2.1. Introducere	12
2.2. Considerații generale	12
2.3. Metoda diferențelor finite	13
2.4. Metoda elementelor finite	21
2.5. Comparație între metoda diferențelor finite și metoda elementelor finite	30
2.6. Concluzii	35
CAP. 3. CALCULUL CIMPULUI MAGNETIC CVASISTATIONAR PLAN-PARALEL CU O METODA CU DIFERENTE FINITE ITERATIVA, EXTINSA PE RETEA RECTANGULARA PERIODICA CU PAS NEEGAL	36
3.1. Introducere	36
3.2. Formularea problemei de cîmp	38
3.3. Substituirea ecuațiilor diferențiale cu derivate parțiale cu ecuații cu diferențe finite	39
3.4. Considerarea proprietăților magnetice	42
3.5. Rezolvarea iterativă a sistemului de ecuații cu diferențe finite	44
3.6. Alegerea mărimilor $Z_H(I,J)$ și $Z_B(I,J)$	48
3.7. Calculul potențialului magnetic vector și trăsarea liniilor de cîmp ale inducției magnetice	61
3.8. Algoritmul de calcul	63
3.9. Exemplu de aplicare a metodei	63
CAP. 4. ANALIZA UNOR FACTORI DE INFLUENȚĂ A VITĂZEI DE CONVERGENȚĂ A METODEI CU DIFERENTE FINITE ITERATIVA, EXTINSA PE RETEA RECTANGULARA PERIODICA CU PAS NEEGAL	75
4.1. Introducere	75



4.2. Funcțiile analitice de aproximare a dependențelor ne-	
liniare $B(H)$ și/sau $H(B)$	76
4.2.1. Aproximarea cu funcție spline de ajustare	76
4.2.2. Aproximarea cu funcție segmentar polinomială de gra-	
dul 2	82
4.2.3. Aproximarea cu funcție hiperbolică completată cu	
termen liniar	88
4.3. Bazeierea încrucișată a elementelor	92
4.4. Valoarea coeficientului de relaxare k_r	94
CAP. 5 . CALCUL CIMPULUI MAGNETIC CVASISTATIONAR PLAN-PARALLEL	
CU O METODA CU DIFERENTE FINITE RECURENTA	96
5.1. Introducere	96
5.2. Formularea problemei de cimp și substituirea ecuațiilor diferențiale cu derivate parțiale cu ecuații cu diferențe finite	96
5.3. Rezolvarea recurrentă a sistemului de ecuații cu diferențe finite	96
5.4. Considerarea proprietăților magnetice	99
5.5. Algoritmul de calcul	loc
5.6. Exemplu de aplicare a metodei	100
CAP. 6 . DETERMINAREA CIMPULUI MAGNETIC DIN CONOTORUL DE INDUCTIE	
MONOFAZAT	106
6.1. Introducere	106
6.2. Calculul distribuției valorilor inducției magnetice într-o secțiune mediană a contorului de inducție monofazat	107
6.2.1. Cazul alimentării bobinei de curent	108
6.2.2. Cazul alimentării bobinei de tensiune	110
6.3. Determinarea experimentală a distribuțiilor valorilor de amplitudine ale inducției magnetice în planul discului	112
CONCLUZII SI CONTRIBUTII	115
BIBLIOGRAFIE	120
ANEXA A1	
ANEXA A2	
ANEXA A3	
ANEXA A4	

INTRÓDUCERE

Dezvoltarea producției și a consumului de energie electrică este însoțită, pe de o parte, de creșterea puterii mașinilor și a aparatelor electrice, precum și a altor instalații electrotehnice și, pe de altă parte, de mărirea siguranței în funcționare și a economicității lor.

Calculul și dimensionarea mașinilor și a aparatelor electrice, a altor instalații electrotehnice ale căror performanțe tehnice și economice depind de repartiția spațială a cîmpului electromagnetic din ele, au impus perfecționarea metodelor de calcul al cîmpului magnetic. Greutățile care apar la calculul cîmpului magnetic sunt legate de complexitatea configurațiilor geometrice ale sistemelor magnetice, de complicata repartiție spațială a curenților de conductie și de prezența mediilor feromagnetic cu caracteristici de magnetizare neliniare, aproximabile precis cu dificultate în gama posibilă de variație a intensității cîmpului magnetic și inducției magnetice prin relații analitice simple.

Dintre metodele de calcul al cîmpului magnetic, tot mai des sunt folosite astăzi metodele numerice. Metodele numerice de calcul al cîmpului magnetic permit determinarea valorilor numerice ale componentelor vectorilor intensității cîmpului magnetic \bar{H} și inducției magnetice \bar{B} într-un număr suficient de mare, dar finit, de puncte ale unui domeniu D de existență a cîmpului magnetic.

Primele încercări de rezolvare numerică a ecuațiilor lui Maxwell care descriu ansamblul fenomenelor electromagnetice au fost făcute de o echipă de cercetători de la universitatea din Colorado și publicate în 1963 [82], care, plecînd de la o schemă cu diferențe finite, au calculat repartiția inducției magnetice în unele mașini electrice.

Metodele numerice de calcul al cîmpului magnetic au fost dezvoltate în continuare în principal în două direcții : pe baza unor scheme cu diferențe finite și prin adaptarea metodei elementelor finite, preluată din mecanică. În cadrul fiecărei direcții au apărut diverse variante, diferite prin gradul de generalitate, modul de formulare al problemei de cîmp, natura aparatului matematic folosit, modul de rezolvare, etc.

In ședința secției "Problemele teoriei cîmpului în apara-

"le electrofizice și electroenergetice" din cadrul Consiliului științific consacrat problemei "Bazele științifice ale electrofizicii și electroenergeticii", Filiala problemelor fizico-tehnice ale energeticii a Academiei de Științe a U.R.S.S., desfășurată în 27-28.06.1979 la Kiev și consacrată examinării rezultatelor obținute și perspectivelor în domeniul cercetării și folosirii metodelor iterative de calcul și modelare a cîmpurilor electromagnetice în construcțiile electrotehnice s-a apreciat că la baza majorității metodelor de rezolvare a problemelor de teoria cîmpului stau procesele iterative [48]. Actualitatea metodelor numerice iterative de calcul al cîmpului magnetic este legată de larga pătrundere a tehnicii de calcul moderne în domeniul calculelor electrotehnice.

Solucionarea unei probleme de cîmp pretinde rezolvarea unor ecuații diferențiale cu derivate partiale, neliniare [33, 45-48, 50, 84]. Particularitatea tratării uzuale pe baza metodei diferențelor finite și metodei elementelor finite, care se reduce la algebrizarea nemijlocită a problemei, constă în aceea că, chiar o rezolvare exactă a sistemului de ecuații algebrice obținut nu permite să se obțină o soluție exactă a problemei de cîmp, întrucît sistemul de ecuații algebrice nu conține aceeași informație ca și sistemul inițial de ecuații diferențiale neliniare [48].

Pierderile de informație pot fi evitate în cazul rezolvării prin procedee iterative speciale a problemei de cîmp [10, 11, 21, 52, 53]. Principalele eforturi ale cercetătorilor în domeniul metodelor numerice iterative de calcul al cîmpului magnetic sunt îndreptate spre generalizarea și perfectionarea metodelor și a algoritmilor de rezolvare a problemelor de cîmp, spre creșterea vitezelor de convergență și spre crearea de programe economice pentru calculatoarele electronice [48].

Teza de doctorat elaborată se înscrie în domeniul de cercetare de mai sus, în ea urmărindu-se generalizarea și perfecționarea unor metode numerice de calcul al cîmpului magnetic ovașistionar, creșterea vitezei lor de convergență, elaborarea unor algoritmi de calcul simpli, crearea de programe economice pe baza lor și aplicarea metodelor numerice în scopul determinării distribuției de cîmp magnetic în contorul de inducție monofazat.

Teza de doctorat conține o introducere, 6 capitole și o parte finală. În cadrul introducerii sunt localizate obiectivele urmărite în teză din punctul de vedere al actualității lor. În capitolul 1 se tratează condițiile de unicitate în determinarea cîmpului magnetic cvasistationar în medii neliniare, neomogene, izotrope, fără magnetizație permanentă și cu magnetizare reversibilă. În capitolul 2 se prezintă metoda diferențelor finite și metoda elementelor finite în variante uzuale. Se face o comparație între ele și se trăg concluzii cu privire la utilizarea lor. Capitolul 3 tratează calculul cîmpului magnetic cvasistationar cu o metodă cu diferențe finite iterativă, extinsă pe rețea rectangulară periodică cu pas neegal, problema de cîmp rezolvîndu-se în raport cu valorile componentelor vectorilor \bar{H} și \bar{B} în nodurile rețelei de discretizare a domeniului D de existență a cîmpului magnetic. În capitolul 4 sunt analizați unii factori de influență a vitezei de convergență a metodei cu diferențe finite iterativă, extinsă pe rețea rectangulară periodică cu pas neegal. În capitolul 5 este prezentată o metodă cu diferențe finite recurrentă ce permite calculul rapid al distribuției cîmpului magnetic cvasistationar într-un domeniu D dreptunghiular, la care se cunosc valorile componentelor lui \bar{H} și/ sau \bar{B} pe două laturi vecine. În cadrul capitolului 6 este calculată cu metoda cu diferențe finite iterativă, extinsă pe rețea rectangulară cu pas neegal, distribuția inducției magnetice într-o secțiune mediană a contorului de inducție monofazat CAM-7. Această distribuție este verificată în planul discului prin măsurători experimentale. În sfîrșit, partea finală este rezervată concluziilor, contribuțiilor și încheierii.

CAPITOLUL 1

CONDITII DE UNICITATE IN DETERMINAREA CIMPULUI MAGNETIC CVASISTATIONAR

1.1. Introducere

In rezolvarea unei probleme de cimp magnetic, cunoasterea conditiilor de unicitate este necesara pentru enuntarea corecta a problemei de cimp. Valurile marimilor care asigura unicitatea solutiei unei probleme de cimp trebuie precizate in prealabil. Daca prin rezolvarea unei probleme de cimp se obtine o singura solutie, atunci respectiva solutie corespunde realitatii fizice [43]. In acest prim capitol sunt analizate conditiile de unicitate in determinarea cimpului magnetic cvasistationar in medii neliniare, izotrope, neomogene, fara magnetizatie permanenta si cu magnetizare reversibila. In cadrul acestor medii pot fi incluse si materialele ferromagnetice moi cu ciclu de histereză ingust, in situatia in care ele sunt caracterizate prin curba de magnetizare fundamentală.

Pe baza a două teoreme de unicitate se arată că determinarea cimpului magnetic cvasistationar este univocă în astfel de medii dacă se dau distribuția densității curentului de conductie în interiorul domeniului D de existență a cimpului magnetic și fie componenta tangențială a potentialului magnetic vector sau componenta tangențială a intensității cimpului magnetic, fie componenta normală a inducției magnetice pe suprafața frontieră Σ ce închide domeniul D .

1.2. Teoreme privind determinarea univocă a cimpului magnetic cvasistationar în medii neliniare, izotrope, neomogene, fară magnetizatie permanentă și cu magnetizare reversibila

Mediile neliniare fară magnetizatie permanentă și cu magnetizare reversibila au curba de magnetizare de forma din fig.1.1. Curba de magnetizare este monotonă, iar la $\bar{H}=0$ corespunde $\bar{B}=0$. Mediile cu ciclu de histereză ingust pot fi studiate intr-o primă

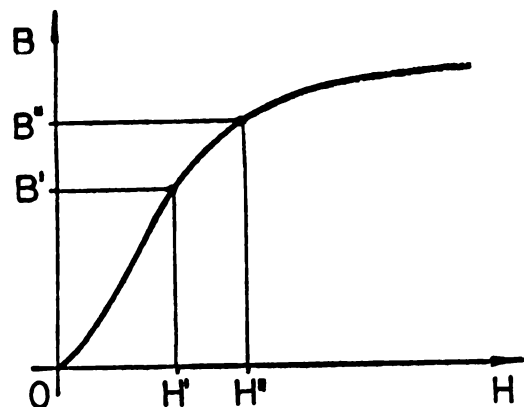


Fig.1.1

niului închis D sănt date:

- vectorul \bar{J}_c care caracterizează repartiția curentilor de conductie;

- funcție

$$\bar{B} = \mu \bar{H} \quad (1.1)$$

ce caracterizează proprietățile magnetice ale mediului domeniului D, în general diferită în diferite puncte ale domeniului D;

- forma diferențială a teoremei lui Ampère

$$\text{rot } \bar{H} = \bar{J}_c; \quad (1.2)$$

- forma diferențială a legii fluxului magnetic

$$\text{div } \bar{B} = 0. \quad (1.3)$$

Mărimele \bar{J}_c , \bar{H} și \bar{B} reprezintă vectorii densității de curent de conductie, intensității cîmpului magnetic și respectiv inducției magnetice iar μ este permeabilitatea magnetică a mediului.

Se introduce potențialul magnetic vector \bar{A} prin relațiile [2, 58, 64, 68] :

$$\left. \begin{array}{l} \text{rot } \bar{A} = \bar{B}, \text{rot}_s \bar{A} = 0 \\ \text{div } \bar{A} = 0, \text{div}_s \bar{A} = 0 \end{array} \right\}, \quad (1.4)$$

adevărate în orice punct al domeniului D.

Teorema 1: Cîmpul magnetic cvasistacionar din interiorul unui domeniu D mărginit de o suprafață închisă Σ este univoc determinat într-un mediu neliniar, izotrop, neomogen, fără magnetizare permanentă și cu magnetizare reversibilă dacă sănt date:
a/ distribuția densității curentului de conductie \bar{J}_c în interiorul domeniului D; b/ fie componenta tangențială a intensității cîmpului magnetic, \bar{H}_t , fie componenta tangențială a potențialului magnetic vector, \bar{A}_t , pe suprafața frontieră Σ [83].

aproximație considerind doar curba de magnetizare fundamentală (locul geometric al vîrfurilor ciclurilor de histereză reproductibile); pentru astfel de medii produsul $\bar{H} \cdot \bar{B}$ este pozitiv [83].

Se consideră un domeniu D, mărginit de o suprafață închisă Σ . Mediul din interiorul domeniului D este neliniar, izotrop, neomogen, fără magnetizare permanentă și cu magnetizare reversibilă. În fiecare punct al dome-

Pentru demonstrarea acestei teoreme, se calculează integrala de volum a produsului $\bar{H} \cdot \bar{B}$ pe volumul V_D al domeniului D, având în vedere că

$$\operatorname{div}(\bar{H} \times \bar{A}) = -\bar{H} \cdot \operatorname{rot} \bar{A} + \bar{A} \cdot \operatorname{rot} \bar{H} = -\bar{H} \cdot \bar{B} + \bar{A} \cdot \bar{J}_C. \quad (1.5)$$

Deci

$$\int_{V_D} \bar{H} \cdot \bar{B} dv = - \int_{V_D} \operatorname{div}(\bar{H} \times \bar{A}) dv + \int_{V_D} \bar{A} \cdot \bar{J}_C dv. \quad (1.6)$$

Aplicând formula integrală a divergenței [2, 3], rezultă

$$\int_{V_D} \operatorname{div}(\bar{H} \times \bar{A}) dv = \int_{\Sigma} (\bar{H} \times \bar{A}) \cdot \bar{ds} - \int_{S_d} \operatorname{div}_S (\bar{H} \times \bar{A}) ds, \quad (1.7)$$

unde S_d este o eventuală suprafață de separație între medii cu proprietăți magnetice diferite (fig.1.2). Se mai poate scrie

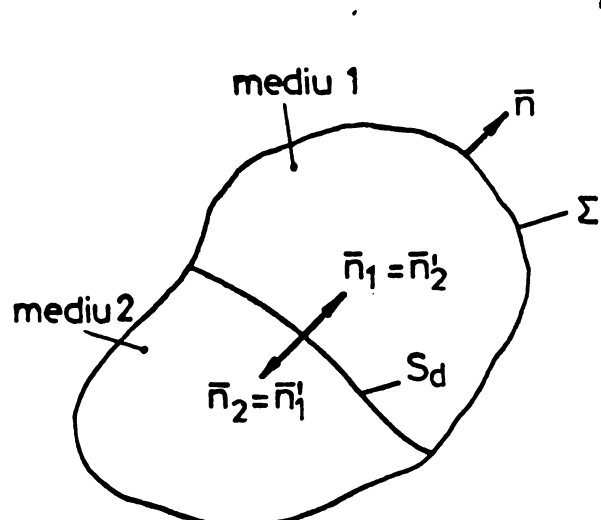


Fig.1.2

$$\int_{\Sigma} (\bar{H} \times \bar{A}) \cdot \bar{ds} = \int_{\Sigma} (\bar{H}_t \times \bar{A}_t) \cdot \bar{n} ds \quad (1.8)$$

și deci

$$\begin{aligned} \int_{V_D} \bar{H} \cdot \bar{B} dv &= - \int_{\Sigma} (\bar{H}_t \times \bar{A}_t) \cdot \bar{n} ds + \\ &+ \int_{S_d} \operatorname{div}_S (\bar{H} \times \bar{A}) ds + \int_{V_D} \bar{A} \cdot \bar{J}_C dv. \end{aligned} \quad (1.9)$$

Fie în continuare două soluții \bar{H}' , \bar{H}'' ; \bar{B}' , \bar{B}'' și \bar{A}' , \bar{A}'' care corespund aceleiași distribuții de curent de conducție și satisfac

aceleiasi condiții de frontieră pe suprafața Σ :

$$\bar{J}_C' = \bar{J}_C'' \text{ și } (\bar{H}_t' = \bar{H}_t'') \text{ pe } \Sigma \quad \text{sau } (\bar{A}_t' = \bar{A}_t'') \text{ pe } \Sigma. \quad (1.10)$$

Diferențele acestor soluții

$$\bar{H} = \bar{H}' - \bar{H}'' , \quad \bar{B} = \bar{B}' - \bar{B}'' \quad (1.11)$$

sunt cîmpuri de vectori care satisfac ecuațiile

$$\operatorname{rot} \bar{H} = \operatorname{rot}(\bar{H}' - \bar{H}'') = \bar{J}_C' - \bar{J}_C'' = \bar{J}_C = 0, \quad (1.12)$$

$$\bar{B} = \bar{B}' - \bar{B}'' = \operatorname{rot}(\bar{A}' - \bar{A}'') = \operatorname{rot} \bar{A}, \quad (1.13)$$

care au forma relației (1.12), respectiv a primei relații (1.4).

Aplicând acestor cîmpuri relația (1.9), rezultă

$$\begin{aligned} \int_{V_D} (\bar{H}' - \bar{H}'') \cdot (\bar{B}' - \bar{B}'') dv &= - \int_{\Sigma} (\bar{H}_t \times \bar{A}_t) \cdot \bar{n} ds + \int_{S_d} \operatorname{div}_S (\bar{H} \times \bar{A}) ds + \\ &+ \int_{V_D} \bar{A} \cdot \bar{J}_C dv. \end{aligned} \quad (1.14)$$

Prima integrală din membrul drept al relației (1.14) este nulă pe baza celei de-a doua condiții din (1.10).

Pe suprafața S_d vectorul \bar{A} este continuu pentru că sunt continui vectorii \bar{A}' și \bar{A}'' și deci a doua integrală din membrul drept este

$$\begin{aligned} \int_{S_d} \operatorname{div}_S (\bar{H} \times \bar{A}) dS &= \int_{S_d} [\bar{n}_1 \cdot (\bar{H}_1 \times \bar{A}) + \bar{n}_2 \cdot (\bar{H}_2 \times \bar{A})] dS = \\ &= \int_{S_d} \bar{A} \cdot [\bar{n}_1' \times (\bar{H}_1 - \bar{H}_2)] dS = \int_{S_d} \bar{A} \cdot \operatorname{rot}_S \bar{H} dS. \end{aligned} \quad (1.15)$$

Si această integrală este nulă conform relației (1.12).

A treia integrală din membrul drept al relației (1.14) este de asemenea nulă pe baza relației (1.12) aplicată pe suprafața S_d . Deci

$$\int_{V_D} (\bar{H}' - \bar{H}'') \cdot (\bar{B}' - \bar{B}'') dv = 0. \quad (1.16)$$

Se presupune acum că direcțiile locale ale vectorilor \bar{H}' și \bar{H}'' fac între ele unghiul α (și deci ale vectorilor \bar{B}' și \bar{B}'' , mediu fiind izotrop). Relația (1.16) devine

$$\int_{V_D} [H'B' + H''B'' - (H'B'' + H''B') \cos \alpha] dv = 0. \quad (1.17)$$

Pentru orice $H' \neq H''$ și $B' \neq B''$ integratul relației (1.16) este pozitiv și relația nu poate fi deci satisfăcută. Într-adevăr, dacă $\alpha = 0$, atunci

$$H'B' + H''B'' - (H'B'' + H''B') = (H' - H'')(B' - B'') > 0, \quad (1.18)$$

deoarece dacă $H' \geq H''$ și $B' \geq B''$, în virtutea monotoniei caracteristicii de magnetizare a mediului (fig.1.1). Pentru orice unghi $\alpha \neq 0$, $-1 < \cos \alpha < 1$ și

$$H'B' + H''B'' - (H'B'' + H''B') \cos \alpha \geq (H' - H'')(B' - B'') > 0. \quad (1.19)$$

Integrala (1.16) este deci integrala unei funcții pozitiv definite pentru $H' \neq H''$ (și deci $B' \neq B''$). Pentru ca această integrală să fie nulă, este deci necesar ca $\alpha = 0$ și $H' = H''$ (și deci $B' = B''$), adică $\bar{H}' = \bar{H}''$ și deci $\bar{B}' = \bar{B}''$.

Teorema 2: Cimpul magnetic cvasistacionar din interiorul unui domeniu D mărginit de o suprafață închisă Σ este unic și determinat într-un mediu neliniar, izotrop, neomogen, fără magnetizație permanentă și cu magnetizare reversibilă dacă sunt date: a/ distribuția densității curentului de conductie \bar{J}_c în interiorul domeniului D ; b/ componenta normală a inducției magnetice, \bar{B}_n , pe

suprafață frontieră Σ [58].

Demonstrarea acestei teoreme se face plecind tot de la integrala de volum a produsului $\bar{H} \cdot \bar{B}$ pe volumul V_D al domeniului D. Se admite existența a două soluții \bar{H}' , \bar{H}'' ; \bar{B}' , \bar{B}'' și \bar{A}' , \bar{A}'' care corespund aceleiași distribuții de curent de conducție și care satisfac aceleiasi condiții de frontieră pe suprafață Σ :

$$\bar{J}'_C = \bar{J}''_C \text{ și } (\bar{B}'_n = \bar{B}''_n) \text{ pe } \Sigma \quad (1.20)$$

Diferențele acestor soluții

$$\bar{H} = \bar{H}' - \bar{H}'', \quad \bar{B} = \bar{B}' - \bar{B}'' \quad (1.21)$$

sunt cimpuri de vectori care satisfac ecuațiile (1.12, 1.13). Se poate deci considera că \bar{H} provine dintr-un potențial magnetic scalar, adică

$$\bar{H} = -\text{grad } \psi_H \quad (1.22)$$

și deci

$$\int_{V_D} \bar{H} \cdot \bar{B} dv = - \int_{V_D} \text{grad } \psi_H \cdot \bar{B} dv. \quad (1.23)$$

Dar

$$\text{grad } \psi_H \cdot \bar{B} = \text{div}(\psi_H \bar{B}) - \psi_H \text{div } \bar{B}. \quad (1.24)$$

Al doilea termen din membrul drept este nul pe baza relației (1.3). Mai departe, aplicând formula integrală a divergenței, rezultă

$$\begin{aligned} \int_{V_D} \bar{H} \cdot \bar{B} dv &= - \int_{V_D} \text{div}(\psi_H \bar{B}) dv = - \int_{\Sigma} \psi_H \bar{B} \cdot \bar{n} ds + \\ &+ \int_{S_d} \text{div}_s(\psi_H \bar{B}) ds. \end{aligned} \quad (1.25)$$

Dar

$$\int_{\Sigma} \psi_H \bar{B} \cdot \bar{n} ds = \int_{\Sigma} \psi_H \bar{B} \cdot \bar{n} ds = \int_{\Sigma} \psi_H B_n ds. \quad (1.26)$$

Pe suprafața Σ , $B_n = 0$ conform celei de-a doua condiții (1.20) și deci integrala (1.26) este nulă. Mai departe, având în vedere că pe suprafața S_d potențialul magnetic scalar este continuu pentru că pe S_d , $\text{rot}_s \bar{H} = 0$, se obține

$$\int_{S_d} \text{div}_s(\psi_H \bar{B}) ds = \int_{S_d} \psi_H (\bar{n}'_1 \cdot \bar{B}_1 + \bar{n}'_2 \cdot \bar{B}_2) ds = \int_{S_d} \psi_H \text{div}_s \bar{B} ds. \quad (1.27)$$

Si integrala (1.27) este nulă conform relației (1.3) aplicată pe suprafața S_d . In final se ajunge deci tot la relația (1.16), demonstrația continuindu-se ca la teorema 1.

CAPITOLUL 2

METODE NUMERICE DE CALCUL AL CIMPULUI MAGNETIC CVASISTATIONAR

2.1. Introducere

In cadrul acestui capitol, după cîteva considerații generale privind metodele de calcul al cîmpului magnetic cvasistationar, clasificate în 5 mari grupe, se prezintă două metode numerice în variantele uzuale: metoda diferențelor finite și metoda elementelor finite. Se face apoi o comparație între ele, analizîndu-se erorile soluțiilor celor două metode, viteza lor de convergență, volumul resurselor utilizate ale calculatorului și facilitățile de implementare în rezolvarea problemelor de cimp. Pe baza comparației celor două metode numerice se trag concluzii privitoare la utilitatea lor în aplicații ingineresti ce vizează stabilirea unor distribuții de cimp magnetic.

2.2. Considerații generale

Numele metode de calcul ale cîmpului magnetic cvasistationar pot fi împărțite în mod convențional în următoarele mari grupe [11, 48, 68, 78] :

1. Metode analitice, care permit exprimarea soluției problemei de cimp sub forma unor relații de calcul finale, prin funcții precizate. Aceste metode se folosesc în general pentru calculul cîmpului magnetic în medii liniare, cu configurații simple, în general simetrice.

2. Metode care reduc calculul cîmpului magnetic la calculul unor circuite magnetice cu parametri concentrați. Astfel de metode, care se folosesc în calculele practice ale mașinilor și aparatelor electrice, pot lua în considerare caracteristicile de magnetizare neliniare ale unor medii. Ele se bazează însă pe ipoteza că direcțiiile în spațiu ale liniilor de cimp magnetic sunt cunoscute și cîmpul este uniform pe porțiuni, ceea ce limitează

utilizarea lor la mașinile și aparatelor electrice clasice, bine studiate, cu forme geometrice simple.

3. Metode de modelare fizică. Sunt metode particulare, care dă rezultate, în primul rînd, în cazuri speciale.

4. Metode care folosesc modele matematice, calculatoare analogice, etc. Precizia acestor metode nu este mare, dar poate fi suficientă în condițiile unor pretenții rezonabile.

5. Metode numerice, care, după cum s-a arătat, permit determinarea valorilor numerice ale componentelor vectorilor \vec{H} și \vec{B} într-un număr suficient de mare, dar finit de puncte ale unui domeniu D de existență a cîmpului magnetic.

Față de primele 4 grupe de metode de calcul al cîmpului magnetic, metodele numerice prezintă o aria de aplicabilitate mai largă și restricții la care sunt supuse mai puține.

In multe metode numerice de calcul al cîmpului magnetic cvasistaționar se folosesc noțiunile de potențial magnetic vector pentru tratarea cîmpului magnetic solenoidal și de potențial magnetic scalar pentru determinarea distribuției de cîmp magnetic în domeniul în care cîmpul poate fi considerat potențial. La aceste metode, calculul cîmpului magnetic se reduce la rezolvarea problemei locale de tip Dirichlet

$$L\phi=f \quad (2.1)$$

în domeniul D de existență a cîmpului și

$$\phi(P)=g(P), \quad P \in \Sigma \quad (2.2)$$

în punctele P ale frontierei Σ a domeniului D ; L este un operator diferențial liniar, ϕ este potențialul magnetic vector sau scalar iar f și g sunt funcții date [22, 23 39, 47, 74].

2.3. Metoda diferențelor finite

Principiul metodei diferențelor finite de calcul al cîmpului magnetic cvasistaționar este expris în multe lucrări de specialitate [4, 11, 19, 21, 39, 48, 52, 69, 78, 82, 84].

Cîmpul magnetic cvasistaționar din domeniul D produs de curenti de conductie de densitate \bar{J}_c , aflati în interiorul domeniului D este descris de ecuațiile diferențiale

$$\left. \begin{array}{l} \text{rot } \vec{H} = \vec{J}_c \\ \text{div } \vec{B} = 0 \end{array} \right\}, \quad (2.3)$$

la care se adaugă relația de legătură dintre intensitatea \vec{H} a

cîmpului magnetic și inducția magnetică \bar{B}

$$\bar{B} = \mu \bar{H}, \quad (2.4)$$

date în fiecare punct al domeniului D, precum și condițiile de frontieră pe suprafața Σ ce inchide domeniul D [27, 75].

Considerind că domeniul D este plan și că mediul din interiorul lui este izotrop și fără magnetizație permanentă, se poate scrie

$$\bar{B} = \mu \bar{H}, \quad (2.5)$$

unde μ este permeabilitatea magnetică a mediului. Notînd cu γ reluctivitatea magnetică a mediului dată de

$$\gamma = \frac{1}{\mu} \quad (2.6)$$

și considerînd cîmpul magnetic plan-paralel, din primele relații (2.3, 1.4) se obține

$$\frac{\partial}{\partial x} (\gamma \frac{\partial A_z}{\partial x}) + \frac{\partial}{\partial y} (\gamma \frac{\partial A_z}{\partial y}) = -J_c; \quad (2.7)$$

A_z este valoarea componentei potențialului magnetic vector după direcția perpendiculară pe planul domeniului D (singura nenulă) iar J_c este densitatea de curent de conducție normală la planul domeniului D.

Ecuatia (2.7) este o ecuație eliptică de tip Poisson, de forma (2.1). În cadrul metodei diferențelor finite se discretizează domeniul D cu o rețea de discretizare, de regulă rectangulară, și se înllocuiește în nodurile rețelei operatorul diferențial L

printr-o diferență. În fig. 2.1 este redată o porțiune din rețeaua de discretizare rectangulară conținînd 4 elemente. Elementele rețelei de discretizare, limitate de drepte paralele la axele Ox, Oy ale sistemului de axe xOy, ce înconjoară nodul 0 sunt caracterizate prin

$$J_{c1}, J_{c2}, J_{c3}, J_{c4} = \text{constant}, \quad (2.8)$$

$$\gamma_1, \gamma_2, \gamma_3, \gamma_4 = \text{constant}. \quad (2.9)$$

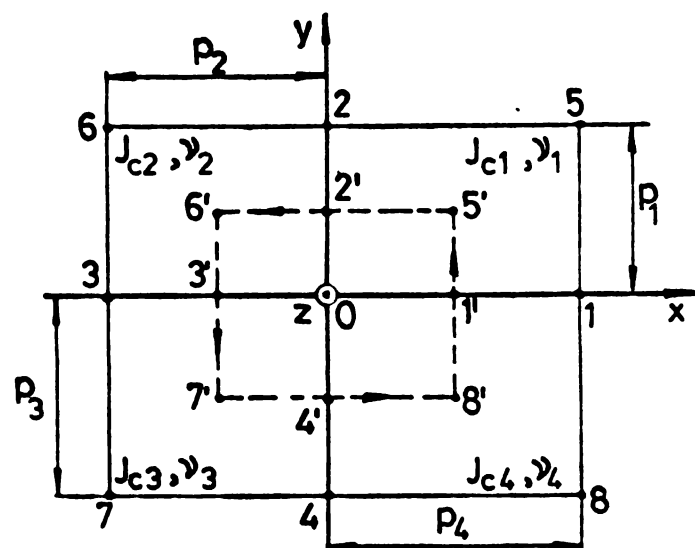


Fig.2.1

domeniului D cu o rețea de discretizare rectangulară, frontieră reală se înllocuiește cu o frontieră care urmează direcțiile latu-

rilor rețelei. Același procedeu se aplică și curbelor care delimită zone ale domeniului D cu densități de curent de conducție și proprietăți magnetice diferite. Procedeul este necesar ca urmare a acceptării ipotezelor definite prin relațiile (2.8, 2.9).

Se consideră forma integrală a teoremei lui Ampere

$$\oint_{\Gamma} \bar{H} \cdot d\bar{l} = \int_{A_{\Gamma}} \bar{J}_c \cdot d\bar{s} \quad (2.10)$$

și se acceptă un contur de integrare Γ format din mediatoarele segmentelor o1, o2, o3 și o4 ale rețelei de discretizare. Astfel,

$$\begin{aligned} & \int_{1'}^{5'} H_y dy + \int_{5'}^{2'} H_x dx + \int_{2'}^{6'} H_x dx + \int_{6'}^{3'} H_y dy + \int_{3'}^{7'} H_y dy + \\ & + \int_{7'}^{4'} H_x dx + \int_{4'}^{8'} H_x dx + \int_{8'}^{1'} H_y dy = \frac{1}{4} (J_{c1} p_1 p_4 + J_{c2} p_2 p_1 + \\ & + J_{c3} p_3 p_2 + J_{c4} p_4 p_3) = I_{co}. \end{aligned} \quad (2.11)$$

Cu I_{co} s-a notat curentul de conducție normal la planul xOy corespunzător ariei A_{Γ} limitată de conturul de integrare Γ .

Pe baza relațiilor (1.4, 2.5, 2.6) se poate scrie

$$\left. \begin{aligned} H_x &= \gamma \frac{\partial A_z}{\partial y} \\ H_y &= -\gamma \frac{\partial A_z}{\partial x} \end{aligned} \right\}, \quad (2.12)$$

relația (2.11) devenind

$$\begin{aligned} & -\gamma_1 \int_{1'}^{5'} \frac{\partial A_z}{\partial x} dy + \gamma_1 \int_{5'}^{2'} \frac{\partial A_z}{\partial y} dx + \gamma_2 \int_{2'}^{6'} \frac{\partial A_z}{\partial y} dx - \\ & -\gamma_2 \int_{6'}^{3'} \frac{\partial A_z}{\partial x} dy - \gamma_3 \int_{3'}^{7'} \frac{\partial A_z}{\partial x} dy + \gamma_3 \int_{7'}^{4'} \frac{\partial A_z}{\partial y} dx + \\ & + \gamma_4 \int_{4'}^{8'} \frac{\partial A_z}{\partial y} dx - \gamma_4 \int_{8'}^{1'} \frac{\partial A_z}{\partial x} dy = I_{co}. \end{aligned} \quad (2.13)$$

Piecare integrală din (2.13) se evaluatează după modelul următor

$$\int_{1'}^{5'} \frac{\partial A_z}{\partial x} dy \approx \frac{A_{z1} - A_{z0}}{p_4} \frac{p_1}{2}. \quad (2.14)$$

Relația (2.14) este aproximativă, dar aproximarea este cu atât mai bună cu cît rețeaua de discretizare este mai fină, adică dimensiunile p_1, p_2, p_3 și p_4 ale rețelei mai mici.

Prin însumarea tuturor termenilor din relația (2.13), rezultă

$$(\alpha_1 + \alpha_2 + \alpha_3 + \alpha_4)A_{z0} - \alpha_1 A_{z1} - \\ - \alpha_2 A_{z2} - \alpha_3 A_{z3} - \alpha_4 A_{z4} = I_{co}, \quad (2.15)$$

unde

$$\left. \begin{array}{l} \alpha_1 = \frac{1}{2} \left(\frac{p_3}{p_4} \nu_4 + \frac{p_1}{p_4} \nu_1 \right) \\ \alpha_2 = \frac{1}{2} \left(\frac{p_4}{p_1} \nu_1 + \frac{p_2}{p_1} \nu_2 \right) \\ \alpha_3 = \frac{1}{2} \left(\frac{p_1}{p_2} \nu_2 + \frac{p_3}{p_2} \nu_3 \right) \\ \alpha_4 = \frac{1}{2} \left(\frac{p_2}{p_3} \nu_3 + \frac{p_4}{p_3} \nu_4 \right) \end{array} \right\} \quad (2.16)$$

și

$$I_{co} = \frac{1}{4} (J_{c1} p_1 p_4 + J_{c2} p_2 p_1 + J_{c3} p_3 p_2 + J_{c4} p_4 p_3). \quad (2.17)$$

Relația de legătură dintre potențialul magnetic vector A_{z0} al punctului 0 și cele ale punctelor vecine 1, 2, 3, 4 este liniară, de forma

$$A_{z0} - C_1 A_{z1} - C_2 A_{z2} - C_3 A_{z3} - C_4 A_{z4} = C_0, \quad (2.18)$$

unde

$$\left. \begin{array}{l} C_i = \frac{\alpha_i}{\alpha_1 + \alpha_2 + \alpha_3 + \alpha_4} \quad (i=1, 2, 3, 4) \\ C_0 = \frac{I_{co}}{\alpha_1 + \alpha_2 + \alpha_3 + \alpha_4} \end{array} \right\}. \quad (2.19)$$

Coefficienții C_i ($i=1, 2, 3, 4, 0$) sunt determinați exclusiv de proprietățile de material, dimensiunile rețelei și curentul de conductie I_{co} .

Aplicând relația (2.18) fiecărui nod interior frontierei domeniului D se obține un sistem liniar de ecuații algebrice. La acest sistem trebuie adăugate ecuațiile de tipul (2.18) scrise pentru nodurile de pe frontieră domeniului D, noduri în care se impun condiții pe frontieră.

. Condițiile pe frontieră referitoare la potențialul magnetic vector în nodurile P ale frontierei domeniului D sunt de forma

$$A_z = g_1(P), \quad P \in \Sigma, \quad (2.20)$$

sau

$$\frac{\partial A_z}{\partial n} = g_2(P), \quad P \in \Sigma, \quad (2.21)$$

unde g_1 și g_2 sunt funcții cunoscute. Condiția (2.20) implică cunoașterea componentei tangențiale A_{zt} a potențialului magnetic vector în nodurile de pe frontieră iar condiția (2.21) implică cunoașterea componentei tangențiale B_t a inducției magnetice (sau a componentei tangențiale H_t a intensității cimpului magnetic) în nodurile de pe frontieră. Conform teoremei 1 de unicitate demonstrată în capitolul 1, în aceste condiții soluția problemei de cimp magnetic este unică.

Dacă în nodul de pe frontieră analizat este satisfăcută o relație de formă (2.20), atunci potențialul lui nu se recalculează, nescrindu-se deci pentru el o ecuație de formă (2.18).

Dacă în nodul de pe frontieră analizat este satisfăcută o relație de formă (2.21), atunci conturul de integrare Γ din relația (2.10) se alege altfel.

Fie de exemplu satisfăcută condiția (2.21) pe segmentul de frontieră superior l_3 , în nodurile 0, 1 și 3 cunoscindu-se

$$\left(\frac{\partial A_z}{\partial y}\right)_0 = k_{0y}; \quad \left(\frac{\partial A_z}{\partial y}\right)_1 = k_{1y}; \quad \left(\frac{\partial A_z}{\partial y}\right)_3 = k_{3y}, \quad (2.22)$$

unde k_{0y} , k_{1y} și k_{3y} sunt constante. În acest caz se alege drept contur de integrare Γ conturul $l' 3' 7' 8'$. Deci

$$\begin{aligned} & \int_{l'}^0 H_x dx + \int_0^{3'} H_x dx + \int_{3'}^{7'} H_y dy + \int_{7'}^{4'} H_x dx + \int_{4'}^{8'} H_x dx + \int_{8'}^{1'} H_y dy = \\ & = \frac{1}{4}(J_{03} p_3 p_2 + J_{c4} p_4 p_3) = I_{co}', \end{aligned} \quad (2.23)$$

sau

$$\begin{aligned} & \gamma_4 \int_{l'}^0 \frac{k_{1y} + k_{0y}}{2} dx + \gamma_3 \int_0^{3'} \frac{k_{0y} + k_{3y}}{2} dx - \gamma_3 \int_{3'}^{7'} \frac{\partial A_z}{\partial x} dy + \\ & + \gamma_3 \int_{7'}^{4'} \frac{\partial A_z}{\partial y} dx + \gamma_4 \int_{4'}^{8'} \frac{\partial A_z}{\partial y} dx - \gamma_4 \int_{8'}^{1'} \frac{\partial A_z}{\partial x} dy = I_{co}'. \end{aligned} \quad (2.24)$$

446409
132 D

Rezultă în final tot o relație de forma (2.18), dar

$$\left. \begin{array}{l} \alpha_1 = \frac{1}{2} \frac{p_3}{p_4} \gamma_4 \\ \alpha_2 = 0 \\ \alpha_3 = \frac{1}{2} \frac{p_3}{p_2} \gamma_3 \\ \alpha_4 = \frac{1}{2} \left(\frac{p_2}{p_3} \gamma_3 + \frac{p_4}{p_3} \gamma_4 \right) \end{array} \right\} \quad (2.25)$$

și

$$I_{co} = \frac{1}{4} (J_{c3} p_3 p_2 + J_{c4} p_4 p_3) + \frac{1}{4} [(k_{ly} + k_{oy}) p_4 \gamma_4 + (k_{oy} + k_{3y}) p_2 \gamma_3]. \quad (2.26)$$

Dacă relația (2.21) este satisfăcută pe segmentul de frontieră inferior 13, conturul de integrare este 1' 5' 6' 3'. Considerind că relațiile (2.22) rămân valabile, rezultă

$$\left. \begin{array}{l} \alpha_1 = \frac{1}{2} \frac{p_1}{p_4} \gamma_1 \\ \alpha_2 = \frac{1}{2} \left(\frac{p_4}{p_1} \gamma_1 + \frac{p_2}{p_1} \gamma_2 \right) \\ \alpha_3 = \frac{1}{2} \frac{p_1}{p_2} \gamma_2 \\ \alpha_4 = 0 \end{array} \right\} \quad (2.27)$$

și

$$I_{co} = \frac{1}{4} (J_{c1} p_1 p_4 + J_{c2} p_2 p_1) - \frac{1}{4} [(k_{oy} + k_{3y}) p_2 \gamma_2 + (k_{ly} + k_{oy}) p_4 \gamma_1]. \quad (2.28)$$

Dacă relația (2.22) este satisfăcută pe segmentul de frontieră în dreapta 24, conturul de integrare Γ este 2' 6' 7' 4'. În nodurile 0, 2 și 4 se dău

$$\left(\frac{\partial A_z}{\partial x} \right)_0 = k_{ox}; \quad \left(\frac{\partial A_z}{\partial x} \right)_2 = k_{2x}; \quad \left(\frac{\partial A_z}{\partial x} \right)_4 = k_{4x}, \quad (2.29)$$

k_{ox} , k_{2x} și k_{4x} fiind constante. Rezultă relațiile

$$\left. \begin{array}{l} \alpha_1 = 0 \\ \alpha_2 = \frac{1}{2} \frac{p_2}{p_1} \gamma_2 \\ \alpha_3 = \frac{1}{2} \left(\frac{p_1}{p_2} \gamma_2 + \frac{p_3}{p_2} \gamma_3 \right) \end{array} \right\} \quad (2.30)$$

$$\alpha_4 = \frac{1}{2} \frac{p_2}{p_3} \gamma_3$$

}

și

$$I_{co} = \frac{1}{4}(J_{c2}p_2p_1 + J_{c3}p_3p_2) - \frac{1}{4}[(k_{ox} + k_{4x})p_3 \gamma_3 + (k_{2x} + k_{ox})p_1 \gamma_2]. \quad (2.31)$$

In sfîrșit, dacă relația (2.22) este satisfăcută pe segmentul de frontieră în stînga 24, conturul de integrare Γ este 2' 4' 8' 5'. Considerind că relațiile (2.29) rămîn valabile, rezultă

$$\left. \begin{array}{l} \alpha_1 = \frac{1}{2} \left(\frac{p_3}{p_4} \gamma_4 + \frac{p_1}{p_4} \gamma_1 \right) \\ \alpha_2 = \frac{1}{2} \frac{p_4}{p_1} \gamma_1 \\ \alpha_3 = 0 \\ \alpha_4 = \frac{1}{2} \frac{p_4}{p_3} \gamma_4 \end{array} \right\} \quad (2.32)$$

și

$$I_{co} = \frac{1}{4}(J_{c1}p_1p_4 + J_{c4}p_4p_3) + \frac{1}{4}[(k_{2x} + k_{ox})p_1 \gamma_1 + (k_{ox} + k_{4x})p_3 \gamma_4]. \quad (2.33)$$

Este posibil ca nodul analizat să fie de colț, comun unor segmente de frontieră perpendiculare, pe fiecare segment fiind satisfăcută o condiție de forma (2.21).

Fie nodul de colț în stînga sus; în nodurile 1 și o de pe segmentul de frontieră paralel cu axa Ox

$$\left(\frac{\partial A_z}{\partial y} \right)_1 = k_{ly}; \quad \left(\frac{\partial A_z}{\partial y} \right)_o = k_{oy}, \quad (2.34)$$

iar în nodurile o și 4 de pe segmentul de frontieră paralel cu axa Oy

$$\left(\frac{\partial A_z}{\partial x} \right)_o = k_{ox}; \quad \left(\frac{\partial A_z}{\partial x} \right)_4 = k_{4x}. \quad (2.35)$$

Conturul de integrare este 1' o 4' 8', rezultînd

$$\alpha_1 = \frac{1}{2} \frac{p_3}{p_4} \gamma_4; \quad \alpha_2 = 0; \quad \alpha_3 = 0; \quad \alpha_4 = \frac{1}{2} \frac{p_4}{p_3} \gamma_4 \quad (2.36)$$

și

$$I_{co} = \frac{1}{4} J_{c4}p_4p_3 + \frac{1}{4}(k_{ly} + k_{oy})p_4 \gamma_4 - \frac{1}{4}(k_{ox} + k_{4x})p_3 \gamma_4. \quad (2.37)$$

Dacă nodul analizat este în dreapta jos iar

$$\left(\frac{\partial A_z}{\partial x}\right)_2 = k_{2x}; \quad \left(\frac{\partial A_z}{\partial x}\right)_0 = k_{0x} \quad (2.38)$$

și

$$\left(\frac{\partial A_z}{\partial y}\right)_0 = k_{0y}; \quad \left(\frac{\partial A_z}{\partial y}\right)_3 = k_{3y}, \quad (2.39)$$

atunci conturul de integrare este o 2' 6' 3' și rezultă

$$\alpha_1=0; \quad \alpha_2=\frac{1}{2} \frac{p_2}{p_1} \nu_2; \quad \alpha_3=\frac{1}{2} \frac{p_1}{p_2} \nu_2; \quad \alpha_4=0 \quad (2.40)$$

și

$$I_{co} = \frac{1}{4} J_{c2} p_2 p_1 - \frac{1}{4}(k_{0y} + k_{3y}) p_2 \nu_2 + \frac{1}{4}(k_{2x} + k_{0x}) p_1 \nu_2. \quad (2.41)$$

Dacă nodul analizat este în dreapta sus iar

$$\left(\frac{\partial A_z}{\partial y}\right)_0 = k_{0y}; \quad \left(\frac{\partial A_z}{\partial y}\right)_3 = k_{3y} \quad (2.42)$$

și

$$\left(\frac{\partial A_z}{\partial x}\right)_0 = k_{0x}; \quad \left(\frac{\partial A_z}{\partial x}\right)_4 = k_{4x}, \quad (2.43)$$

atunci conturul de integrare este o 3' 7' 4' și rezultă

$$\alpha_1=0; \quad \alpha_2=0; \quad \alpha_3=\frac{1}{2} \frac{p_3}{p_2} \nu_3; \quad \alpha_4=\frac{1}{2} \frac{p_2}{p_3} \nu_3 \quad (2.44)$$

și

$$I_{co} = \frac{1}{4} J_{c3} p_3 p_2 + \frac{1}{4}(k_{0y} + k_{3y}) p_2 \nu_3 + \frac{1}{4}(k_{0x} + k_{4x}) p_3 \nu_3. \quad (2.45)$$

In sfîrșit, în ultima situație posibilă, cînd nodul de colț este în stînga jos iar

$$\left(\frac{\partial A_z}{\partial x}\right)_2 = k_{2x}; \quad \left(\frac{\partial A_z}{\partial x}\right)_0 = k_{0x} \quad (2.46)$$

și

$$\left(\frac{\partial A_z}{\partial y}\right)_1 = k_{1y}; \quad \left(\frac{\partial A_z}{\partial y}\right)_0 = k_{0y}, \quad (2.47)$$

conturul de integrare este 1' 5' 2' o și rezultă

$$\alpha_1=\frac{1}{2} \frac{p_1}{p_4} \nu_1; \quad \alpha_2=\frac{1}{2} \frac{p_4}{p_1} \nu_1; \quad \alpha_3=0; \quad \alpha_4=0 \quad (2.48)$$

și

$$I_{co} = \frac{1}{4} J_{cl} p_1 p_4 - \frac{1}{4}(k_{2x} + k_{0x}) p_1 \nu_1 - \frac{1}{4}(k_{1y} + k_{0y}) p_4 \nu_1. \quad (2.49)$$

Soluția ecuației cu derivate parțiale (2.7) scrisă în fiecare punct al domeniului D poate fi înlocuită în mod aproximativ

cu soluția sistemului liniar de ecuații algebrice de forma (2.18), numărul ecuațiilor fiind egal cu numărul nodurilor rețelei de discretizare, mai puțin nodurile de pe frontieră domeniului D în care este îndeplinită o condiție de forma (2.20).

Sistemul liniar de ecuații algebrice poate fi rezolvat prin una din metodele numerice directe sau iterative cunoscute [24, 55, 73, 77] pentru sisteme mari de ecuații algebrice liniare: de eliminare Gauss, Jordan, Choleski, Southwell, Gauss-Seidel, Stiefel - Hestens, etc.

Fiind calculate valorile potențialului magnetic vector A_z în nodurile rețelei de discretizare, se pot calcula în continuare valorile locale ale componentelor inducției magnetice \bar{B} [69]. Fie punctul 9 situat în cadrul elementului 1 (fig.2.2). Conform primei relații (1.4), pentru punctul 9 se poate scrie aproximativ

$$\left. \begin{aligned} B_{x9} &= \frac{A_{zm} - A_{zn}}{p_1} \\ B_{y9} &= \frac{A_{zp} - A_{zq}}{p_4} \end{aligned} \right\} . \quad (2.50)$$

Dar

$$\left. \begin{aligned} A_{zm} &= A_{z2} + (A_{z5} - A_{z2}) \frac{x_9}{p_4} \\ A_{zn} &= A_{z0} + (A_{z1} - A_{z0}) \frac{x_9}{p_4} \end{aligned} \right\} . \quad (2.51)$$

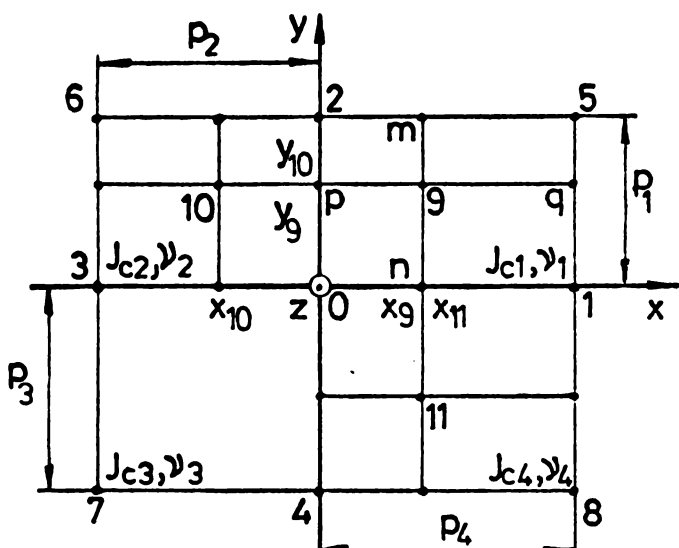


Fig.2.2

$$A_{zp} = A_{z0} + (A_{z2} - A_{z0}) \frac{y_9}{p_1}$$

$$A_{zq} = A_{z1} + (A_{z5} - A_{z1}) \frac{y_9}{p_1}$$

Rezultă

$$\left. \begin{aligned} B_{x9} &= (A_{z2} - A_{z0}) \left(\frac{1}{p_1} - \frac{x_9}{p_1 p_4} \right) + (A_{z5} - A_{z1}) \frac{x_9}{p_1 p_4} \\ B_{y9} &= (A_{z0} - A_{z1}) \left(\frac{1}{p_4} - \frac{y_9}{p_1 p_4} \right) + (A_{z2} - A_{z5}) \frac{y_9}{p_1 p_4} \end{aligned} \right\} . \quad (2.52)$$

Dacă punctul 9 este centrul de greutate al elementului 1, atunci $x_9 = p_4/2$ și $y_9 = p_1/2$ și deci

$$\left. \begin{array}{l} B_{x9} = \frac{A_{z2}-A_{z0}+A_{z5}-A_{z1}}{2p_1} \\ B_{y9} = \frac{A_{z0}-A_{z1}+A_{z2}-A_{z5}}{2p_4} \end{array} \right\} . \quad (2.53)$$

Relații similare cu relațiile (2.52) se pot stabili și pentru punctele 10, respectiv 11, rezultând

$$\left. \begin{array}{l} B_{x10} = (A_{z2}-A_{z0})\left(\frac{1}{p_1} - \frac{x_{10}}{p_1 p_2}\right) + (A_{z6}-A_{z3}) \frac{x_{10}}{p_1 p_2} \\ B_{y10} = (A_{z3}-A_{z0})\left(\frac{1}{p_2} - \frac{y_{10}}{p_1 p_2}\right) + (A_{z6}-A_{z2}) \frac{y_{10}}{p_1 p_2} \end{array} \right\} , \quad (2.54)$$

$$\left. \begin{array}{l} B_{x11} = (A_{z0}-A_{z4})\left(\frac{1}{p_3} - \frac{x_{11}}{p_3 p_4}\right) + (A_{z1}-A_{z8}) \frac{x_{11}}{p_3 p_4} \\ B_{y11} = (A_{z0}-A_{z1})\left(\frac{1}{p_4} - \frac{y_{11}}{p_3 p_4}\right) + (A_{z4}-A_{z8}) \frac{y_{11}}{p_3 p_4} \end{array} \right\} . \quad (2.55)$$

Segmentele 0 2, respectiv 0 1 sunt linii de separație între medii cu proprietăți magnetice diferite. Dacă $x_9=x_{10}=0$, atunci punctele 9 și 10 se suprapun peste punctul p aflat pe segmentul 0 2; din relațiile (2.52, 2.54) rezultă pentru componenta normală B_x a inducției magnetice la linia de separație 0 2, în punctul p, aceeași valoare, atât din B_{x9} , cât și din B_{x10} :

$$B_{xp} = \frac{A_{z2}-A_{z0}}{p_1} . \quad (2.56)$$

Intrucit punctele 9 și 10 au fost poziționate arbitrar în cadrul elementelor 1, respectiv 2, înseamnă că pe linia de separație 0 2 este satisfăcută condiția de continuitate a componentei normale a inducției magnetice.

In mod similar, se observă că pentru $y_9=y_{11}=0$, punctele 9 și 11 se suprapun peste punctul n aflat pe segmentul 0 1; din relațiile (2.52, 2.55) rezultă pentru componenta normală B_y a inducției magnetice la linia de separație 0 1, în punctul n, aceeași valoare, atât din B_{y9} cât și din B_{y11} :

$$B_{yn} = \frac{A_{z0}-A_{z1}}{p_4} . \quad (2.57)$$

Deci și pe linia de separație 0 1 este satisfăcută condiția de continuitate a componentei normale a inducției magnetice.

Pe baza celor arătate mai sus se poate afirma că la metoda diferențelor finite soluția problemei de cîmp satisface condiția de continuitate a componentei normale a inducției magnetice pe linile de separație între medii cu proprietăți magnetice diferite.

Soluția problemei de cîmp trebuie să asigure și continuitatea componentei tangențiale a intensității cîmpului magnetic de-a lungul liniilor de separație lipsite de curenți de conducție între medii cu proprietăți magnetice diferite. Din a doua relație (2.52) rezultă

$$H_{y9} = \gamma_1(A_{z0} - A_{z1}) \frac{1}{p_4} - \gamma_1(A_{z0} - A_{z1} - A_{z2} + A_{z5}) \frac{y_9}{p_1 p_4}, \quad (2.58)$$

iar din a doua relație (2.54) se obține:

$$H_{y10} = \gamma_2(A_{z3} - A_{z0}) \frac{1}{p_2} - \gamma_2(A_{z3} - A_{z0} - A_{z6} + A_{z2}) \frac{y_{10}}{p_1 p_2}. \quad (2.59)$$

H_{y9} și H_{y10} trebuie să fie egale și pentru $y_9 = y_{10} = 0$; înseamnă deci că este necesară satisfacerea egalității

$$\gamma_1(A_{z0} - A_{z1}) \frac{1}{p_4} = \gamma_2(A_{z3} - A_{z0}) \frac{1}{p_2}. \quad (2.60)$$

Pentru $y_9 = y_{10} \neq 0$, H_{y9} și H_{y10} sunt egale dacă mai este adevărată și egalitatea

$$\gamma_1(A_{z2} - A_{z5}) \frac{1}{p_4} = \gamma_2(A_{z6} - A_{z2}) \frac{1}{p_2}. \quad (2.61)$$

Din relația (2.60) rezultă

$$\frac{1}{2} \left(\frac{p_1}{p_4} \gamma_1 + \frac{p_1}{p_2} \gamma_2 \right) A_{z0} = \frac{1}{2} \frac{p_1}{p_4} \gamma_1 A_{z1} + \frac{1}{2} \frac{p_1}{p_2} \gamma_2 A_{z3}. \quad (2.62)$$

Se mai pot scrie 3 relații similare relației (2.62) și anume

$$\frac{1}{2} \left(\frac{p_3}{p_4} \gamma_4 + \frac{p_3}{p_2} \gamma_3 \right) A_{z0} = \frac{1}{2} \frac{p_3}{p_4} \gamma_4 A_{z1} + \frac{1}{2} \frac{p_3}{p_2} \gamma_3 A_{z3}, \quad (2.63)$$

$$\frac{1}{2} \left(\frac{p_4}{p_1} \gamma_1 + \frac{p_4}{p_3} \gamma_4 \right) A_{z0} = \frac{1}{2} \frac{p_4}{p_1} \gamma_1 A_{z2} + \frac{1}{2} \frac{p_4}{p_3} \gamma_4 A_{z4}, \quad (2.64)$$

$$\frac{1}{2} \left(\frac{p_2}{p_1} \gamma_2 + \frac{p_2}{p_3} \gamma_3 \right) A_{z0} = \frac{1}{2} \frac{p_2}{p_1} \gamma_2 A_{z2} + \frac{1}{2} \frac{p_2}{p_3} \gamma_3 A_{z4}. \quad (2.65)$$

Însumind relațiile (2.62 - 2.65) se obține relația (2.18) cu $I_{c_0} = 0$, adică una din ecuațiile sistemului, corespunzătoare punctului O care este nod comun pentru 4 elemente neintersectante de curenți de conducție.

In mod asemănător se poate arăta că plecindu-se de la relația (2.61) se ajunge la ecuația din sistem corespunzătoare punctului 2.

In concluzie deci, valorile potențialului magnetic vector în nodurile rețelei de discretizare care asigură continuitatea componentei tangențiale a intensității cîmpului magnetic pe linii-le de separație între elemente cu proprietăți magnetice diferite reprezintă soluția problemei de cîmp.

Dacă mediul domeniului D este parțial sau în totalitate neliinear, procesul de rezolvare a sistemului de ecuații algebrice liniare trebuie repetat, cu recalculatea parametrilor α_i ($i = 1, 2, 3, 4$) ce depind de proprietățile mediului, după fiecare rezolvare. In acest scop se calculează valorile componentelor inducției magnetice, considerate constante pe ariile elementelor aflate în mediul neliinear, cu relații de forma (2.53) corespunzătoare centrelor de greutate ale elementelor, și apoi valorile inducției magnetice cu relații de forma

$$B = \sqrt{B_x^2 + B_y^2}. \quad (2.66)$$

După aproximarea dependenței dintre B și H cu o expresie analitică adecvată, se pot calcula reluctivitățile magnetice corespunzătoare elementelor rețelei de discretizare aflate în mediul neliinear.

Procesul de calcul se consideră încheiat cînd în toate nodurile rețelei de discretizare diferența dintre valorile potențialului magnetic vector, corespunzătoare unor rezolvări succesive, este mai mică decît o limită admisă drept condiție de abandon a procesului.

2.4. Metoda elementelor finite

Metoda elementelor finite, preluată din mecanică și adoptată în scopul rezolvării numerice a problemei calculului cîmpului magnetic ovasistational este expusă în multe lucrări apărute în ultimul timp [1, 5-7; 9, 13, 16-18, 20-22, 25, 28, 33, 34, 66, 69, 72, 74, 86]..

Rezolvarea ecuației eliptice de tip Poisson (2.8) se realizează în cadrul metodei elementelor finite prin rezolvarea unei probleme variaționale. Funcției necunoscute A_z din ecuația (2.7) î se atașeză o funcțională $\tilde{F}(A_z)$ definită pe același spațiu ca și A_z .

Domeniul plan D se divizează cu o rețea de discretizare într-un număr finit de elemente D_λ , de regulă triunghiulare (fig. 2.3). Pe ariile elementelor proprietățile de material și densitatea curentului de conducție normal J_c se consideră constante.

Funcționala asociată ecuației (2.8) este

$$\begin{aligned} \tilde{\mathcal{F}}(A_z) &= \int_A \left\{ \frac{1}{2} \left[\gamma \left(\frac{\partial A_z}{\partial x} \right)^2 + \right. \right. \\ &\quad \left. \left. + \gamma \left(\frac{\partial A_z}{\partial y} \right)^2 \right] - J_c A_z \right\} dx dy = \\ &= \int_A \left(\int_0^B H dB - J_c A_z \right) dx dy, \quad (2.67) \end{aligned}$$

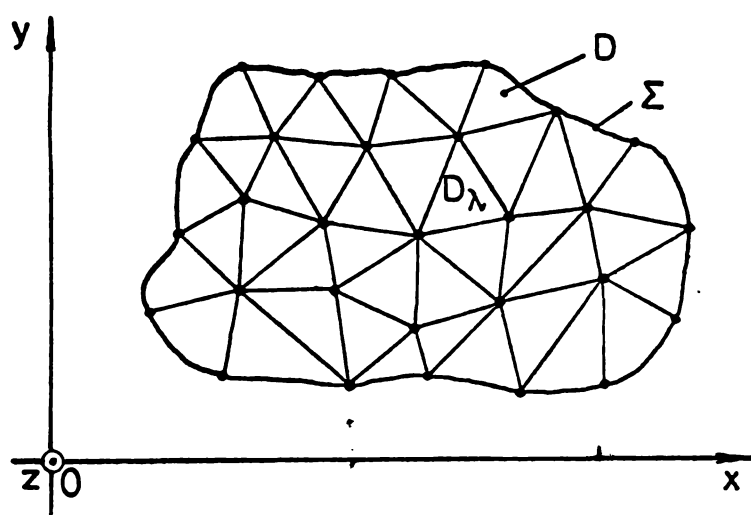


Fig.2.3

ea fiind de fapt energia totală a domeniului D ; cu A s-a notat aria domeniului D căruia i s-a atașat sistemul de axe rectangulare xOy .

Pe frontiera domeniului D se presupun cunoscute valorile componentei A_z a potențialului magnetic vector.

Metodele directe ale calculului variational construiesc funcția necunoscută $A_z(x, y)$ în procesul de minimizare a funcționalei $\tilde{\mathcal{F}}(A_z)$.

Intrucât energia totală a domeniului D este suma energiilor elementelor finite D_λ , se poate scrie

$$\tilde{\mathcal{F}}(A_z) = \sum_{\lambda=1}^{M_\lambda} \tilde{\mathcal{F}}_\lambda(A_z), \quad (2.68)$$

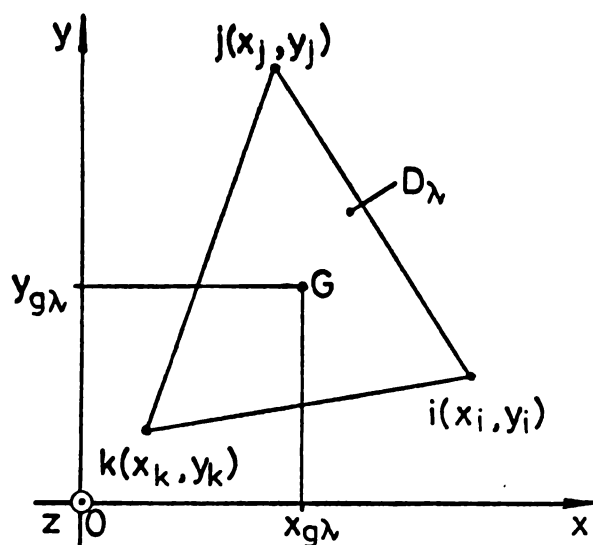
M fiind numărul de elemente finite D_λ din domeniul D , iar

$$\tilde{\mathcal{F}}_\lambda(A_z) = \int_{A_\lambda} \left(\int_0^B H_\lambda dB_\lambda - J_{z\lambda} A_{z\lambda} \right) dx dy; \quad (2.69)$$

A_λ este aria elementului finit curent D_λ .

Potențialul magnetic vector $A_{z\lambda}$ corespunzător elementului finit D_λ se exprimă prin intermediul valorilor nodale A_{zm} ($m=i, j, k$) ale potențialului magnetic vector în nodurile i, j, k ale elementului triunghiular D_λ (fig.2.4).

$$A_{z\lambda}(x, y) = \sum_m f_m(x, y) A_{zm}, \quad (m=i, j, k). \quad (2.70)$$



Funcțiile $f_m(x, y)$ se presupun liniare în x și y în interiorul elementului. În nodul i , funcția $f_i(x, y)$ trebuie să fie egală cu 1 iar în nodurile j și k egală cu zero.

Se aproximează potențialul magnetic vector $A_{z\lambda}(x, y)$ printr-un polinom de gradul 1 în x și y , de forma

Fig.2.4

$$A_{z\lambda}(x, y) = \alpha_1 + \alpha_2 x + \alpha_3 y = [1 \ x \ y] \cdot \begin{bmatrix} \alpha_1 \\ \alpha_2 \\ \alpha_3 \end{bmatrix}. \quad (2.71)$$

Matricea unicoloană formată din α_1 , α_2 și α_3 trebuie astfel determinată încit în expresia lui $A_{z\lambda}(x, y)$ să apară valorile nodale A_{zi} , A_{zj} și A_{zk} ale potențialului magnetic vector. Se poate scrie

$$\left. \begin{array}{l} A_{zi} = \alpha_1 + \alpha_2 x_i + \alpha_3 y_i \\ A_{zj} = \alpha_1 + \alpha_2 x_j + \alpha_3 y_j \\ A_{zk} = \alpha_1 + \alpha_2 x_k + \alpha_3 y_k \end{array} \right\}, \quad (2.72)$$

sau,

$$\begin{bmatrix} A_{zi} \\ A_{zj} \\ A_{zk} \end{bmatrix} = \begin{bmatrix} 1 & x_i & y_i \\ 1 & x_j & y_j \\ 1 & x_k & y_k \end{bmatrix} \cdot \begin{bmatrix} \alpha_1 \\ \alpha_2 \\ \alpha_3 \end{bmatrix}. \quad (2.73)$$

Rezultă

$$\begin{bmatrix} \alpha_1 \\ \alpha_2 \\ \alpha_3 \end{bmatrix} = \begin{bmatrix} 1 & x_i & y_i \\ 1 & x_j & y_j \\ 1 & x_k & y_k \end{bmatrix}^{-1} \cdot \begin{bmatrix} A_{zi} \\ A_{zj} \\ A_{zk} \end{bmatrix} \quad (2.74)$$

și deci

$$A_{z\lambda}(x,y) = \begin{bmatrix} 1 & x & y \end{bmatrix} \cdot \begin{bmatrix} 1 & x_i & y_i \\ 1 & x_j & y_j \\ 1 & x_k & y_k \end{bmatrix}^{-1} \cdot \begin{bmatrix} A_{zi} \\ A_{zj} \\ A_{zk} \end{bmatrix}. \quad (2.75)$$

Dar

$$\begin{bmatrix} 1 & x_i & y_i \\ 1 & x_j & y_j \\ 1 & x_k & y_k \end{bmatrix}^{-1} = \frac{1}{\det M} \begin{bmatrix} x_j y_k - x_k y_j & x_k y_i - x_i y_k & x_i y_j - x_j y_i \\ y_j - y_k & y_k - y_i & y_i - y_j \\ x_k - x_j & x_i - x_k & x_j - x_i \end{bmatrix} \quad (2.76)$$

cu

$$\det M = \begin{vmatrix} 1 & x_i & y_i \\ 1 & x_j & y_j \\ 1 & x_k & y_k \end{vmatrix} = 2A_\lambda. \quad (2.77)$$

Având în vedere forma (2.70) a lui $A_{z\lambda}(x,y)$, rezultă

$$\left. \begin{aligned} f_i(x,y) &= \frac{1}{2A_\lambda} [x_j y_k - x_k y_j + (y_j - y_k)x + (x_k - x_j)y] \\ f_j(x,y) &= \frac{1}{2A_\lambda} [x_k y_i - x_i y_k + (y_k - y_i)x + (x_i - x_k)y] \\ f_k(x,y) &= \frac{1}{2A_\lambda} [x_i y_j - x_j y_i + (y_i - y_j)x + (x_j - x_i)y] \end{aligned} \right\}. \quad (2.78)$$

In final deci,

$$A_{z\lambda}(x,y) = \frac{1}{2A_\lambda} \left\{ \begin{aligned} &[x_j y_k - x_k y_j + (y_j - y_k)x + (x_k - x_j)y] A_{zi} + \\ &[x_k y_i - x_i y_k + (y_k - y_i)x + (x_i - x_k)y] A_{zj} + \\ &[x_i y_j - x_j y_i + (y_i - y_j)x + (x_j - x_i)y] A_{zk} \end{aligned} \right\}. \quad (2.79)$$

Intrucit inducția magnetică pe aria elementului D_λ este

$$\bar{B}_\lambda = \bar{i} \frac{\partial A_z}{\partial y} - \bar{j} \frac{\partial A_z}{\partial x}, \quad (2.80)$$

rezultă

$$\begin{aligned} \bar{B}_\lambda &= \bar{i} \frac{1}{2A_\lambda} [(x_k - x_j)A_{zi} + (x_i - x_k)A_{zj} + (x_j - x_i)A_{zk}] - \\ &- \bar{j} \frac{1}{2A_\lambda} [(y_j - y_k)A_{zi} + (y_k - y_i)A_{zj} + (y_i - y_j)A_{zk}] \end{aligned} \quad (2.81)$$

și

$$\bar{H}_\lambda = \bar{i} \frac{v_\lambda}{2A_\lambda} [(x_k - x_j)A_{zi} + (x_i - x_k)A_{zj} + (x_j - x_i)A_{zk}] -$$

$$-\bar{J} \frac{\gamma_\lambda}{2A_\lambda} [(y_j - y_k)A_{zi} + (y_k - y_i)A_{zj} + (y_i - y_j)A_{zk}] . \quad (2.82)$$

Expresia funcționalei \tilde{F}_λ pentru elementul curent D_λ , în interiorul căruia mediul se consideră pe aria A_λ liniar, este

$$\tilde{F}_\lambda(A_z) = \int_{A_\lambda} \left(\frac{1}{2} H_\lambda B_\lambda - J_{c\lambda} A_{z\lambda} \right) dx dy . \quad (2.83)$$

Dar

$$H_\lambda B_\lambda = \frac{\gamma_\lambda}{4 A_\lambda^2} \left\{ \left[(x_k - x_j)A_{zi} + (x_i - x_k)A_{zj} + (x_j - x_i)A_{zk} \right]^2 + \right. \\ \left. + \left[(y_j - y_k)A_{zi} + (y_k - y_i)A_{zj} + (y_i - y_j)A_{zk} \right]^2 \right\} . \quad (2.84)$$

In expresia produsului $H_\lambda B_\lambda$ nu intervin coordonatele curente x și y . Integrala din (2.83) se calculează simplu dacă nici produsul $J_{c\lambda} A_{z\lambda}$ nu depinde de x și y ; acest lucru este posibil dacă se înlocuiește $A_{z\lambda}$ cu potențialul magnetic vector $A_{zg\lambda}$ în centrul de greutate G al elementului D_λ (fig.2.4).

$$A_{zg\lambda} = \frac{1}{2A_\lambda} \left\{ \left[x_j y_k - x_k y_j + (y_j - y_k) x_{g\lambda} + (x_k - x_j) y_{g\lambda} \right] A_{zi} + \right. \\ \left. + \left[x_k y_i - x_i y_k + (y_k - y_i) x_{g\lambda} + (x_i - x_k) y_{g\lambda} \right] A_{zj} + \right. \\ \left. + \left[x_i y_j - x_j y_i + (y_i - y_j) x_{g\lambda} + (x_j - x_i) y_{g\lambda} \right] A_{zk} \right\} . \quad (2.85)$$

Cu acestea, expresia funcționalei pentru elementul D_λ devine

$$\tilde{F}_\lambda(A_z) = \frac{\gamma_\lambda}{8A_\lambda} \left\{ \left[(x_k - x_j)A_{zi} + (x_i - x_k)A_{zj} + (x_j - x_i)A_{zk} \right]^2 + \right. \\ \left. + \left[(y_j - y_k)A_{zi} + (y_k - y_i)A_{zj} + (y_i - y_j)A_{zk} \right]^2 \right\} - \\ - \frac{J_{c\lambda}}{2} \left\{ \left[x_j y_k - x_k y_j + (y_j - y_k) x_{g\lambda} + (x_k - x_j) y_{g\lambda} \right] A_{zi} + \right. \\ \left. + \left[x_k y_i - x_i y_k + (y_k - y_i) x_{g\lambda} + (x_i - x_k) y_{g\lambda} \right] A_{zj} + \right. \\ \left. + \left[x_i y_j - x_j y_i + (y_i - y_j) x_{g\lambda} + (x_j - x_i) y_{g\lambda} \right] A_{zk} \right\} . \quad (2.86)$$

Efectuind suma din relația (2.68) asupra funcționalelor de forma (2.86) corespunzătoare tuturor elementelor finite D_λ din domeniul D , rezultă funcționala $\tilde{F}(A_z)$ referitoare la întreg domeniul D . Condițiile de minim ale funcționalei $\tilde{F}(A_z)$ sunt

$$\frac{\partial \tilde{F}(A_z)}{\partial A_{zm}} = 0, \quad (m=1, 2, \dots, N). \quad (2.87)$$

N este numărul de noduri din domeniul D , exclusiv nodurilor de pe frontieră în care s-a presupus cunoscut potențialul magnetic vector.

Relațiile (2.87) formează un sistem liniar de N ecuații algebrice, a cărui soluție o reprezintă mulțimea valorilor aproximative ale potențialului magnetic vector din nodurile rețelei de discretizare.

Rezolvarea sistemului (2.87) de N ecuații se poate realiza prin utilizarea uneia din metodele numerice amintite în subcapitolul 2.3.

Fiind determinate valorile potențialului magnetic vector în nodurile rețelei, se calculează apoi componentele B_x și B_y ale inducției magnetice corespunzătoare elementului curent D_λ cu relațiile

$$\left. \begin{aligned} B_{x\lambda} &= \frac{1}{2A_\lambda} [(x_k - x_j)A_{zi} + (x_i - x_k)A_{zj} + (x_j - x_i)A_{zk}] \\ B_{y\lambda} &= \frac{1}{2A_\lambda} [(y_k - y_j)A_{zi} + (y_i - y_k)A_{zj} + (y_j - y_i)A_{zk}] \end{aligned} \right\} \quad (2.88)$$

și valoarea inducției magnetice cu relația

$$B_\lambda = \sqrt{B_{x\lambda}^2 + B_{y\lambda}^2} \quad (2.89)$$

Minimizarea funcționalei $\tilde{F}(A_z)$ de forma (2.67) conduce și la satisfacerea condiției de continuitate a componentei normale a inducției magnetice pe liniile de separație între medii cu proprietăți magnetice diferite [7, 69]. Intr-adevăr, conform relației (2.81) se poate scrie pentru elementul 1 din fig. 2.5

$$\bar{B}_1 = \bar{i} \frac{1}{2A_1} [(x_k - x_j)A_{zi} + (x_i - x_k)A_{zj} + (x_j - x_i)A_{zk}] - \bar{j} \frac{1}{2A_1} [(y_j - y_k)A_{zi} + (y_k - y_j)A_{zj} + (y_j - y_i)A_{zk}], \quad (2.90)$$

$$\bar{B}_2 = \bar{i} \frac{1}{2A_2} [(x_m - x_k)A_{zi} + (x_k - x_i)A_{zm} + (x_i - x_m)A_{zk}] - \bar{j} \frac{1}{2A_2} [(y_k - y_m)A_{zi} + (y_m - y_k)A_{zm} + (y_m - y_i)A_{zk}]. \quad (2.91)$$

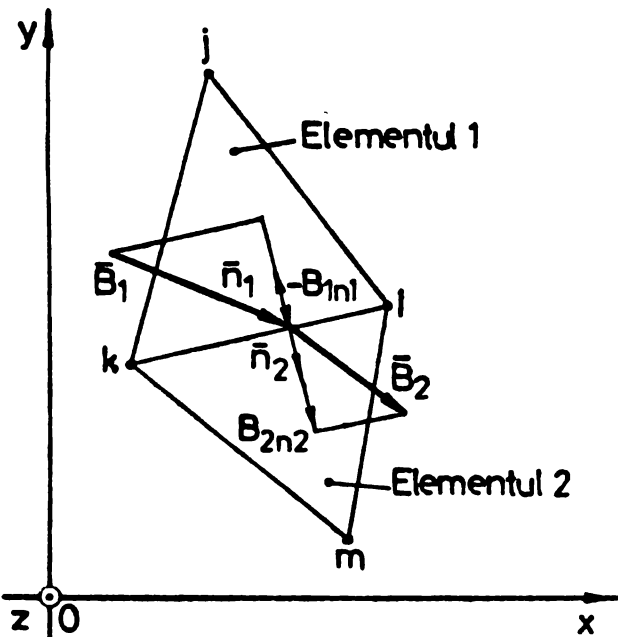


Fig. 2.5

Dar

$$\begin{aligned} \bar{n}_1 = -\bar{n}_2 = -i & \frac{y_i - y_k}{\sqrt{(x_i - x_k)^2 + (y_i - y_k)^2}} + \\ & + j \frac{x_i - x_k}{\sqrt{(x_i - x_k)^2 + (y_i - y_k)^2}} \end{aligned} \quad (2.92)$$

Rezultă

$$\bar{B}_1 \cdot \bar{n}_1 = B_{ln1} = - \frac{A_{zi} - A_{zk}}{\sqrt{(x_i - x_k)^2 + (y_i - y_k)^2}} \quad (2.93)$$

și

$$\bar{B}_2 \cdot \bar{n}_2 = B_{2n2} = - \frac{A_{zi} - A_{zk}}{\sqrt{(x_i - x_k)^2 + (y_i - y_k)^2}} \quad (2.94)$$

Deci $B_{ln1} = -B_{2n2}$, ceea ce înseamnă că la trecerea prin linia de separație k_1 între elementele adiacente 1 și 2 aflate în medii cu reluctivități magnetice diferite, componenta normală a inducției magnetice este continuă.

Dacă în domeniul D există și medii nelineare, se recalculează valorile reluctivității magnetice corespunzătoare elementelor aflate într-un astfel de mediu și se rezolvă din nou sistemul de ecuații (2.79). Procesul de calcul se consideră încheiat și din soluția problemei de cîmp obținută cînd în toate nodurile rețelei diferență dintre valorile potențialului magnetic vector, corespunzătoare unor rezolvări succesive, este mai mică decît o limită admisă drept condiție de abandon a calculului.

2.5. Comparație între metoda diferențelor finite și metoda elementelor finite

Intr-o comparație între metoda diferențelor finite și metoda elementelor finite trebuie avut în vedere că de fapt se compară două moduri diferite de rezolvare a unor ecuații diferențiale cu derivate partiale. Comparația poate ține cont de mai multe criterii:

- erorile soluțiilor celor două metode față de soluțiile teoretice ale ecuațiilor diferențiale cu derivate partiale;
- viteza de convergență a celor două metode;

- volumul resurselor calculatorului (memorie, periferice, timp) utilizate, la aceeași precizie impusă a rezultatelor, sau, precizia rezultatelor pentru același volum de resurse utilizate;

. - facilitățile de implementare a celor două metode în rezolvarea problemelor ingineresci, în legătură cu experiența în domeniul a specialistului sau colectivului de specialisti ce optează pentru una din cele două metode.

In legătură cu primele două criterii, pentru fiecare nod interior al rețelei de discretizare rectangulară a domeniului de existență a cîmpului magnetic se scrie în cadrul metodei diferențelor finite o ecuație de tipul (2.15), care se mai poate pune sub forma

$$\begin{aligned} & \left[\gamma_1 \left(\frac{p_1}{p_4} + \frac{p_4}{p_1} \right) + \gamma_2 \left(\frac{p_2}{p_1} + \frac{p_1}{p_2} \right) + \gamma_3 \left(\frac{p_3}{p_2} + \frac{p_2}{p_3} \right) + \gamma_4 \left(\frac{p_4}{p_3} + \frac{p_3}{p_4} \right) \right] A_{z0} - \\ & - \left(\gamma_4 \frac{p_3}{p_4} + \gamma_1 \frac{p_1}{p_4} \right) A_{z1} - \left(\gamma_1 \frac{p_4}{p_1} + \gamma_2 \frac{p_2}{p_1} \right) A_{z2} - \\ & - \left(\gamma_2 \frac{p_1}{p_2} + \gamma_3 \frac{p_3}{p_2} \right) A_{z3} - \left(\gamma_3 \frac{p_2}{p_3} + \gamma_4 \frac{p_4}{p_3} \right) A_{z4} = \\ & = J_{c1} \frac{p_1 p_4}{2} + J_{c2} \frac{p_2 p_1}{2} + J_{c3} \frac{p_3 p_2}{2} + J_{c4} \frac{p_4 p_3}{2}. \end{aligned} \quad (2.95)$$

Pe de altă parte, în cadrul metodei elementelor finite, pentru fiecare element triunghiular D_λ funcționala $\tilde{F}_\lambda(A_z)$ are expresia (2.86). Derivînd pe $\tilde{F}_\lambda(A_z)$ în raport cu A_{zi} , rezultă

$$\begin{aligned} \frac{\partial \tilde{F}_\lambda(A_z)}{\partial A_{zi}} = \frac{\gamma_\lambda}{4A_\lambda} & \left\{ (x_k - x_j) [(x_k - x_j) A_{zi} + (x_i - x_k) A_{zj} + \right. \\ & \left. + (x_j - x_i) A_{zk}] + (y_j - y_k) [(y_j - y_k) A_{zi} + (y_k - y_i) A_{zj} + (y_i - y_j) A_{zk}] \right\} - \\ & - \frac{J_{c\lambda}}{2} [x_j y_k - x_k y_j + (y_j - y_k) x_{g\lambda} + (x_k - x_j) y_{g\lambda}] . \end{aligned} \quad (2.96)$$

Se consideră întîi situația din fig.2.6, în care drept triunghi D_λ se alege triunghiul 0 1 2. Notațiile din fig.2.6 sunt corelate cu cele din fig.2.1. Ca și nod i se ia nodul 0. Scriind relația (2.96) pentru acest triunghi, rezultă

$$\begin{aligned} \frac{\partial \tilde{F}_\lambda(A_z)}{\partial A_{z0}} = \gamma_1 & \left[\left(\frac{p_1}{2p_4} + \frac{p_4}{2p_1} \right) A_{z0} - \frac{p_1}{2p_4} A_{z1} - \frac{p_4}{2p_1} A_{z2} \right] - \\ & - J_{c1} \frac{p_1 p_4}{6} . \end{aligned} \quad (2.97)$$

Aplicînd apoi relația (2.96) triunghiurilor 0 2 3, 0 3 4 și 0 4 1, drept nod i fiind considerat în toate cazurile nodul 0 și anulînd suma celor 4 derivate parțiale, se obține una din ecuațiile sistemului (2.87):

$$\begin{aligned} & \left[\gamma_1 \left(\frac{p_1}{p_4} + \frac{p_4}{p_1} \right) + \gamma_2 \left(\frac{p_2}{p_1} + \frac{p_1}{p_2} \right) + \gamma_3 \left(\frac{p_3}{p_2} + \frac{p_2}{p_3} \right) + \gamma_4 \left(\frac{p_4}{p_3} + \frac{p_3}{p_4} \right) \right] A_{z0} - \\ & - (\gamma_4 \frac{p_3}{p_4} + \gamma_1 \frac{p_1}{p_4}) A_{z1} - (\gamma_1 \frac{p_4}{p_1} + \gamma_2 \frac{p_2}{p_1}) A_{z2} - (\gamma_2 \frac{p_1}{p_2} + \gamma_3 \frac{p_3}{p_2}) A_{z3} - \\ & - (\gamma_3 \frac{p_2}{p_3} + \gamma_4 \frac{p_4}{p_3}) A_{z4} = J_{c1} \frac{p_1 p_4}{3} + J_{c2} \frac{p_2 p_1}{3} + J_{c3} \frac{p_3 p_2}{3} + \\ & + J_{c4} \frac{p_4 p_3}{3}. \end{aligned} \quad (2.98)$$

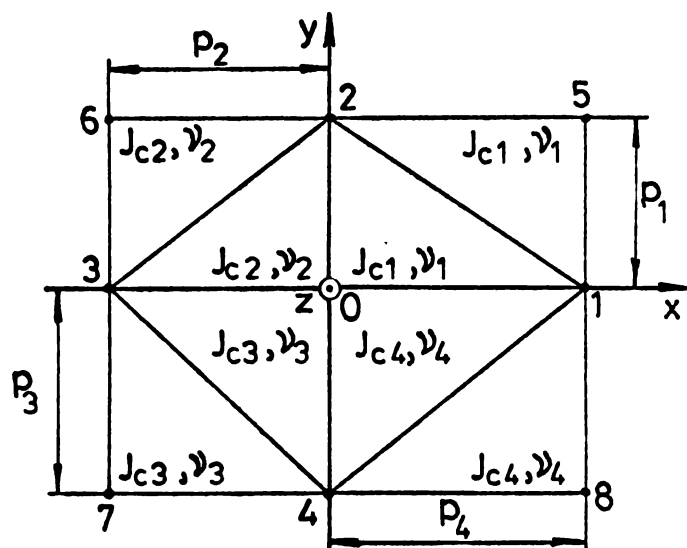


Fig.2.6

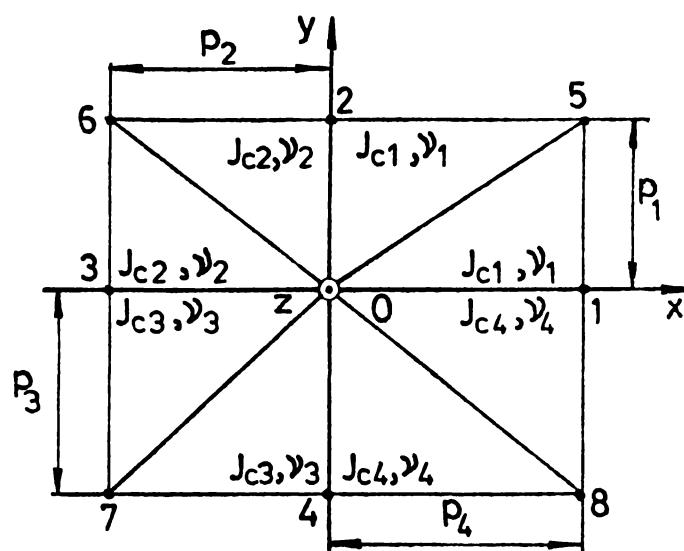


Fig.2.7

In fig.2.6, nodul 0 este nod comun pentru 4 triunghiuri. Dacă el ocupă însă poziția nodului 1, el este comun pentru 8 triunghiuri, ca în fig.2.7. Aplicînd relația (2.96) în toate cele 8 triunghiuri, drept nod fiind considerat nodul 0 și anulînd suma derivatelor parțiale, rezultă ecuația:

$$\begin{aligned} & \left[\gamma_1 \left(\frac{p_1}{p_4} + \frac{p_4}{p_1} \right) + \gamma_2 \left(\frac{p_2}{p_1} + \frac{p_1}{p_2} \right) + \gamma_3 \left(\frac{p_3}{p_2} + \frac{p_2}{p_3} \right) + \gamma_4 \left(\frac{p_4}{p_3} + \frac{p_3}{p_4} \right) \right] A_{z0} - \\ & - (\gamma_4 \frac{p_3}{p_4} + \gamma_1 \frac{p_1}{p_4}) A_{z1} - (\gamma_1 \frac{p_4}{p_1} + \gamma_2 \frac{p_2}{p_1}) A_{z2} - \\ & - (\gamma_2 \frac{p_1}{p_2} + \gamma_3 \frac{p_3}{p_2}) A_{z3} - (\gamma_3 \frac{p_2}{p_3} + \gamma_4 \frac{p_4}{p_3}) A_{z4} = \end{aligned}$$

$$= J_{c1} \frac{2p_1 p_4}{3} + J_{c2} \frac{2p_2 p_1}{3} + J_{c3} \frac{2p_3 p_2}{3} + J_{c4} \frac{2p_4 p_3}{3}. \quad (2.99)$$

Comparind ecuația (2.95) cu ecuațiile (2.98, 2.99), se observă coincidența părților omogene. De asemenea, se mai observă că termenul liber al ecuației (2.95) este egal cu media aritmetică a termenilor liberi ai ecuațiilor (2.98, 2.99).

A doua situație care se analizează este cea din fig.2.8 și 2.9, în care nodul 0 este comun pentru 6 triunghiuri. Aplicând celor 6 triunghiuri din fig.2.8, respectiv 2.9 relația (2.96) și egalând de fiecare dată cu zero suma derivatelor parțiale ale func-

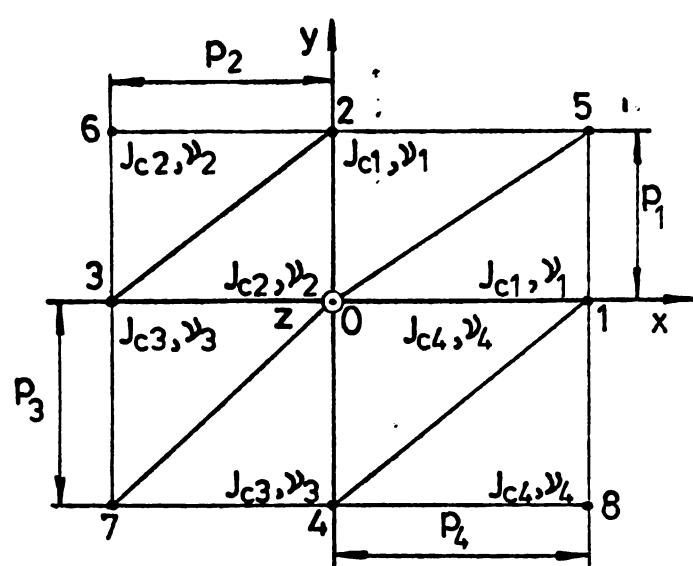


Fig.2.8

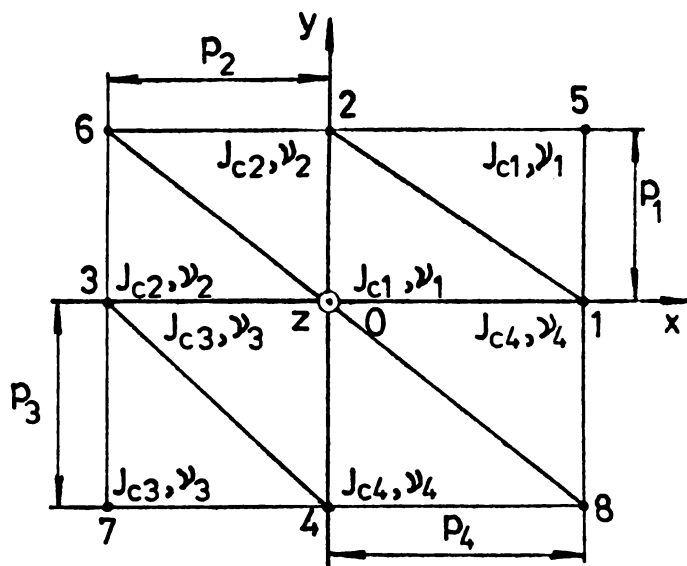


Fig.2.9

ționalei $F_N(A_z)$ în raport cu potențialul magnetic vector din nodul 0, rezultă două ecuații la care părțile omogene coincid cu părțile omogene ale ecuațiilor (2.98, 2.99) iar termenii libri sunt

$$J_{c1} \frac{2p_1 p_4}{3} + J_{c2} \frac{2p_2 p_1}{3} + J_{c3} \frac{2p_3 p_2}{3} + J_{c4} \frac{2p_4 p_3}{3}$$

pentru fig.2.8, respectiv

$$J_{c1} \frac{p_1 p_4}{3} + J_{c2} \frac{2p_2 p_1}{3} + J_{c3} \frac{p_3 p_2}{3} + J_{c4} \frac{2p_4 p_3}{3}$$

pentru fig.2.9. Se observă și aici că media celor doi termeni libri este egală cu termenul liber al ecuației (2.95).

Concluzia privind coincidența părților omogene ale unor ecuații arbitrar care corespundă celor două metode comparate putând fi extinsă la nivelul sistemelor de ecuații algebrice asamblate pentru domeniul D, rezultă că viteza de convergență a celor două metode este aceeași.

Observația privind relația între termenul liber al ecuației (2.95), corespunzătoare metodei diferențelor finite, și periochile de termeni liberi ai ecuațiilor deduse în situațiile din fig.2.6 și 2.7, respectiv 2.8 și 2.9, pentru metoda elementelor finite, permite să se afirme că cele două metode, în formele prezентate, se caracterizează prin erori generate de modurile de formulare a problemei de cîmp și de discretizare a domeniului D egale.

Referitor la volumul resurselor calculatorului utilizate la aceeași precizie impusă a rezultatelor, se apreciază [23] că în cazul metodei diferențelor finite este necesară o memorie mai mare de 1,3 - 2 ori decît în cazul metodei elementelor finite, la același număr de elemente. Din fig.2.6, 2.7, 2.8 și 2.9 se observă însă că pe o anumită arie numărul de necunoscute este același în cadrul celor două metode și că numărul dublu de elemente triunghiulare la metoda elementelor finite față de numărul de elemente dreptunghiulare la metoda diferențelor finite nu permite decît discretizarea mai fină a proprietăților de material și a distribuției curentilor de conductie, nu și dublarea numărului necunoscutor din soluția problemei de cîmp. La același număr de necunoscute, metoda diferențelor finite va pretinde un volum al memoriei calculatorului cel mult egal cu cel pretins de metoda elementelor finite.

Referitor la timpii necesari unui calculator pentru execuția unor programe scrise pe baza celor două metode, la același număr de necunoscute ei ar trebui să fie comparabili. Nu se poate afirma că timpul de execuție crește proporțional cu numărul de noduri (necunoscute) sau de elemente ale rețelei de discretizare. Pe de altă parte, timpul consumat de calculator nu este proporțional cu numărul de operații aritmetice. Un rol important poate reveni timpului necesar calculatorului pentru transferul informațiilor dintr-un bloc în altul al memoriei și pentru efectuarea operațiilor logice [39].

In [23] se afirmă că timpul de calcul la aceeași toleranță admisă și număr de elemente N, este la metoda diferențelor finite proporțional cu $N^{1,93}$ iar la metoda elementelor finite proporțional cu $N^{1,75}$. Dacă se are în vedere că la același număr de elemente numărul de necunoscute este la metoda elementelor finite practic înjumătățit față de metoda diferențelor finite, rezultă

că la același număr de necunoscute metoda diferențelor finite necesită un timp de calcul mai mic decât metoda elementelor finite, pînă la un număr de ordinul a 800 necunoscute.

Trebuie avut în vedere în cadrul comparației și faptul că la metoda elementelor finite volumul de date inițiale ce trebuie preparate și furnizate calculatorului este mult mai mare decât la metoda diferențelor finite.

Este sigur că la metoda elementelor finite aplicată în cazuri simple, cantitatea de muncă necesară pentru rezolvarea unei probleme de cîmp este mult mai mare și mai dificilă decât la metoda diferențelor finite.

2.6. Concluzii

Din cele rezultate prin compararea metodei diferențelor finite cu metoda elementelor finite se poate trage concluzia că cele două metode pot fi utilizate fiecare, cu anumite avantaje și dezavantaje, în probleme inginerești ce vizează stabilirea unor distribuții de cîmp.

Considerarea criteriilor de alegere a unei metode numerice pentru rezolvarea unei probleme de cîmp este o problemă delicată din cauza complexității aspectelor adiacente pe care le ridică. În alegerea unei metode numerice în scopul rezolvării unei probleme concrete de cîmp trebuie să se țină cont de erorile introduse de metodă (de formulare, de discretizare, de trunchiere a produselor și cîturilor, de abandon a procesului iterativ la atingerea unei erori limită admisă), de volumul resurselor preținse calculatorului, de facilitățile de implementare și de competența și experiența utilizatorului metodei. În unele cazuri un rol hotărîtor îl au mijloacele de calcul disponibile, prin facilitatea utilizării lor și prin posibilitățile oferite de ele [23, 39, 54, 69, 74].

CAPITOLUL 3

CALCULUL CIMPULUI MAGNETIC CVASISTATIONAR PLAN-PARALEL CU O METODA CU DIFERENTE FINITE ITERATIVA, EXTINSA PE RETEA RECTANGULARA PERIODICA CU PAS NEEGAL

3.1. Introducere

Atât în cazul metodei diferențelor finite cît și în cazul metodei elementelor finite, problema de cimp se rezolvă, de obicei, în raport cu potențialul magnetic vector sau scalar în nodurile rețelei de discretizare.

Funcția neliniară ce definește proprietățile magnetice ale mediului neliniar din domeniul D de existență a cimpului magnetic și condițiile pe frontieră referitoare la domeniul D depind indirect de potențialul magnetic vector sau scalar; dependența lor de intensitatea \bar{H} a cimpului magnetic și de inducția magnetică \bar{B} este directă, ceea ce permite evitarea unor dificultăți în conceperea concretă a algoritmului de calcul [4].

La cimpul magnetic solenoidal, condițiile pe frontieră referitoare la potențialul magnetic vector se pot preciza numai dacă se cunosc valorile pe frontieră domeniului D ale componentelor lui \bar{H} și \bar{B} . De asemenea, asupra evoluției potențialului magnetic vector în interiorul domeniului D se poate forma o imagine din punct de vedere calitativ numai dacă există practică în reprezentarea calitativă a cimpului magnetic generat de o distribuție de curenți de conductie dată [65].

Dezavantajele de mai sus au fost eliminate într-o serie de lucrări [4, 10, 11, 53, 79, 80] în care se operează numai cu potențialul magnetic vector sau scalar cît cu vectorii \bar{H} și \bar{B} și cu componentele lor în cadrul unui sistem de coordinate.

În [4, 11] problema de cimp se rezolvă în raport cu componentele vectorilor \bar{H} și \bar{B} după două axe rectangulare în nodurile unei rețele de discretizare rectangulară periodică a unui domeniu plan D . În [4], rețeaua de discretizare are pas egal pe cele două direcții, ecuațiile cu diferențe finite ce substituie

ecuațiile diferențiale cu derivate parțiale rezolvîndu-se recurrent; nu se acceptă însă curenti de conducție în interiorul domeniului D, aspect care limitează zona de aplicabilitate a metodei numerice de calcul al cîmpului magnetic din [4]. În [11], rețeaua de discretizare are pas egal, algoritmul de calcul presupunînd iterarea repetată pe întreaga rețea a ecuațiilor cu diferențe finite ce substituie ecuațiile diferențiale cu derivate parțiale.

Metoda numerică de calcul al cîmpului magnetic cvasistatician cu diferențe finite iterativă, expusă principial în [11] a fost generalizată de autor [37] în cadrul acestui capitol, prin acoperirea unei rețele de discretizare rectangulară periodică cu pas neegal, cu următoarele avantaje ce decurg din aceasta:

- deformarea mai mică a frontierei domeniului D și a frontierelor subdomeniilor din domeniu D cu distribuții de curenti de conducție și proprietăți de material diferite, la același număr de noduri;

- posibilitatea alegerii unui pas al rețelei de discretizare mai mic pe direcția cu gradient mai mare, respectiv a unuia mai mare pe direcția cu gradient mai mic al intensității cîmpului magnetic sau inducției magnetice;

- posibilitatea scăderii numărului de noduri din domeniu D de existență al cîmpului magnetic, la aceeași precizie impusă a calculului.

Primele două avantaje conduc la creșterea preciziei de calcul a soluției problemei de cîmp [54] iar ultimul la scăderea volumului memoriei centrale utilizate și a timpului de calcul consumat de calculator, aspect important la domeniile de dimensiuni mari.

În cadrul fundamentării matematice a metodei cu diferențe finite iterativă, extinsă pe rețea rectangulară periodică cu pas neegal se demonstrează o procedură simplificată de substituire a ecuațiilor diferențiale cu derivate parțiale (3.3, 3.4) cu ecuațiile cu diferențe finite (3.9, 3.10). Autorul concepe de asemenea un algoritm de calcul simplu, cu aplicabilitatea generală și elaborează un program de calcul în limbajul FORTRAN IV pentru determinarea distribuției cîmpului magnetic cvasistatician plan-paralel în cadrul unui exemplu. Programul are un caracter general, el putînd fi utilizat pentru configurații geometrice ale sistemelor magnetice și repartiții de curenti de conducție diferite, cu adaptări ale datelor inițiale.

3.2. Formularea problemei de cîmp

Se consideră în spațiul plan un domeniu D , mărginit de un contur închis Γ . Mediul din interiorul domeniului este parțial sau în totalitate neliniar, izotrop, neomogen, fără magnetizație permanentă și cu magnetizare reversibilă. În fiecare punct al domeniului D sunt date:

- vectorul \bar{J}_c care caracterizează repartitia curentilor de conductie, perpendicular pe suprafața domeniului D și satisfăcînd ecuația .

$$\operatorname{div} \bar{J}_c = 0; \quad (3.1)$$

- funcția

$$\bar{B} = \mu \bar{H} \quad (3.2)$$

ce caracterizează proprietățile magnetice ale mediului domeniului D , în general diferită pentru diferite puncte ale domeniului D ;

- forma diferențială a teoremei lui Ampère

$$\operatorname{rot} \bar{H} = \bar{J}_c; \quad (3.3)$$

- forma diferențială a legii fluxului magnetic

$$\operatorname{div} \bar{B} = 0. \quad (3.4)$$

Mărimile \bar{J}_c , \bar{H} și \bar{B} reprezintă vectorii densității de curent de conductie, intensității cîmpului magnetic și respectiv inducției magnetice, iar μ este permeabilitatea magnetică a mediului.

Conform teoremei 2 de unicitate demonstrată în capitolul 1, cîmpul magnetic cvasistacionar din interiorul domeniului D este univoc determinat dacă pe lîngă distribuția densității curentului de conductie în interiorul domeniului D mai este dată pe conturul Γ ce închide domeniul D componenta normală B_n a inducției magnetice \bar{B} . Practic, la calculul cîmpului magnetic din mașinile și aparatele electrice se poate alege domeniul D atît de mare încît în exteriorul lui să se poată considera cu suficientă precizie că mărimile \bar{H} și \bar{B} sunt nule. În consecință pe frontieră Γ a domeniului D componenta normală a inducției magnetice satisface condiția

$$B_n = 0. \quad (3.5)$$

Conform teoremei 1 de unicitate demonstrată în capitolul 1, cîmpul magnetic cvasistacionar din interiorul domeniului D este de asemenea univoc determinat dacă este dată distribuția densității

curentului de conductie in interiorul domeniului D si pe conturul Γ ce inchide domeniul D componenta tangentiala H_t a intensitatii cimpului magnetic \bar{H} . Se poate deci, atunci cind configurația sistemului magnetic și repartiția curentilor de conductie prezintă simetrie in interiorul domeniului D, să se calculeze cimpul magnetic pentru o parte a configurației. De-a lungul frontierei care se alege astfel incit să coincidă cu o axă sau cu axele de simetrie, componente tangențiale a lui \bar{H} , se impune condiția

$$H_t = 0. \quad (3.6)$$

Rezolvarea problemei de cimp înseamnă determinarea în fiecare punct al domeniului D a vectorilor \bar{H} și \bar{B} care satisfac ecuațiile (3.2 – 3.4), iar în punctele aflate pe frontieră domeniului D și condiția (3.5) sau (3.6).

3.3. Substituirea ecuațiilor diferențiale cu derive parțiale cu ecuații cu diferențe finite.

Se consideră în continuare că domeniul D se alege astfel incit toate sursele de tensiune magnetomotoare se află în interiorul domeniului D. Cimpul magnetic din domeniul D produs de curentii de conductie aflați în interiorul domeniului D este în acest caz descris de sistemul de ecuații (3.2 – 3.4), la acestea adăugindu-se pe frontieră domeniului condiția (3.5) sau (3.6).

Ecuatiile diferențiale cu derive parțiale (3.3, 3.4) pot fi înlocuite cu ecuații cu diferențe finite. Se construiește în acest scop în domeniul D o rețea de discretizare rectangulară periodică cu pas neegal, din drepte paralele la axele de coordonate Ox , Oy (fig.3.1). S-a evidențiat în cadrul rețelei un element arbitrar; cu (i, j) , $(i+1, j)$, $(i+1, j+1)$ și $(i, j+1)$ s-au notat nodurile rețelei care reprezintă puncte de colț ale elementului evidențiat. Elementul evidențiat va fi identificat în continuare prin nodul (i, j) care reprezintă punctul de colț din stînga de sus. Mărimele care se referă la un element vor fi raportate la nodul de identificare al elementului, literele i și j înlocuindu-se însă prin I și J.

In cadrul metodei se presupune că valorile componentelor lui \bar{H} și \bar{B} după cele două direcții Ox , Oy variază liniar de-a lungul laturilor unui element. Forma integrală a teoremei lui Ampere scrisă pentru elementul din fig.3.2.a este [2, 27, 81] :

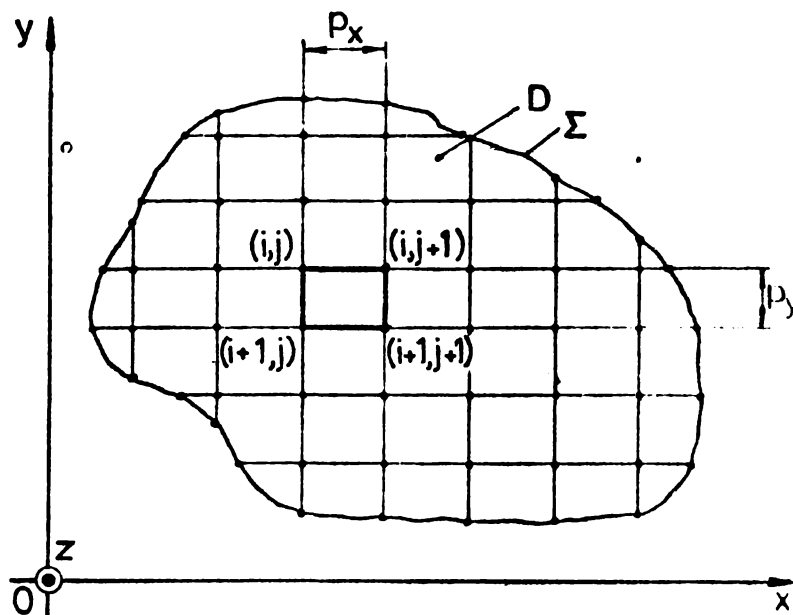


Fig. 3.1

$$\begin{aligned}
 p_x & \frac{H_x(i+1,j) + H_x(i+1,j+1)}{2} + p_y \frac{H_y(i+1,j+1) + H_y(i,j+1)}{2} \\
 -p_x & \frac{H_x(i,j+1) + H_x(i,j)}{2} - p_y \frac{H_y(i,j) + H_y(i+1,j)}{2} = \\
 & = p_x p_y J_c(I,J).
 \end{aligned}
 \tag{3.7}$$

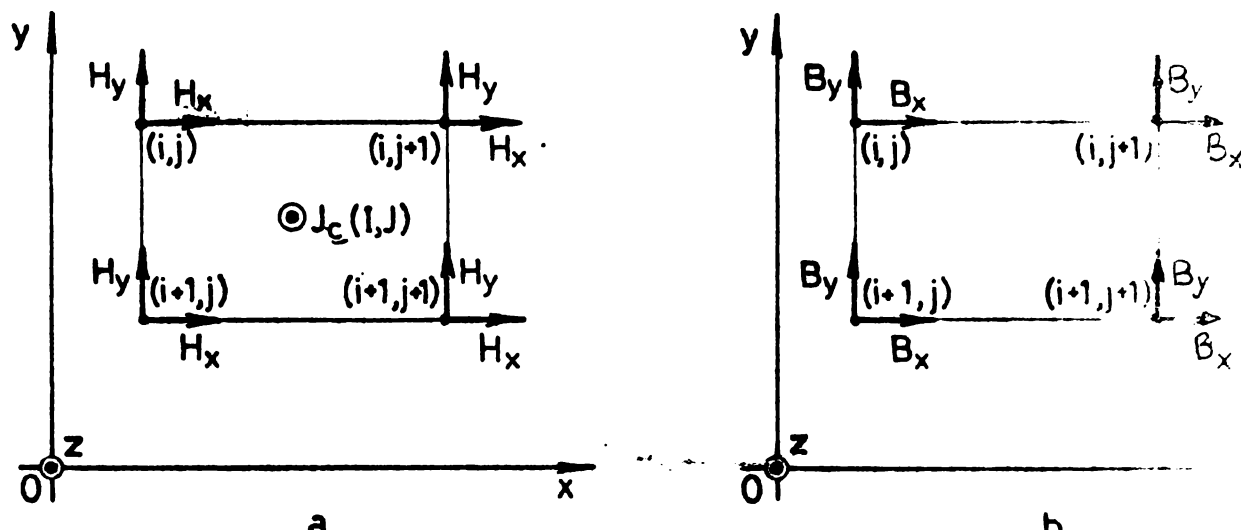


Fig. 3.2

In relația (3.7), $J_c(I,J)$ este densitatea curantului conductiono, normal la planul xOy , uniform distribuit pe aria elementului evidențiat. Pentru același element (fig. 3.2.b), forma integrală a legii fluxului magnetic este [2, 27, 37] :

$$p_x \frac{B_y(i+1,j) + B_y(i+1,j+1)}{2} - p_y \frac{B_x(i+1,j+1) + B_x(i,j+1)}{2} - \\ - p_x \frac{B_y(i,j+1) + B_y(i,j)}{2} + p_y \frac{B_x(i,j) + B_x(i+1,j)}{2} = 0. \quad (3.8)$$

Pentru pași p_x , p_y ai rețelei de discretizare suficient de mici, finiți, relațiile (3.7) și (3.8) sunt aproximativ echivalente cu relațiile (3.3) și respectiv (3.4). Aproximarea este cu atât mai bună cu cât p_x și p_y sunt mai mici.

Relațiile (3.7) și (3.8) pot fi scrise sub forma

$$p_x [H_x(i+1,j) + H_x(i+1,j+1) - H_x(i,j+1) - H_x(i,j)] + \\ + p_y [-H_y(i+1,j) + H_y(i+1,j+1) + H_y(i,j+1) - H_y(i,j)] = \\ = 2 p_x p_y J_c(I,J), \quad (3.9)$$

$$p_y [B_x(i+1,j) - B_x(i+1,j+1) - B_x(i,j+1) + B_x(i,j)] + \\ + p_x [B_y(i+1,j) + B_y(i+1,j+1) - B_y(i,j+1) - B_y(i,j)] = 0. \quad (3.10)$$

Să introduc notățiile

$$\epsilon_H(I,J) = p_x [H_x(i+1,j) + H_x(i+1,j+1) - H_x(i,j+1) - H_x(i,j)] + \\ + p_y [-H_y(i+1,j) + H_y(i+1,j+1) + H_y(i,j+1) - H_y(i,j)] - \\ - 2 p_x p_y J_c(I,J), \quad (3.11)$$

$$\epsilon_B(I,J) = p_y [B_x(i+1,j) - B_x(i+1,j+1) - B_x(i,j+1) + B_x(i,j)] + \\ + p_x [B_y(i+1,j) + B_y(i+1,j+1) - B_y(i,j+1) - B_y(i,j)]. \quad (3.12)$$

Ecuatiile (3.7) și (3.8) sunt deci satisfăcute dacă

$$\epsilon_H(I,J) = 0, \quad (3.13)$$

$$\epsilon_B(I,J) = 0. \quad (3.14)$$

Calculul cîmpului magnetic se reduce la rezolvarea unui sistem de ecuații cu diferențe finite care conține:

- ecuațiile liniare de forma (3.13, 3.14), pentru fiecare element al rețelei de discretizare;

- ecuațiile neliniare în cazul general care provin din funcția (3.2) scrisă scalar

$$\left. \begin{aligned} B_x &= \mu H_x \\ B_y &= \mu H_y \end{aligned} \right\} \quad (3.15)$$

pentru fiecare nod al rețelei;

- ecuațiile liniare de forma (3.5) sau (3.6) pentru fiecare nod de frontieră al rețelei.

Necunoscutele în cadrul sistemului de ecuații sunt valori-le H_x , H_y , B_x și B_y în fiecare nod al rețelei de discretizare.

3.4. Considerarea proprietăților magnetice.

S-a presupus că mediul domeniului D este izotrop. Proprietățile magnetice ale mediului intervin în funcțiile (3.15), în cazul general diferite în noduri diferite ale rețelei.

În nodurile plasate în mediu liniar,

$$\left. \begin{array}{l} B_x = \mu_l H_x \\ B_y = \mu_l H_y \end{array} \right\}, \quad (3.16)$$

unde μ_l este permeabilitatea magnetică a mediului liniar.

În nodurile aflate în mediu neliniar, dependența dintre B și H trebuie apărată printr-o expresie analitică în toată gama posibilă de variație a intensității cîmpului magnetic și inducției magnetice. Expresiei analitice de aproximare a curbei de magnetizare neliniară $B(H)$ î se impun anumite condiții, a căror îndeplinire poate contribui la reușita rezolvării problemei de cîmp, concretizată printr-o precizie suficientă a calculelor, un timp de calcul suficient de redus, etc.

În [11, 51, 63, 81] sunt prezentate diferite expresii analitice de aproximare a curbelor de magnetizare. În [11] se utilizează aproximarea curbei de magnetizare prin 4 segmente de dreaptă. Această aproximare, recomandată datorită simplității sale în cadrul unor calcule pe calculator, are avantajul că atît funcția directă $B(H)$ cît și cea inversă $H(B)$ au pe fiecare porțiune expresii deosebit de simple, liniare. O precizie suficientă a aproximării se obține prin alegerea unui număr corespunzător de segmente de dreaptă. Creșterea numărului de segmente în scopul măririi preciziei de aproximare nu este însă totdeauna indicată pentru că pentru diferite probe ale aceleiași mărci de material pot să existe diferențe sensibile între dependențele experimentale $B(H)$ [14, 15, 49, 71].

În cadrul metodei numerice cu diferențe finite iterativă, extinsă pe rețea rectangulară cu pas neegal s-a utilizat aproximarea curbei de magnetizare $B(H)$ caracterizată prin n puncte de coordonate $[H_o(i), B_c(i)]$ ($i=1, 2, \dots, n$) cu 4 segmente de dreaptă. Ecuația unui segment de dreaptă j ($j=1, 2, 3, 4$) care aproximează

curba de magnetizare într-un interval j al lui H delimitat de $H_c(k)$ și $H_c(k+l)$ ($k < n$, $k+l \leq n$) este

$$F_j(H) = a(j)H + b(j). \quad (3.17)$$

Funcției $F_j(H)$ i se impune condiția de-a trece prin punctul de coordonate $[H_c(k), B_{cc}(k)]$, unde

$$B_{cc}(k) = a(j-1)H_c(k) + b(j-1), \quad (j=2,3,4). \quad (3.18)$$

Intrucit primul punct al curbei de magnetizare este caracterizat prin $H_c(1)=B_c(1)=0$, se consideră $B_{cc}(1)=0$.

Pentru a realiza o precizie a aproximării în intervalul j (fig.3.3) cît mai bună, s-a impus condiția de minim a sumei abaterilor relative patratice pe intervalul j , dată de relația

[3, 76]

$$\tilde{\sigma}_B(j) = \sum_{m=k+1}^l \left\{ \frac{F_j[H_c(m)] - B_c(m)}{B_c(m)} \right\}^2. \quad (3.19)$$

Pentru determinarea coeficienților $a(j)$ și $b(j)$ din condiția de minim a lui $\tilde{\sigma}_B(j)$, minim condiționat de satisfacerea relației

$$a(j)H_c(k) + b(j) - B_{cc}(k) = 0, \quad (3.20)$$

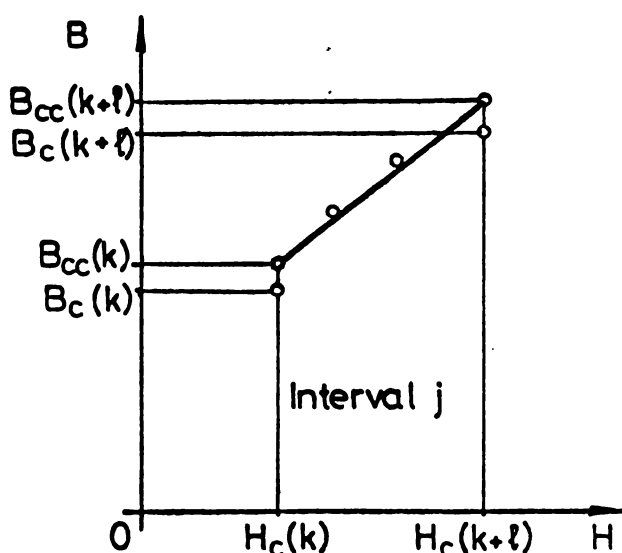


Fig.3.3

se utilizează metoda multiplicatorilor lui Lagrange [65]. În acest scop se formează funcția

$$G(j) = \tilde{\sigma}_B(j) + \lambda [a(j)H_c(k) + b(j) - B_{cc}(k)], \quad (3.21)$$

unde λ este multiplicatorul lui Lagrange. Din sistemul

$$\left. \begin{array}{l} \frac{\partial G(j)}{\partial a(j)} = 0 \\ \frac{\partial G(j)}{\partial b(j)} = 0 \\ \frac{\partial G(j)}{\partial \lambda} = 0 \end{array} \right\} \quad (3.22)$$

rezultă

$$\left. \begin{array}{l} a(j) = \frac{\sum_{m=k+1}^l \frac{[H_c(m) - H_c(k)][B_c(m) - B_{cc}(k)]}{B_c^2(m)}}{\sum_{m=k+1}^l \frac{[H_c(m) - H_c(k)]^2}{B_c^2(m)}} \\ b(j) = \dots \end{array} \right\}. \quad (3.23)$$

$$b(j) = B_{cc}(k) - a(j) H_c(k)$$

Pentru valorile $H > H_c(n)$ sau $B > B_{cc}(n)$ s-a admis aproximarea dependenței $B(H)$ de către prelungirea ultimului segment de dreaptă.

In cadrul acestei metode numerice de calcul al cîmpului magnetic evasistatior plan-paralel se vor utiliza funcțiile $\mu(H)$, $\frac{1}{\mu}(B)$, $\frac{\partial \mu}{\partial H}(H)$ și $\frac{\partial(1/\mu)}{\partial B}(B)$. Expresiile ce rezultă pentru aceste funcții din (3.17) pentru intervalul j ($j=1,2,3,4$) sunt

$$\mu(H) = a(j) + \frac{b(j)}{H}, \quad (3.24)$$

$$\frac{1}{\mu}(B) = \frac{1}{a(j)} \left[1 - \frac{b(j)}{B} \right], \quad (3.25)$$

$$\frac{\partial \mu}{\partial H}(H) = - \frac{b(j)}{H^2}, \quad (3.26)$$

$$\frac{\partial(\frac{1}{\mu})}{\partial B}(B) = \frac{b(j)}{a(j)B^2}. \quad (3.27)$$

Mai rezultă

$$\mu(0) = a(1), \quad (3.28)$$

$$\frac{1}{\mu}(0) = \frac{1}{a(1)}, \quad (3.29)$$

$$\frac{\partial \mu}{\partial H}(0) = 0, \quad (3.30)$$

$$\frac{\partial(\frac{1}{\mu})}{\partial B}(0) = 0. \quad (3.31)$$

Relațiile (3.24 - 3.27) sau (3.28 - 3.31) se vor aplica cu valori ale lui H și B calculate în fiecare nod al rețelei de discretizare plasat în mediu neliniar, funcție de valorile componentelor H_x și H_y , respectiv B_x și B_y :

$$H = \sqrt{H_x^2 + H_y^2}, \quad (3.32)$$

$$B = \sqrt{B_x^2 + B_y^2}. \quad (3.33)$$

3.5. Rezolvarea iterativă a sistemului de ecuații cu diferențe finite

In cazul liniar pentru rezolvarea sistemului de ecuații (3.13.- 3.15, 3.5, 3.6) se poate folosi oricare din metodele de rezolvare a sistemelor de ecuații liniare. In cazul neliniar, cind aceste metode nu se pot folosi, se poate utiliza metoda

aproxiimatiiilor successive descrisă în continuare.

In fiecare nod al rețelei de discretizare se dă valorile corespunzătoare aproxiimatiei inițiale ale necunoscutelor H_x , H_y , B_x , B_y . Acestea pot fi valori arbitrară care satisfac ecuațiile (3.15, 3.5, 3.6). Se iterează apoi necunoscutele conform unor relații speciale, succesiv pentru fiecare element al rețelei. La sfîrșitul fiecărei iteratii necunoscutele continuă să satisfacă ecuațiile (3.15, 3.5, 3.6) dar, după parcurgerea unei etape transitorii de calcul, $|\varepsilon_H(I,J)|$ și $|\varepsilon_B(I,J)|$, care au semnificația unor erori, scad pentru toate elementele rețelei. Soluția sistemului este obținută cînd valorile necunoscutele satisfac cu suficientă precizie și ecuațiile (3.13, 3.14), adică atunci cînd pentru toate elementele rețelei sunt satisfăcute relații de forma

$$|\varepsilon_H(I,J)| < \varepsilon_{H\text{Max}}, \quad (3.34)$$

$$|\varepsilon_B(I,J)| < \varepsilon_{B\text{Max}}, \quad (3.35)$$

unde $\varepsilon_{H\text{Max}}$ și $\varepsilon_{B\text{Max}}$ sunt valorile absolute ale erorilor maxime, impuse. Scăderea valorilor $\varepsilon_{H\text{Max}}$ și $\varepsilon_{B\text{Max}}$ conduce la creșterea preciziei rezolvării, dar și la creșterea timpului de calcul, ceea ce pretinde realizarea unui compromis acceptabil.

Sistemul de ecuații se rezolvă iterativ, în cadrul unei iteratii parcurgîndu-se două etape. Se notează cu H'_x , H'_y , B'_x și B'_y valorile necunoscutele la începutul unei etape și cu H''_x , H''_y , B''_x și B''_y valorile necunoscutele la sfîrșitul etapei respective. Pașii de calcul care se parcurg succesiv în cadrul fiecărei etape sunt următorii:

I. Etapa 1: iterarea după ε_H :

1. Se calculează:

$$\begin{aligned} \varepsilon_H(I,J) = & p_x [H'_x(i+1,j) + H'_x(i+1,j+1) - H'_x(i,j+1) - H'_x(i,j)] + \\ & + p_y [-H'_y(i+1,j) + H'_y(i+1,j+1) + H'_y(i,j+1) - H'_y(i,j)] - \\ & - 2 p_x p_y J_c(I,J); \end{aligned} \quad (3.36)$$

2. Se determină:

$$\left. \begin{aligned} \Delta B(I,J) &= \frac{\varepsilon_H(I,J)}{Z_H(I,J)} \\ \Delta B_x(I,J) &= \frac{p_x}{\sqrt{p_x p_y}} \Delta B(I,J) \\ \Delta B_y(I,J) &= \frac{p_y}{\sqrt{p_x p_y}} \Delta B(I,J) \end{aligned} \right\}, \quad (3.37)$$

unde $\Delta B_x(I, J)$ și $\Delta B_y(I, J)$ sunt corecțiile care se vor aplica în cadrul etapei 1 valorilor initiale B'_x , respectiv B'_y ale necunoscutelor; alegerea mărimii $Z_B(I, J)$ va fi tratată ulterior.

3. Se calculează valorile necunoscutelor B''_x și B''_y din nodurile rețelei ce constituie puncte de colț ale elementului asupra căruia se face iterarea, cu relațiile:

$$\left. \begin{array}{l} B''_x(i+1, j) = B'_x(i+1, j) - \Delta B_x(I, J) \\ B''_x(i+1, j+1) = B'_x(i+1, j+1) - \Delta B_x(I, J) \\ B''_x(i, j+1) = B'_x(i, j+1) + \Delta B_x(I, J) \\ B''_x(i, j) = B'_x(i, j) + \Delta B_x(I, J) \\ B''_y(i+1, j) = B'_y(i+1, j) + \Delta B_y(I, J) \\ B''_y(i+1, j+1) = B'_y(i+1, j+1) - \Delta B_y(I, J) \\ B''_y(i, j+1) = B'_y(i, j+1) - \Delta B_y(I, J) \\ B''_y(i, j) = B'_y(i, j) + \Delta B_y(I, J) \end{array} \right\} . \quad (3.38)$$

4. Se calculează valorile necunoscutelor H''_x și H''_y din punctele de colț ale elementului asupra căruia se efectuează iterarea. Pentru nodurile plasate în mediu liniar,

$$\left. \begin{array}{l} H''_x = \frac{B''_x}{\mu_l} \\ H''_y = \frac{B''_y}{\mu_l} \end{array} \right\} . \quad (3.39)$$

Pentru nodurile plasate în mediu nelinier izotrop,

$$\left. \begin{array}{l} H''_x = B''_x \frac{1}{\mu}(B'') \\ H''_y = B''_y \frac{1}{\mu}(B'') \end{array} \right\} . \quad (3.40)$$

II. Etapa 2: iterarea după ϵ_B :

1. Se calculează:

$$\begin{aligned} \epsilon_B(I, J) = & p_y [B'_x(i+1, j) - B'_x(i+1, j+1) - B'_x(i, j+1) + B'_x(i, j)] + \\ & + p_x [B'_y(i+1, j) + B'_y(i+1, j+1) - B'_y(i, j+1) - B'_y(i, j)] ; \end{aligned} \quad (3.41)$$

2. Se determină:

$$\left. \begin{array}{l} \Delta H(I, J) = \frac{\epsilon_B(I, J)}{Z_B(I, J)} \\ \Delta H_x(I, J) = \frac{p_y}{\sqrt{p_x p_y}} \Delta H(I, J) \end{array} \right\} . \quad (3.42)$$

$$H_y(I, J) = \frac{p_y}{\sqrt{p_x p_y}} \Delta H(I, J)$$

$\Delta H_x(I, J)$ și $\Delta H_y(I, J)$ sunt corecțiile care se vor aplica în cadrul etapei 2 valorilor inițiale H'_x , respectiv H'_y ale necunoscutelor; alegerea mărimii $Z_B(I, J)$ va fi de asemenea tratată ulterior.

3. Se calculează valorile necunoscuteelor H''_x și H''_y din nodurile rețelei ce constituie puncte de colț ale elementului asupra căruia se efectuează iterarea, cu relațiile

$$\left. \begin{array}{l} H''_x(i+1, j) = H'_x(i+1, j) - \Delta H_x(I, J) \\ H''_x(i+1, j+1) = H'_x(i+1, j+1) + \Delta H_x(I, J) \\ H''_x(i, j+1) = H'_x(i, j+1) + \Delta H_x(I, J) \\ H''_x(i, j) = H'_x(i, j) - \Delta H_x(I, J) \\ H''_y(i+1, j) = H'_y(i+1, j) - \Delta H_y(I, J) \\ H''_y(i+1, j+1) = H'_y(i+1, j+1) - \Delta H_y(I, J) \\ H''_y(i, j+1) = H'_y(i, j+1) + \Delta H_y(I, J) \\ H''_y(i, j) = H'_y(i, j) + \Delta H_y(I, J) \end{array} \right\} . \quad (3.43)$$

4. Se calculează valorile necunoscuteelor B''_x și B''_y din punctele de colț ale elementului asupra căruia se efectuează iterarea. Pentru nodurile plasate în mediu liniar,

$$\left. \begin{array}{l} B''_x = \mu_l H''_x \\ B''_y = \mu_l H''_y \end{array} \right\} , \quad (3.44)$$

iar pentru nodurile plasate în mediu neliniar izotrop,

$$\left. \begin{array}{l} B''_x = H''_x \mu(H'') \\ B''_y = H''_y \mu(H'') \end{array} \right\} . \quad (3.45)$$

Iterarea conform relațiilor (3.36 – 3.45) se efectuează pentru toate elementele rețelei. Pentru elementele care au puncte de colț pe frontieră domeniului D , după aplicarea relațiilor (3.38), componentele lui \bar{B} din nodurile de pe frontieră care conform condiției (3.5) trebuie să fie nule, se anulează. De asemenea, pentru elementele care au puncte de colț pe frontieră domeniului D , după aplicarea relațiilor (3.43), componentele lui \bar{H} din nodurile de pe frontieră care conform condiției (3.6) trebuie să fie nule, se anulează.

Pe baza celor de mai sus se poate concepe proceseul de calcul în modul următor: iterarea conform relațiilor (3.36 - 3.45) se efectuează prin baleierea elementelor din care este compusă rețeaua de discretizare, cu impunerea în cazul elementelor ce au puncte de colț pe frontieră domeniului a condițiilor (3.5) sau (3.6). Se rețin cele mai mari valori $|\varepsilon_H(I,J)|$ și $|\varepsilon_B(I,J)|$, noteate în continuare cu $\varepsilon_{H\max}$, respectiv $\varepsilon_{B\max}$, obținute la o baleiere completă a elementelor rețelei de discretizare, și se verifică dacă

$$\varepsilon_{H\max} < \varepsilon_{H\max}, \quad (3.46)$$

$$\varepsilon_{B\max} < \varepsilon_{B\max}. \quad (3.47)$$

Dacă relațiile (3.46, 3.47) sunt satisfăcute, se consideră procesul iterativ de calcul terminat; în caz contrar se repetă iterarea prin baleierea elementelor. Soluția problemei de cîmp este constituită din mulțimea valorilor componentelor lui \bar{H} și \bar{B} în toate nodurile rețelei, de la sfîrșitul ultimei iterării. Se pot calcula și valorile intensității cîmpului magnetic și inducției magnetice în nodurile rețelei cu relațiile (3.32, 3.33).

3.6. Alegerea mărimilor $Z_H(I,J)$ și $Z_B(I,J)$

Mărimile $Z_H(I,J)$ și $Z_B(I,J)$ trebuie astfel alese încît procesul iterativ de calcul să fie convergent iar viteza de convergență cît mai mare posibil.

Fie H_x , H_y , B_x și B_y valorile căutate ale necunoscutele intr-un nod carecare al rețelei de discretizare. Aceste valori satisfac sistemul de ecuații (3.13 - 3.15, 3.5, 3.6). Se consideră că intr-un moment carecare al calculului necunoscutele în nod arbitrar ales au valorile $H_x + \alpha_x$, $H_y + \alpha_y$, $B_x + \beta_x$ și respectiv $B_y + \beta_y$, unde α_x , α_y , β_x și β_y sunt erorile care afectează valorile necunoscutele în momentul considerat al calculului.

Aplicînd formula creșterilor finite [3, 65], se pot scrie relațiile:

$$\left. \begin{aligned} \alpha_x &= \frac{\partial H_x}{\partial B_x} \beta_x + \frac{\partial H_x}{\partial B_y} \beta_y \\ \alpha_y &= \frac{\partial H_y}{\partial B_x} \beta_x + \frac{\partial H_y}{\partial B_y} \beta_y \end{aligned} \right\}, \quad (3.48)$$

$$\left. \begin{array}{l} \beta_x = \frac{\partial B_x}{\partial H_x} \alpha_x + \frac{\partial B_x}{\partial H_y} \alpha_y \\ \beta_y = \frac{\partial B_y}{\partial H_x} \alpha_x + \frac{\partial B_y}{\partial H_y} \alpha_y \end{array} \right\} . \quad (3.49)$$

Derivatele parțiale din relațiile (3.48, 3.49) se calculează pe baza relațiilor (3.15) care țin cont de proprietățile magnetice ale mediului în nod.

Relațiile (3.48, 3.49) sunt satisfăcute în cazul unui mediu liniar pentru orice valori ale erorilor α_x , α_y , β_x și β_y ; în cazul unui mediu neliniar relațiile (3.48, 3.49) sunt satisfăcute pentru valori infinit mici ale erorilor α_x , α_y , β_x și β_y și aproximativ satisfăcute pentru valori suficient de mici ale erorilor α_x , α_y , β_x și β_y .

Forma funcțiilor (3.15) corespunzătoare unui mediu neliniar izotrop permite scrierea relațiilor

$$\frac{\partial H_x}{\partial B_y} = \frac{\partial H_y}{\partial B_x}, \quad (3.50)$$

$$\frac{\partial B_x}{\partial H_y} = \frac{\partial B_y}{\partial H_x} \quad (3.51)$$

în nodurile rețelei aflate în mediu neliniar.

Se definește o eroare globală referitoare la etapa 1 de iterare după ϵ_H pentru elementul identificat prin punctul de colț (i,j), prin relația

$$G_H(I,J) = \sum_1^4 (\alpha_x \beta_x + \alpha_y \beta_y), \quad (3.52)$$

unde suma se efectuează asupra celor 4 puncte de colț ale elementului. La începutul etapei 1 se poate deci scrie

$$G'_H(I,J) = \sum_1^4 (\alpha'_x \beta'_x + \alpha'_y \beta'_y), \quad (3.53)$$

iar la sfârșitul etapei 1,

$$G''_H(I,J) = \sum_1^4 (\alpha''_x \beta''_x + \alpha''_y \beta''_y). \quad (3.54)$$

Să vor stabili condițiile în care diferența $G'_H(I,J) - G''_H(I,J)$ este pozitivă, ceea ce asigură convergența procesului iterativ corespunzător etapei 1.

Pe baza relațiilor (3.38) se poate scrie

$$\left. \begin{array}{l} \beta_x''(i+1,j) = \beta_x'(i+1,j) - \Delta B_x(I,J) \\ \beta_x''(i+1,j+1) = \beta_x'(i+1,j+1) - \Delta B_x(I,J) \\ \beta_x''(i,j+1) = \beta_x'(i,j+1) + \Delta B_x(I,J) \\ \beta_x''(i,j) = \beta_x'(i,j) + \Delta B_x(I,J) \\ \beta_y''(i+1,j) = \beta_y'(i+1,j) + \Delta B_y(I,J) \\ \beta_y''(i+1,j+1) = \beta_y'(i+1,j+1) - \Delta B_y(I,J) \\ \beta_y''(i,j+1) = \beta_y'(i,j+1) - \Delta B_y(I,J) \\ \beta_y''(i,j) = \beta_y'(i,j) + \Delta B_y(I,J) \end{array} \right\} \quad (3.55)$$

De asemenea, pe baza relațiilor (3.48, 3.55) rezultă

$$\left. \begin{array}{l} \alpha_x''(i+1,j) = \alpha_x'(i+1,j) - \frac{\partial H_x}{\partial B_x}(i+1,j) \Delta B_x(I,J) + \\ + \frac{\partial H_x}{\partial B_y}(i+1,j) \Delta B_y(I,J) \\ \alpha_x''(i+1,j+1) = \alpha_x'(i+1,j+1) - \frac{\partial H_x}{\partial B_x}(i+1,j+1) \Delta B_x(I,J) - \\ - \frac{\partial H_x}{\partial B_y}(i+1,j+1) \Delta B_y(I,J) \\ \alpha_x''(i,j+1) = \alpha_x'(i,j+1) + \frac{\partial H_x}{\partial B_x}(i,j+1) \Delta B_x(I,J) - \\ - \frac{\partial H_x}{\partial B_y}(i,j+1) \Delta B_y(I,J) \\ \alpha_x''(i,j) = \alpha_x'(i,j) + \frac{\partial H_x}{\partial B_x}(i,j) \Delta B_x(I,J) + \frac{\partial H_x}{\partial B_y}(i,j) \Delta B_y(I,J) \\ \alpha_y''(i+1,j) = \alpha_y'(i+1,j) - \frac{\partial H_y}{\partial B_x}(i+1,j) \Delta B_x(I,J) + \\ + \frac{\partial H_y}{\partial B_y}(i+1,j) \Delta B_y(I,J) \\ \alpha_y''(i+1,j+1) = \alpha_y'(i+1,j+1) - \frac{\partial H_y}{\partial B_x}(i+1,j+1) \Delta B_x(I,J) - \\ - \frac{\partial H_y}{\partial B_y}(i+1,j+1) \Delta B_y(I,J) \end{array} \right\} \quad (3.56)$$

$$\alpha_y''(i, j+1) = \alpha_y'(i, j+1) + \frac{\partial H_y}{\partial B_x}(i, j+1) \Delta B_x(I, J) -$$

$$- \frac{\partial H_y}{\partial B_y}(i, j+1) \Delta B_y(I, J)$$

$$\alpha_y''(i, j) = \alpha_y'(i, j) + \frac{\partial H_y}{\partial B_x}(i, j) \Delta B_x(I, J) + \frac{\partial H_y}{\partial B_y}(i, j) \Delta B_y(I, J)$$

Tinând cont de relațiile (3.37, 3.48, 3.55, 3.56) se poate pune diferența $\tilde{v}_H' - \tilde{v}_H''$ calculată pentru nodul $(i+1, j)$ sub forma

$$\tilde{v}_H'(i+1, j) - \tilde{v}_H''(i+1, j) = \frac{2 \Delta B(I, J)}{\sqrt{p_x p_y}} \left[p_x \alpha_x'(i+1, j) - \right.$$

$$- p_y \alpha_y'(i+1, j) \left] - \Delta B^2(I, J) \left[\frac{p_x}{p_y} \frac{\partial H_x}{\partial B_x}(i+1, j) - \frac{\partial H_x}{\partial B_y}(i+1, j) - \right. \right.$$

$$- \frac{\partial H_y}{\partial B_x}(i+1, j) + \frac{p_y}{p_x} \frac{\partial H_y}{\partial B_y}(i+1, j) \left] \right. \quad (3.57)$$

In mod similar se deduc pentru celelalte 3 noduri relațiile :

$$\tilde{v}_H'(i+1, j+1) - \tilde{v}_H''(i+1, j+1) = \frac{2 \Delta B(I, J)}{\sqrt{p_x p_y}} \left[p_x \alpha_x'(i+1, j+1) + \right.$$

$$+ p_y \alpha_y'(i+1, j+1) \left] - \Delta B^2(I, J) \left[\frac{p_x}{p_y} \frac{\partial H_x}{\partial B_x}(i+1, j+1) + \right. \right.$$

$$+ \frac{\partial H_x}{\partial B_y}(i+1, j+1) + \frac{\partial H_y}{\partial B_x}(i+1, j+1) + \frac{p_y}{p_x} \frac{\partial H_y}{\partial B_y}(i+1, j+1) \left] \right. \quad (3.58)$$

$$\tilde{v}_H'(i, j+1) - \tilde{v}_H''(i, j+1) = \frac{2 \Delta B(I, J)}{\sqrt{p_x p_y}} \left[-p_x \alpha_x'(i, j+1) + \right.$$

$$+ p_y \alpha_y'(i, j+1) \left] - \Delta B^2(I, J) \left[\frac{p_x}{p_y} \frac{\partial H_x}{\partial B_x}(i, j+1) - \frac{\partial H_x}{\partial B_y}(i, j+1) - \right. \right.$$

$$- \frac{\partial H_y}{\partial B_x}(i, j+1) + \frac{p_y}{p_x} \frac{\partial H_y}{\partial B_y}(i, j+1) \left] \right. \quad (3.59)$$

$$\tilde{v}_H'(i, j) - \tilde{v}_H''(i, j) = \frac{2 \Delta B(I, J)}{\sqrt{p_x p_y}} \left[-p_x \alpha_x'(i, j) - p_y \alpha_y'(i, j) \right] -$$

$$- \Delta B^2(I, J) \left[\frac{p_x}{p_y} \frac{\partial H_x}{\partial B_x}(i, j) + \frac{\partial H_x}{\partial B_y}(i, j) + \frac{\partial H_y}{\partial B_x}(i, j) + \right. \right.$$

$$+ \frac{p_y}{p_x} \frac{\partial H_y}{\partial B_y}(i, j) \left] \right. \quad (3.60)$$

Având în vedere că

$$\begin{aligned}\varepsilon_H(I, J) = & p_x \left[\alpha'_x(i+1, j) + \alpha'_x(i+1, j+1) - \alpha'_x(i, j+1) - \alpha'_x(i, j) \right] + \\ & + p_y \left[-\alpha'_y(i+1, j) + \alpha'_y(i+1, j+1) + \alpha'_y(i, j+1) - \alpha'_y(i, j) \right]\end{aligned}\quad (3.61)$$

și, înținind cont de prima relație (3.37), prin însumarea relațiilor (3.57 - 3.60) rezultă

$$\tilde{\sigma}_H'(I, J) - \tilde{\sigma}_H''(I, J) = \Delta B(I, J) \varepsilon_H(I, J) \left[\frac{2}{\sqrt{p_x p_y}} - \frac{t_H(I, J)}{z_H(I, J)} \right], \quad (3.62)$$

unde

$$t_H(I, J) = t_H(i+1, j) + t_H(i+1, j+1) + t_H(i, j+1) + t_H(i, j) \quad (3.63)$$

și

$$\begin{aligned}t_H(i+1, j) = & \frac{p_x}{p_y} \frac{\partial H_x}{\partial B_x}(i+1, j) - \frac{\partial H_x}{\partial B_y}(i+1, j) - \frac{\partial H_y}{\partial B_x}(i+1, j) + \\ & + \frac{p_y}{p_x} \frac{\partial H_y}{\partial B_y}(i+1, j) \\ t_H(i+1, j+1) = & \frac{p_x}{p_y} \frac{\partial H_x}{\partial B_x}(i+1, j+1) + \frac{\partial H_x}{\partial B_y}(i+1, j+1) + \\ & + \frac{\partial H_y}{\partial B_x}(i+1, j+1) + \frac{p_y}{p_x} \frac{\partial H_y}{\partial B_y}(i+1, j+1) \\ t_H(i, j+1) = & \frac{p_x}{p_y} \frac{\partial H_x}{\partial B_x}(i, j+1) - \frac{\partial H_x}{\partial B_y}(i, j+1) - \frac{\partial H_y}{\partial B_x}(i, j+1) + \\ & + \frac{p_y}{p_x} \frac{\partial H_y}{\partial B_y}(i, j+1) \\ t_H(i, j) = & \frac{p_x}{p_y} \frac{\partial H_x}{\partial B_x}(i, j) + \frac{\partial H_x}{\partial B_y}(i, j) + \frac{\partial H_y}{\partial B_x}(i, j) + \frac{p_y}{p_x} \frac{\partial H_y}{\partial B_y}(i, j)\end{aligned}\quad (3.64)$$

Diferența $\tilde{\sigma}_H'(I, J) - \tilde{\sigma}_H''(I, J)$ este deci pozitivă pentru

$$z_H(I, J) > \frac{\sqrt{p_x p_y}}{2} t_H(I, J). \quad (3.65)$$

In continuare se analizează modul de alegere a mărimii $z_B(I, J)$. Se definește de asemenea o eroare globală referitoare la etapa 2 de iterare după ε_B pentru un element identificat prin punctul de colț (i, j) , prin relația

$$\tilde{\sigma}_B(I, J) = \sum_1^4 (\alpha_x \beta_x + \alpha_y \beta_y). \quad (3.66)$$

La începutul etapei 2,

$$\tilde{\sigma}_B^*(I, J) = \sum_1^4 (\alpha_x^* \beta_x^* + \alpha_y^* \beta_y^*), \quad (3.67)$$

iar la sfîrșitul etapei 2,

$$\tilde{\sigma}_B''(I, J) = \sum_1^4 (\alpha_x'' \beta_x'' + \alpha_y'' \beta_y''). \quad (3.68)$$

Se urmărește determinarea condițiilor în care diferența $\tilde{\sigma}_B^*(I, J) - \tilde{\sigma}_B''(I, J)$ este pozitivă. Pe baza relațiilor (3.43) se poate scrie

$$\left. \begin{array}{l} \alpha_x''(i+1, j) = \alpha_x^*(i+1, j) - \Delta H_x(I, J) \\ \alpha_x''(i+1, j+1) = \alpha_x^*(i+1, j+1) + \Delta H_x(I, J) \\ \alpha_x''(i, j+1) = \alpha_x^*(i, j+1) + \Delta H_x(I, J) \\ \alpha_x''(i, j) = \alpha_x^*(i, j) - \Delta H_x(I, J) \\ \alpha_y''(i+1, j) = \alpha_y^*(i+1, j) - \Delta H_y(I, J) \\ \alpha_y''(i+1, j+1) = \alpha_y^*(i+1, j+1) - \Delta H_y(I, J) \\ \alpha_y''(i, j+1) = \alpha_y^*(i, j+1) + \Delta H_y(I, J) \\ \alpha_y''(i, j) = \alpha_y^*(i, j) + \Delta H_y(I, J) \end{array} \right\}. \quad (3.69)$$

De asemenea, pe baza relațiilor (3.49, 3.69) rezultă

$$\left. \begin{array}{l} \beta_x''(i+1, j) = \beta_x^*(i+1, j) - \frac{\partial B_x}{\partial H_x}(i+1, j) \Delta H_x(I, J) - \\ - \frac{\partial B_x}{\partial H_y}(i+1, j) \Delta H_y(I, J) \\ \beta_x''(i+1, j+1) = \beta_x^*(i+1, j+1) + \frac{\partial B_x}{\partial H_x}(i+1, j+1) \Delta H_x(I, J) - \\ - \frac{\partial B_x}{\partial H_y}(i+1, j+1) \Delta H_y(I, J) \\ \beta_x''(i, j+1) = \beta_x^*(i, j+1) + \frac{\partial B_x}{\partial H_x}(i, j+1) \Delta H_x(I, J) + \\ + \frac{\partial B_x}{\partial H_y}(i, j+1) \Delta H_y(I, J) \\ \beta_x''(i, j) = \beta_x^*(i, j) - \frac{\partial B_x}{\partial H_x}(i, j) \Delta H_x(I, J) + \end{array} \right\}$$

$$\begin{aligned}
 & + \frac{\partial B_x}{\partial H_y}(i, j) \Delta H_y(I, J) \\
 & \beta''_y(i+1, j) = \beta'_y(i+1, j) - \frac{\partial B_x}{\partial H_x}(i+1, j) \Delta H_x(I, J) - \\
 & - \frac{\partial B_x}{\partial H_y}(i+1, j) \Delta H_y(I, J) \\
 & \beta''_y(i+1, j+1) = \beta'_y(i+1, j+1) + \frac{\partial B_x}{\partial H_x}(i+1, j+1) \Delta H_x(I, J) - \\
 & - \frac{\partial B_x}{\partial H_y}(i+1, j+1) \Delta H_y(I, J) \\
 & \beta''_y(i, j+1) = \beta'_y(i, j+1) + \frac{\partial B_x}{\partial H_x}(i, j+1) \Delta H_x(I, J) + \\
 & + \frac{\partial B_x}{\partial H_y}(i, j+1) \Delta H_y(I, J) \\
 & \beta''_y(i, j) = \beta'_y(i, j) - \frac{\partial B_x}{\partial H_x}(i, j) \Delta H_x(I, J) + \\
 & + \frac{\partial B_x}{\partial H_y}(i, j) \Delta H_y(I, J)
 \end{aligned} \tag{3.70}$$

Scriind pe $\varepsilon_B(I, J)$ sub forma

$$\begin{aligned}
 \varepsilon_B(I, J) = & p_y [\beta'_x(i+1, j) - \beta'_x(i+1, j+1) - \beta'_x(i, j+1) + \\
 & + \beta'_x(i, j)] + p_x [\beta'_y(i+1, j) + \beta'_y(i+1, j+1) - \beta'_y(i, j+1) - \\
 & - \beta'_y(i, j)]
 \end{aligned} \tag{3.71}$$

și înăind cont de relațiile (3.42, 3.49, 3.70, 3.71), se ajunge în final la

$$\sigma'_B(I, J) - \sigma''_B(I, J) = \Delta H(I, J) \varepsilon_B(I, J) \left[\frac{2}{\sqrt{p_x p_y}} - \frac{\tau_B(I, J)}{Z_B(I, J)} \right], \tag{3.72}$$

unde

$$\tau_B(I, J) = \tau_B(i+1, j) + \tau_B(i+1, j+1) + \tau_B(i, j+1) + \tau_B(i, j) \tag{3.73}$$

și

$$\tau_B(i+1, j) = \frac{p_y}{p_x} \frac{\partial B_x}{\partial H_x}(i+1, j) + \frac{\partial B_x}{\partial H_y}(i+1, j) + \boxed{\quad}$$

$$\begin{aligned}
 & + \frac{\partial B_y}{\partial H_x}(i+1, j) + \frac{p_x}{p_y} \frac{\partial B_y}{\partial H_y}(i+1, j) \\
 T_B(i+1, j+1) &= \frac{p_y}{p_x} \frac{\partial B_x}{\partial H_x}(i+1, j+1) - \frac{\partial B_x}{\partial H_y}(i+1, j+1) - \\
 & - \frac{\partial B_y}{\partial H_x}(i+1, j+1) + \frac{p_x}{p_y} \frac{\partial B_y}{\partial H_y}(i+1, j+1) \\
 T_B(i, j+1) &= \frac{p_y}{p_x} \frac{\partial B_x}{\partial H_x}(i, j+1) + \frac{\partial B_x}{\partial H_y}(i, j+1) + \\
 & + \frac{\partial B_y}{\partial H_x}(i, j+1) + \frac{p_x}{p_y} \frac{\partial B_y}{\partial H_y}(i, j+1) \\
 T_B(i, j) &= \frac{p_y}{p_x} \frac{\partial B_x}{\partial H_x}(i, j) - \frac{\partial B_x}{\partial H_y}(i, j) - \frac{\partial B_y}{\partial H_x}(i, j) + \\
 & + \frac{p_x}{p_y} \frac{\partial B_y}{\partial H_y}(i, j)
 \end{aligned}
 \quad \left. \right\} \cdot (3.74)$$

Diferența $\tilde{\sigma}_B^1(I, J) - \tilde{\sigma}_B^2(I, J)$ este pozitivă dacă este satisfăcută condiția

$$z_B(I, J) > \frac{\sqrt{p_x p_y}}{2} T_B(I, J). \quad (3.75)$$

In cazul unui mediu liniar iar pentru valori ale erorilor α_x , α_y , β_x și β_y suficient de mici și în cazul unui mediu neliniar, satisfacerea condițiilor (3.65, 3.75) este necesară și suficientă pentru ca erorile globale $\tilde{\sigma}_H(I, J)$ și $\tilde{\sigma}_B(I, J)$ să scadă la fiecare iterare după ε_H și ε_B , în condiții în care $\varepsilon_H(I, J)$ și $\varepsilon_B(I, J)$ sunt nenele, ceea ce echivalează cu asigurarea convergenței procesului iterativ de calcul.

Viteza de convergență a procesului iterativ este influențată de modul de alegere a mărimilor $z_H(I, J)$ și $z_B(I, J)$, în condițiile satisfacerii relațiilor (3.65, 3.75). Dacă se aleg

$$z_H(I, J) = k_r \sqrt{p_x p_y} T_H(I, J), \quad (3.76)$$

$$z_B(I, J) = k_r \sqrt{p_x p_y} T_B(I, J), \quad (3.77)$$

atunci pentru un coeficient de relaxare

$$k_r > 0,5 \quad (3.78)$$

convergența este asigurată. În [11] se recomandă să se lucreze în cadrul unei rețele de discretizare cu pas uniform cu $k_r = (0,8-1)$ în faza inițială a procesului de calcul și cu $k_r = (0,55-0,6)$ în

faza finală, fără alte precizări privind lungimea fazelor și modul de scădere a lui k_y la trecerea de la o fază la alta. O alegeră corespunzătoare a lui k_y ca și variația potrivită a lui de-a lungul procesului iterativ poate crește sensibil viteza de convergență. Dar, după [48], în cazul metodelor iterative, viteza de convergență depinde nu numai de coeficientul de relaxare ci și de dimensiunile geometrice ale rețelei de discretizare și de lungimile temporale ale fazelor de calcul. De asemenea, modul de alegere a valorilor initiale ale necunoscutelor influențează durata procesului de calcul. În capitolul 4 se analizează și alți factori din punctul de vedere al influenței lor asupra vitezei de convergență.

Deoarece în cadrul relațiilor (3.63, 3.73) se efectuează sume de egală pondere asupra a 4 termeni ce se referă la cele 4 puncte de colț ale unui element, sănt posibile pentru elementul evidențiat în fig.3.4, care nu are nici o latură suprapusă peste

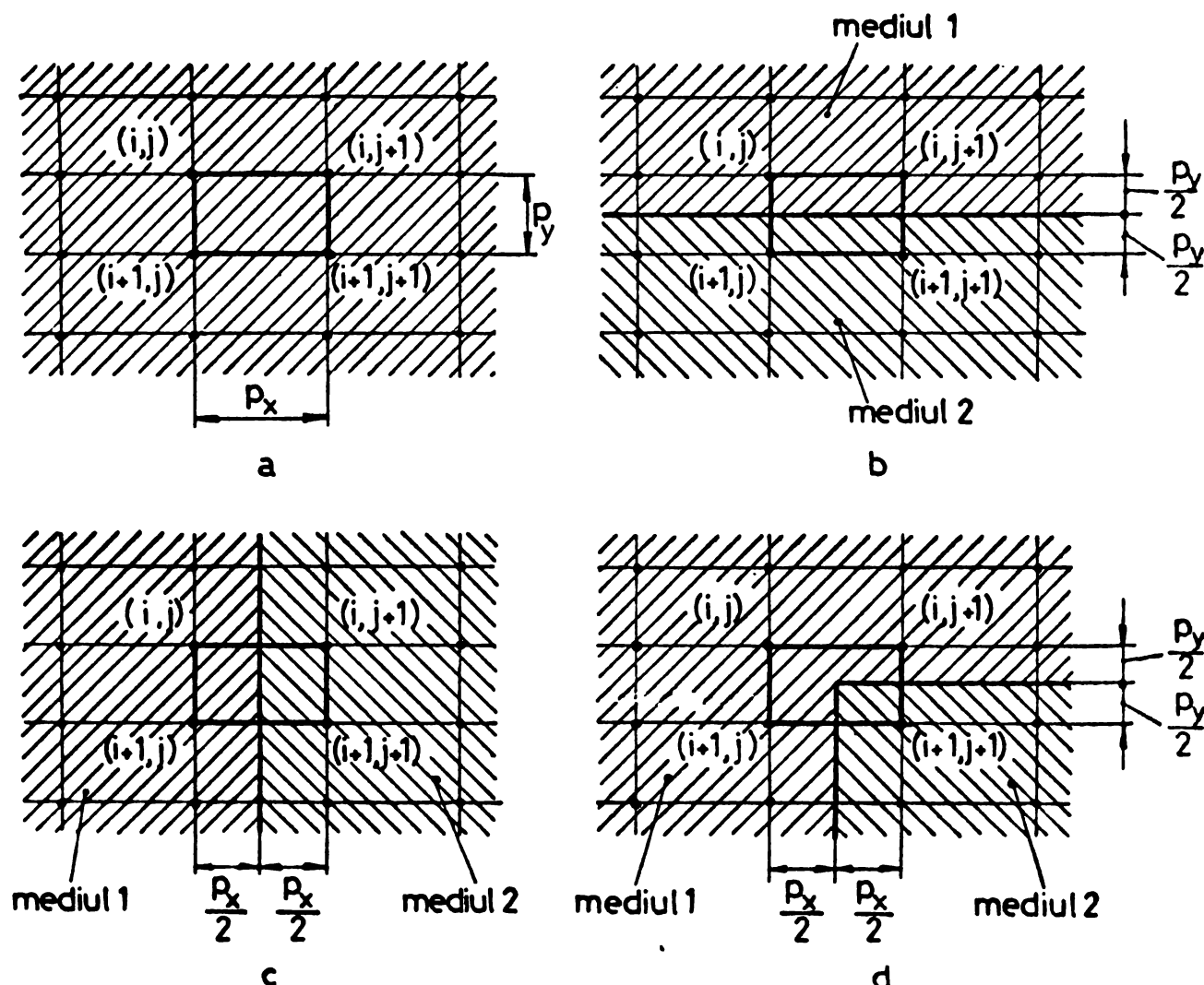


Fig.3.4

frontiera domeniului D, 4 situații de poziție, în ipoteza existenței a două medii omogene cu proprietăți magnetice diferite în interiorul domeniului D. În fig.3.4.a, toate punctele de colț ale elementului sunt situate în același mediu. În fig.3.4.b punctele de colț $(i, j+1)$ și (i, j) sunt situate în mediul 1 iar punctele de colț $(i+1, j)$ și $(i+1, j+1)$ în mediul 2. În fig.3.4.c punctele de colț $(i+1, j)$ și (i, j) sunt situate în mediul 1 iar punctele de colț $(i+1, j+1)$ și $(i, j+1)$ în mediul 2; în sfîrșit, în fig.3.4.d, punctele de colț $(i+1, j)$, $(i, j+1)$ și (i, j) sunt situate în mediul 1 iar punctul de colț $(i+1, j+1)$ în mediul 2. Proprietățile magnetice vor trebui să fie aceleasi în interiorul elementului analizat pe o arie egală cu un multiplu întreg al unui sfert din aria elementului. Concluzia este valabilă și pentru existența în interiorul domeniului D a mai mult de două medii omogene cu proprietăți magnetice diferite.

Pentru un element care are una sau două laturi suprapuse peste frontiera domeniului D (fig.3.5.a, respectiv 3.5.b), toate punctele de colț se vor considera situate în mediul 1 întrucât

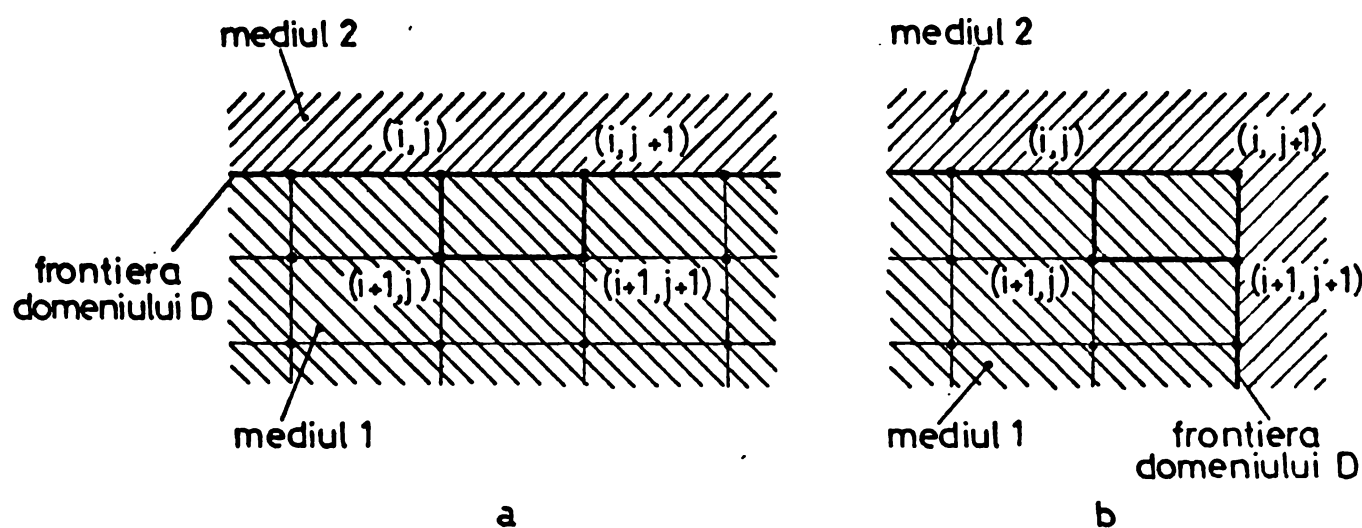


Fig.3.5

baleierea elementelor în cadrul rețelei se face numai în interiorul frontierei domeniului D.

Relațiile (3.64, 3.74) obțin forme particulare pentru noduri ale rețelei de discretizare situate pe porțiuni ale frontierei domeniului D pe care sunt satisfăcute condițiile (3.5) sau (3.6). Pentru un nod oarecare în care

$$H_x = 0, \quad B_x = 0, \quad (3.79)$$

$$T_H = \frac{p_y}{p_x} - \frac{\partial H_y}{\partial B_y} \quad (3.80)$$

și

$$T_B = \frac{p_x}{p_y} - \frac{B_y}{H_y}. \quad (3.81)$$

Dacă

$$H_y = 0, B_y = 0, \quad (3.82)$$

atunci

$$T_H = \frac{p_x}{p_y} - \frac{\partial H_x}{\partial B_x} \quad (3.83)$$

și

$$T_B = \frac{p_y}{p_x} - \frac{\partial B_x}{\partial H_x}. \quad (3.84)$$

In sfîrșit, dacă pe baza condițiilor (3.5, 3.6)

$$H_x = H_y = 0, B_x = B_y = 0, \quad (3.85)$$

atunci

$$T_H = 0 \quad (3.86)$$

și

$$T_B = 0. \quad (3.87)$$

In cazul general mărimele $T_H(I, J)$ și $T_B(I, J)$ vor fi diferite de la un element la altul, motiv pentru care $Z_H(I, J)$ și $Z_B(I, J)$ vor trebui calculate pentru fiecare element la fiecare iterare. Derivatele parțiale care intervin în $T_H(I, J)$ și

$T_B(I, J)$ se vor calcula funcție de valorile cunoscute în momentul considerat al calculului pentru componente H_x , H_y , B_x și B_y în cele 4 puncte de colț ale elementului. Sunt posibile mai multe situații, funcție de mediul în care este plasat punctul de colț și de poziția lui în cadrul domeniului D.

1. Mediu liniar

a/ Nod oarecare în care nu se impune o condiție de forma (3.5, 3.6). Intrucit

$$\frac{\partial H_x}{\partial B_x} = \frac{\partial H_y}{\partial B_y} = \frac{1}{\mu_l}, \quad \frac{\partial B_x}{\partial H_x} = \frac{\partial B_y}{\partial H_y} = \mu_l, \quad (3.88)$$

$$\frac{\partial H_x}{\partial B_y} = \frac{\partial H_y}{\partial B_x} = 0, \quad \frac{\partial B_x}{\partial H_y} = \frac{\partial B_y}{\partial H_x} = 0, \quad (3.89)$$

rezultă

$$T_H = \left(\frac{p_x}{p_y} + \frac{p_y}{p_x} \right) \frac{1}{\mu_l} \quad (3.90)$$

și

$$\tau_B = \left(\frac{p_x}{p_y} + \frac{p_y}{p_x} \right) \mu_l \quad (3.91)$$

b/ Nod oarecare în care se impune o condiție de forma
(3.5, 3.6), astfel încât

$$H_x = 0, \quad B_x = 0. \quad (3.92)$$

Se obține

$$\tau_H = \frac{p_y}{p_x} \frac{1}{\mu_l} \quad (3.93)$$

și

$$\tau_B = \frac{p_x}{p_y} \mu_l \quad (3.94)$$

c/ Nod oarecare în care se impune o condiție de forma
(3.5, 3.6), astfel încât

$$H_y = 0, \quad B_y = 0. \quad (3.95)$$

Se obține

$$\tau_H = \frac{p_x}{p_y} \frac{1}{\mu_l} \quad (3.96)$$

și

$$\tau_B = \frac{p_y}{p_x} \mu_l \quad (3.97)$$

2. Mediu neliniar izotrop

Cele 4 relații (3.64) diferă între ele sub aspectul semnelor din fața termenilor, putând fi grupate cîte două: cele care se referă la nodurile $(i+1, j)$ și $(i, j+1)$ și apoi cele care se referă la nodurile $(i+1, j+1)$ și (i, j) . În același mod se pot grupa și cele 4 relații (3.74).

In general se pot scrie relațiile

$$\left. \begin{aligned} \frac{\partial H_x}{\partial B_x} &= \frac{\partial(B_x/\mu)}{\partial B} \frac{\partial B}{\partial B_x} = \frac{1}{\mu} + \frac{B_x^2}{B} \frac{\partial(1/\mu)}{\partial B} \\ \frac{\partial H_x}{\partial B_y} &= \frac{\partial(B_x/\mu)}{\partial B} \frac{\partial B}{\partial B_y} = \frac{B_x B_y}{B} \frac{\partial(1/\mu)}{\partial B} \\ \frac{\partial H_y}{\partial B_x} &= \frac{\partial(B_y/\mu)}{\partial B} \frac{\partial B}{\partial B_x} = \frac{B_x B_y}{B} \frac{\partial(1/\mu)}{\partial B} \\ \frac{\partial H_y}{\partial B_y} &= \frac{\partial(B_y/\mu)}{\partial B} \frac{\partial B}{\partial B_y} = \frac{1}{\mu} + \frac{B_y^2}{B} \frac{\partial(1/\mu)}{\partial B} \end{aligned} \right\} \quad (3.98)$$

și

$$\left. \begin{aligned} \frac{\partial B_x}{\partial H_x} &= \frac{\partial(\mu H_x)}{\partial H} \frac{\partial H}{\partial H_x} = \mu + \frac{H_x^2}{H} \frac{\partial \mu}{\partial H} \\ \frac{\partial B_x}{\partial H_y} &= \frac{\partial(\mu H_x)}{\partial H} \frac{\partial H}{\partial H_y} = \frac{H_x H_y}{H} \frac{\partial \mu}{\partial H} \\ \frac{\partial B_y}{\partial H_x} &= \frac{\partial(\mu H_y)}{\partial H} \frac{\partial H}{\partial H_x} = \frac{H_x H_y}{H} \frac{\partial \mu}{\partial H} \\ \frac{\partial B_y}{\partial H_y} &= \frac{\partial(\mu H_y)}{\partial H} \frac{\partial H}{\partial H_y} = \mu + \frac{H_y^2}{H} \frac{\partial \mu}{\partial H} \end{aligned} \right\}. \quad (3.99)$$

a/ Nu se impune o condiție de forma (3.5) sau (3.6). Pentru un nod $(i+1, j)$ sau $(i, j+1)$ rezultă, cu considerarea relațiilor (3.98),

$$T_H = \left(\frac{p_x}{p_y} + \frac{p_y}{p_x} \right) \frac{1}{\mu} + \frac{\frac{p_x}{p_y} B_x^2 + \frac{p_y}{p_x} B_y^2 - 2B_x B_y}{B} \frac{\partial(1/\mu)}{\partial B}, \quad (3.100)$$

iar pentru un nod $(i+1, j+1)$ sau (i, j) ,

$$T_H = \left(\frac{p_x}{p_y} + \frac{p_y}{p_x} \right) \frac{1}{\mu} + \frac{\frac{p_x}{p_y} B_x^2 + \frac{p_y}{p_x} B_y^2 + 2B_x B_y}{B} \frac{\partial(1/\mu)}{\partial B}. \quad (3.101)$$

Mai departe, tinând cont de relațiile (3.99), pentru un nod $(i+1, j)$ sau $(i, j+1)$ se obține

$$T_B = \left(\frac{p_x}{p_y} + \frac{p_y}{p_x} \right) \mu + \frac{\frac{p_y}{p_x} H_x^2 + \frac{p_x}{p_y} H_y^2 + 2H_x H_y}{H} \frac{\partial \mu}{\partial H} \quad (3.102)$$

iar pentru un nod $(i+1, j+1)$ sau (i, j) ,

$$T_B = \left(\frac{p_x}{p_y} + \frac{p_y}{p_x} \right) \mu + \frac{\frac{p_y}{p_x} H_x^2 + \frac{p_x}{p_y} H_y^2 - 2H_x H_y}{H} \frac{\partial \mu}{\partial H}. \quad (3.103)$$

b/ Se impune o condiție de formă (3.5, 3.6), astfel încât într-un nod care ocupă una din cele 4 poziții în cadrul elementului,

$$H_x = 0, \quad B_x = 0. \quad (3.104)$$

In acest caz,

$$T_H = \frac{p_y}{p_x} \frac{1}{\mu} + \frac{p_y}{p_x} \frac{B_y^2}{B} \frac{\partial(1/\mu)}{\partial B} \quad (3.105)$$

și

$$\tau_B = \frac{p_x}{p_y} \mu + \frac{p_x}{p_y} \frac{H_y^2}{H} - \frac{\partial \mu}{\partial H}. \quad (3.106)$$

c/ Se impune o condiție de forma (3.5, 3.6), astfel încât într-un nod care ocupă una din cele 4 poziții în cadrul elementului,

$$H_y = 0, \quad B_y = 0. \quad (3.107)$$

In acest caz,

$$\tau_H = \frac{p_x}{p_y} \frac{1}{\mu} + \frac{p_x}{p_y} \frac{B_x^2}{B} - \frac{\partial(1/\mu)}{\partial B} \quad (3.108)$$

și

$$\tau_B = \frac{p_y}{p_x} \mu + \frac{p_y}{p_x} \frac{H_x^2}{H} - \frac{\partial \mu}{\partial H}. \quad (3.109)$$

3.7. Calculul potențialului magnetic vector și trasarea liniilor de cîmp ale inducției magnetice

Analiza cantitativă a cîmpului magnetic din domeniul plan D de existență a lui se poate efectua pe baza valorilor cunoscute ale componentelor H_x și H_y ale intensității cîmpului magnetic și B_x și B_y ale inducției magnetice în nodurile rețelei de discretizare. O imagine calitativă asupra cîmpului magnetic se poate însă ușor forma pe baza liniilor de cîmp ale inducției magnetice, trasate în domeniul D.

Ecuatia liniilor de cîmp ale inducției magnetice este
 $B_x dy - B_y dx = 0, \quad (3.110)$

sau,

$$A_z = \text{constant}, \quad (3.111)$$

unde A_z este valoarea componentei după direcția axei Oz, perpendiculară pe planul xOy al domeniului D (singura nenulă), a potențialului magnetic vector \vec{A} .

Cum relațiile de definiție a potențialului magnetic vector \vec{A} sint (1.4), rezultă în punctele domeniului D

$$\left. \begin{aligned} B_x &= \frac{\partial A_z}{\partial y} \\ B_y &= -\frac{\partial A_z}{\partial x} \end{aligned} \right\} . \quad (3.112)$$

In subcapitolul 3.3 s-a presupus că valorile componentelor lui \bar{B} variază liniar de-a lungul laturilor unui element al rețelei de discretizare din fig.3.1. Având în vedere această ipoteză și trecind la relații cu diferențe finite, se obține

$$\left. \begin{aligned} \frac{B_x(i,j) + B_x(i+1,j)}{2} &= -p_y [A_{zx}(i+1,j) - A_{zx}(i,j)] \\ \frac{B_y(i,j) + B_y(i,j+1)}{2} &= -p_x [A_{zy}(i,j+1) - A_{zy}(i,j)] \end{aligned} \right\}, \quad (3.113)$$

sau,

$$\left. \begin{aligned} A_{zx}(i+1,j) &= A_{zx}(i,j) - \frac{p_y}{2} [B_x(i,j) + B_x(i+1,j)] \\ A_{zy}(i,j+1) &= A_{zy}(i,j) - \frac{p_x}{2} [B_y(i,j) + B_y(i,j+1)] \end{aligned} \right\}. \quad (3.114)$$

Valorilor lui A_z li s-a atașat indicele x sau y, după cum în relații intervine componenta B_x sau B_y a inducției magnetice.

Relațiile (3.114) permit calculul recurrent al valorilor A_{zx} și A_{zy} în toate nodurile rețelei de discretizare. Intrucât calculul cîmpului magnetic se consideră terminat cînd sunt satisfăcute condițiile (3.34, 3.35), este posibil ca valorile A_{zx} și A_{zy} să nu coincidă în același nod; în acest caz se face media valorilor A_{zx} și A_{zy} corespunzătoare aceluiași nod. Într-un nod oarecare (i,j) se va considera deci

$$A_z(i,j) = \frac{1}{2} [A_{zx}(i,j) + A_{zy}(i,j)]. \quad (3.115)$$

Acceptarea ipotezei de variație liniară de-a lungul laturilor unui element al rețelei de discretizare a valorilor componentelor lui \bar{B} implică și variația liniară a valorilor lui A_z de-a lungul laturilor unui element. Această observație este utilă în calculul coordonatelor punctelor de un anumit potențial magnetic vector.

Pe porțiunile din frontieră domeniului D. în care este satisfăcută condiția (3.5), condiție care impune valori nule ale lui \bar{B} în exteriorul frontierei, se consideră

$$A_z = 0. \quad (3.116)$$

Odată calculate valorile potențialului magnetic vector în toate nodurile rețelei de discretizare, se trasează liniile de cîmp ale inducției magnetice ca linii de potențial magnetic vector constant.

3.8. Algoritmul de calcul

Enunțarea problemei calculului cimpului magnetic cvasistacionar plan-paralel cu o metodă de diferențe finite iterativă, extinsă pe rețea rectangulară cu pas neegal și formularea sa matematică au fost rezolvate în cadrul subcapitolelor 3.2 - 3.7. Algoritmul de calcul al metodei, ca etapa următoare în calculul cimpului magnetic, este prezentat mai jos prin intermediul organigramelor. Acestea pun în evidență prin reprezentări grafice succesiunea naturală a etapelor de calcul, operațiile matematice și logice de efectuat în vederea obținerii soluției. În conceperea algoritmului de calcul s-au avut în vedere condițiile pe care trebuie să le îndeplinească: generalitatea, finitudinea, unicitatea și realizabilitatea [29, 59, 60].

Secvențele de calcul căre se repetă de mai multe ori în cadrul iterării pe întreaga rețea de discretizare a ecuațiilor cu diferențe finite sau care în unele cazuri particulare pot fi înlăciute sau chiar pot lipsi au fost concepute sub formă de subroutines; relațiile de calcul care se utilizează de mai multe ori în cadrul unor subroutines au fost utilizate ca funcții externe [30, 77].

În fig.3.6 este prezentată organograma algoritmului de calcul corespunzător metodei cu diferențe finite iterativă, extinsă pe rețea rectangulară cu pas neegal. În cadrul ei se face apel la subroutinele: CMAG, THS, TEST, CALCH, TBS, CALCB și CALCP, ale căror organigrame sunt prezentate în fig.3.7, 3.8, 3.9, 3.10, 3.11, 3.12 și respectiv 3.13. În sfîrșit, în fig.3.14, 3.15, 3.16 și 3.17 sunt desenate organigramele funcțiilor externe HMIU, DHMIU, UIMB și respectiv DUIMB apelate în cadrul subroutinelor.

Notățiile utilizate în organigrame sunt cele folosite anterior, în plus, cu NEX s-a notat numărul de elemente al rețelei de discretizare pe direcția Ox iar cu NEY numărul de elemente pe direcția Oy.

3.9. Exemplu de aplicare a metodei

Metoda numerică de calcul al cimpului magnetic prezentată în acest capitol a fost utilizată pentru calculul cimpului magnetic într-un domeniu plan D dreptunghiular care, prin configurația geometrică a sistemului magnetic și prin repartitia curentilor de conductie acceptă două axe de simetrie rectangulare paralele la

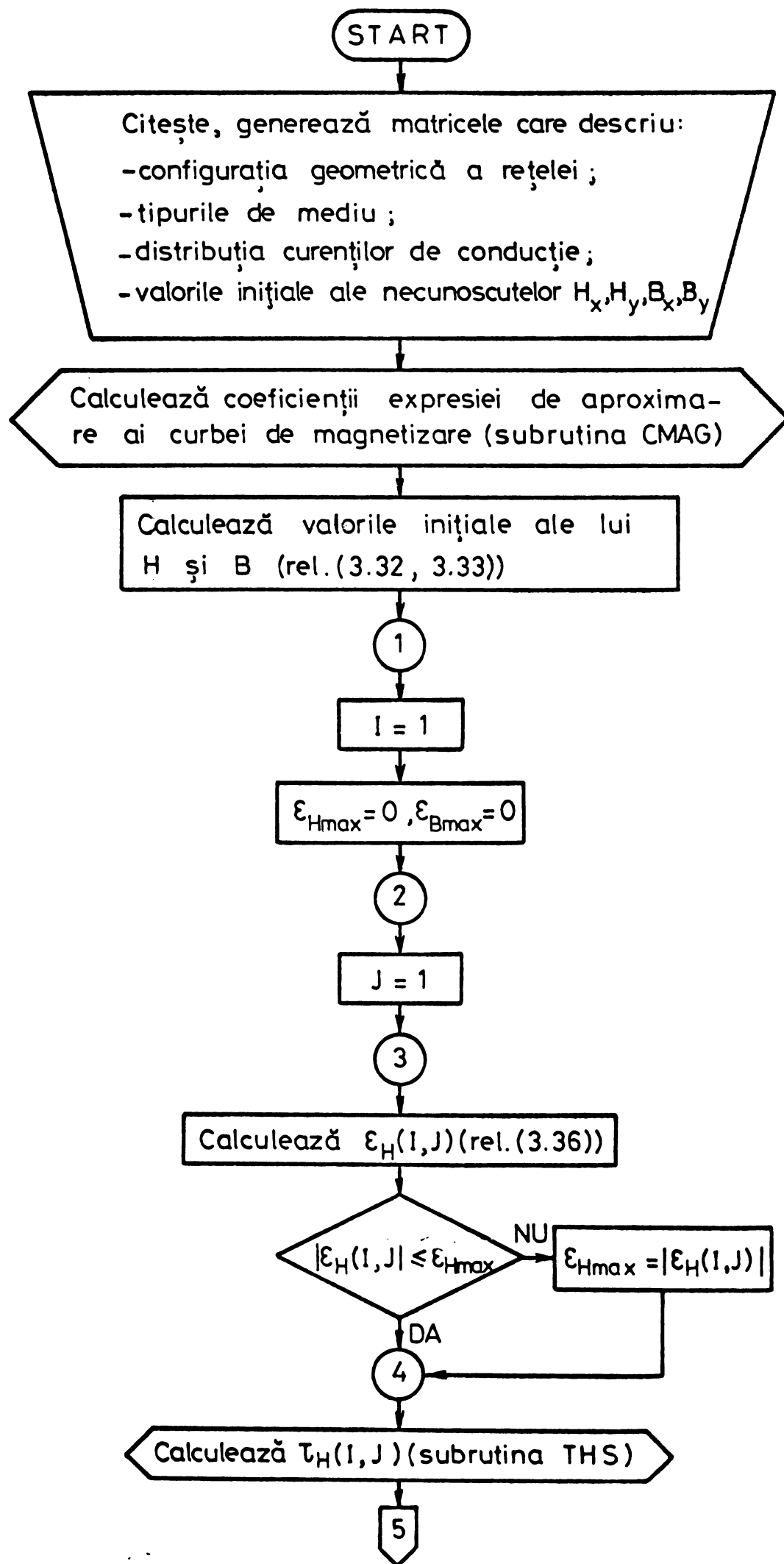


Fig. 3.6

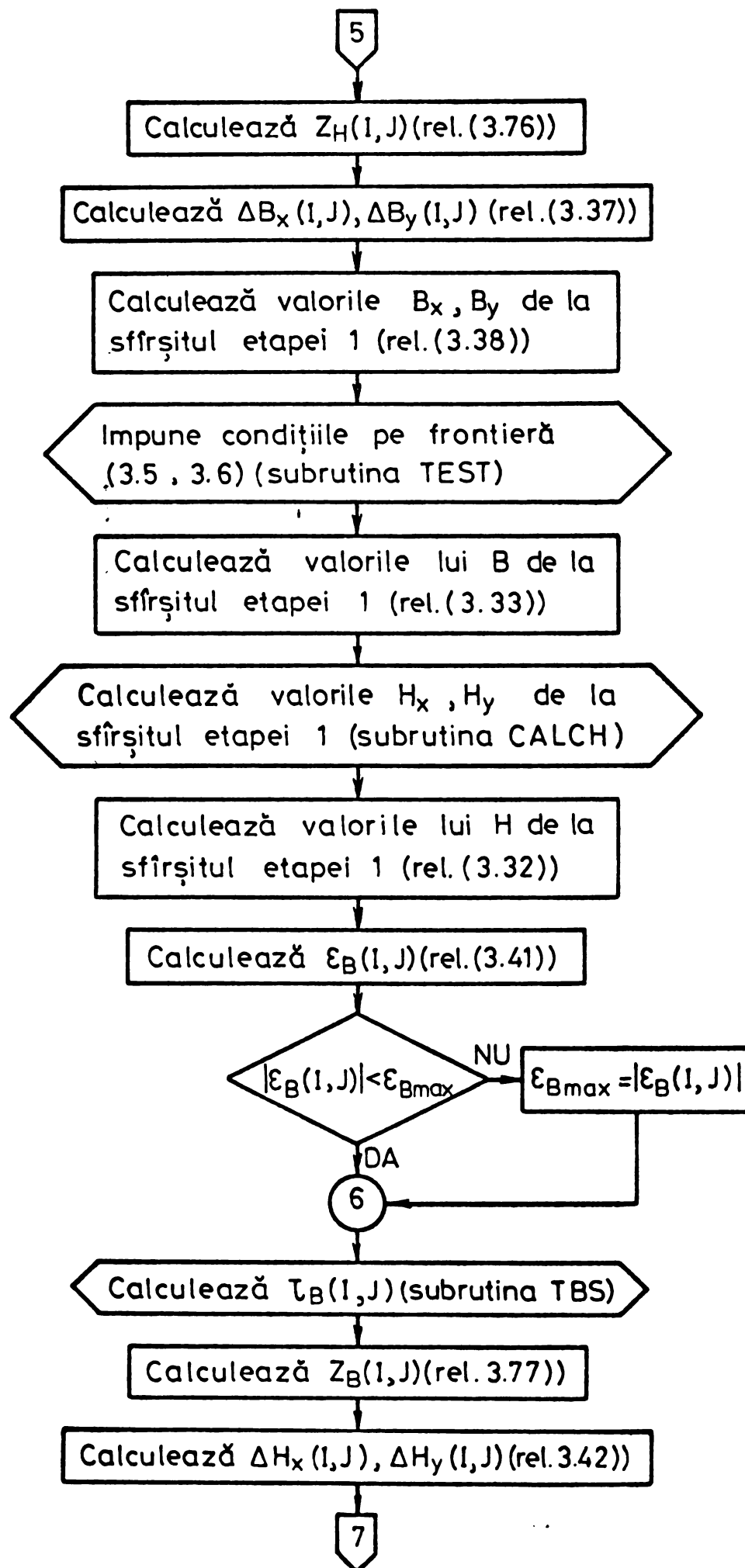


Fig. 3.6.(continuare)

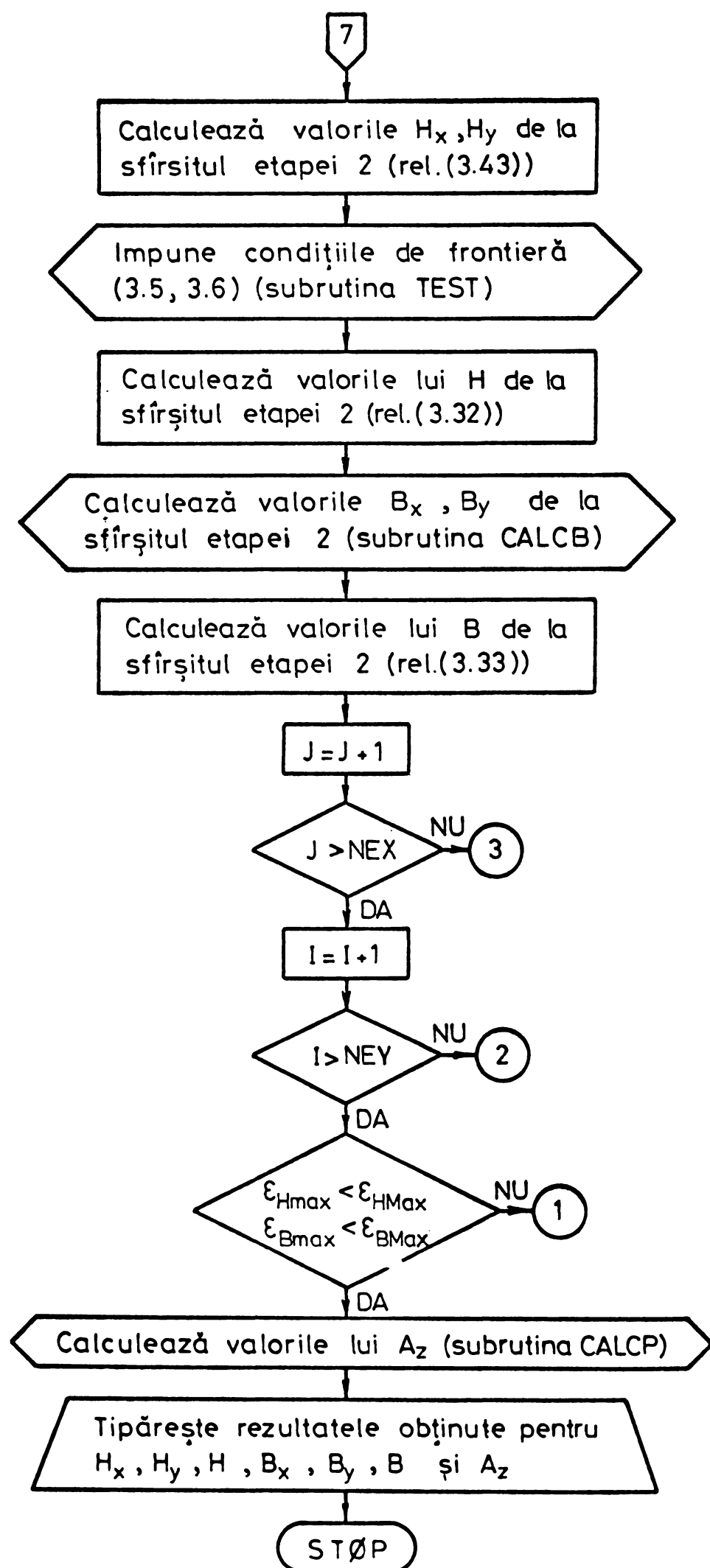


Fig. 3.6. (continuare)

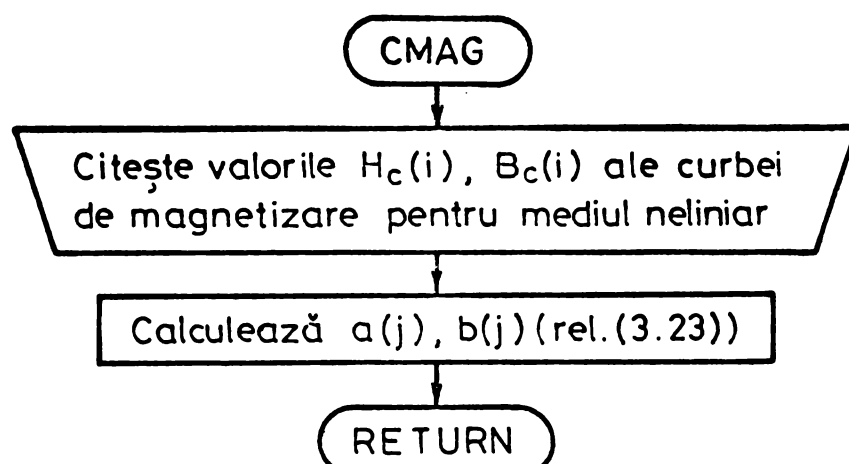


Fig. 3.7

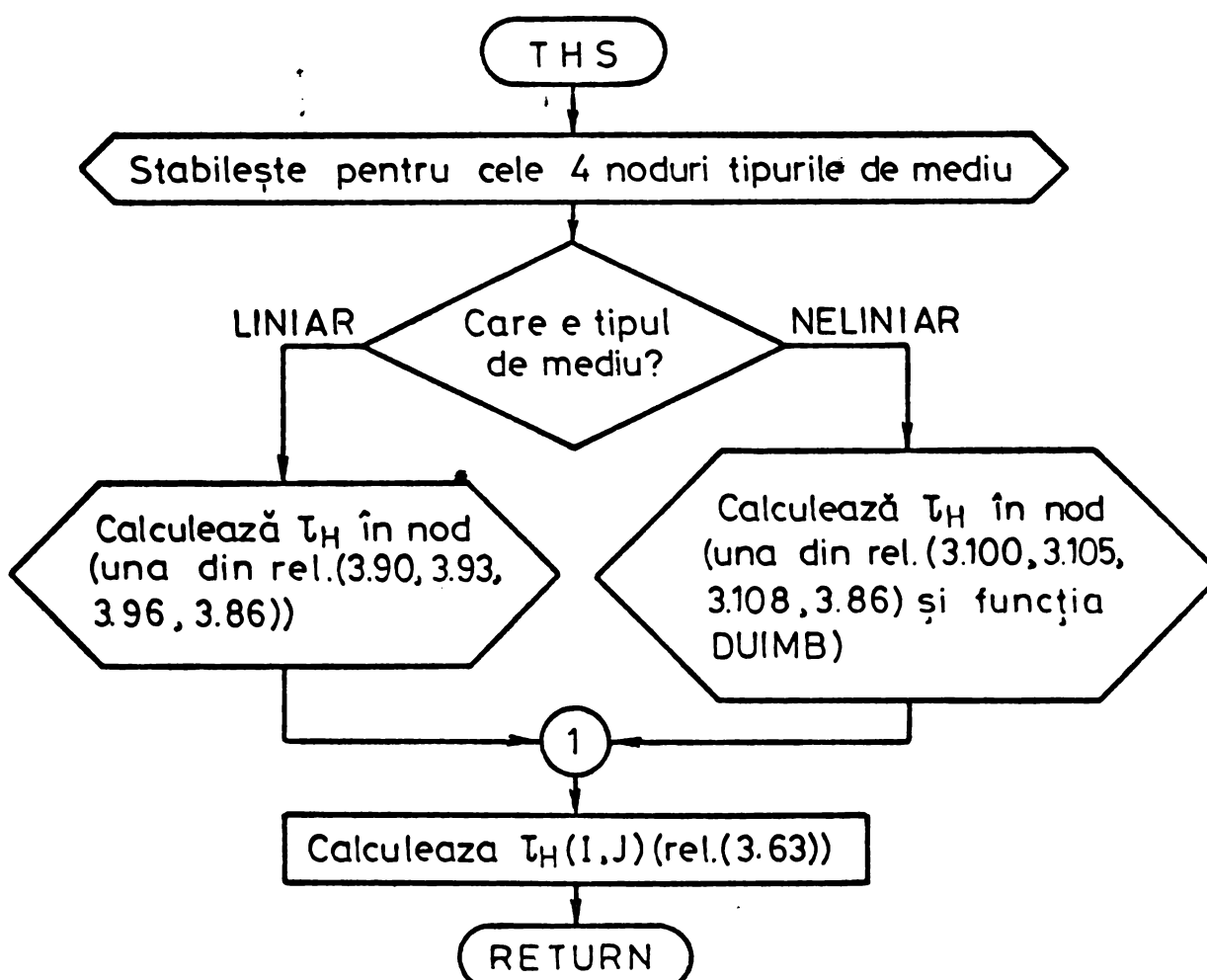


Fig. 3.8

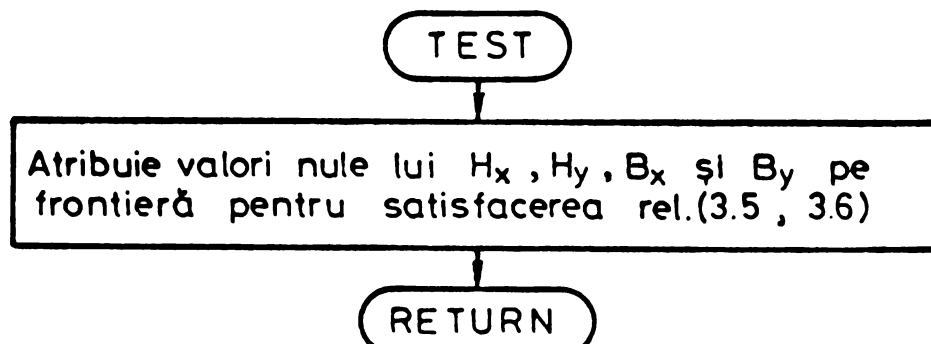


Fig. 3.9

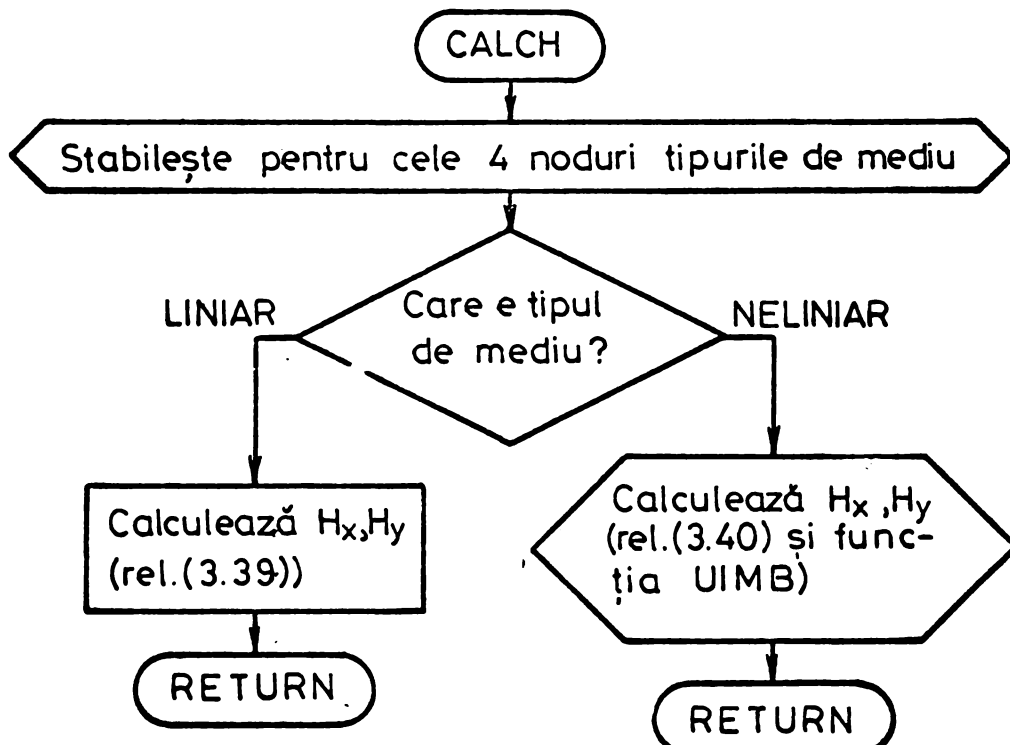


Fig. 3.10

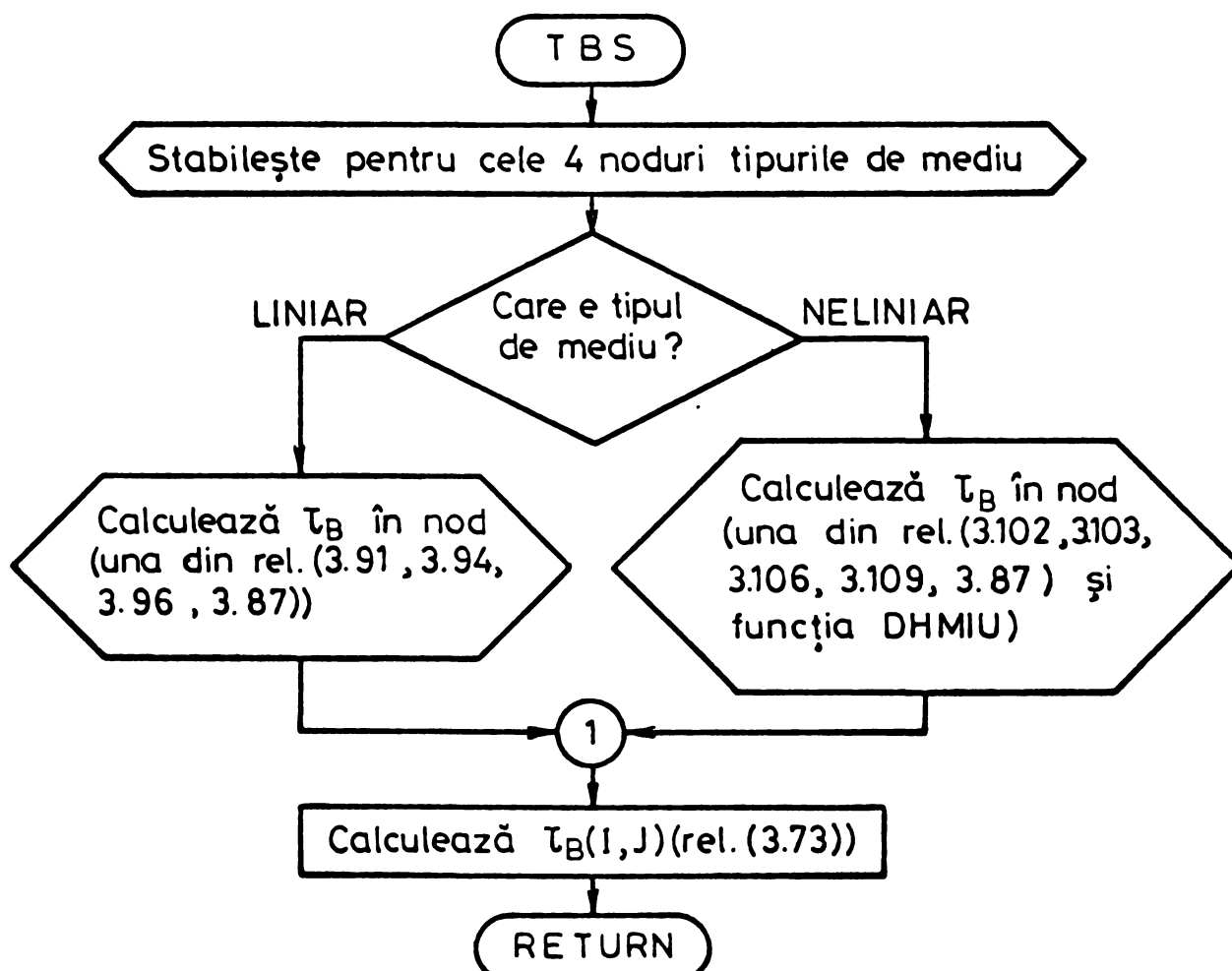


Fig. 3.11

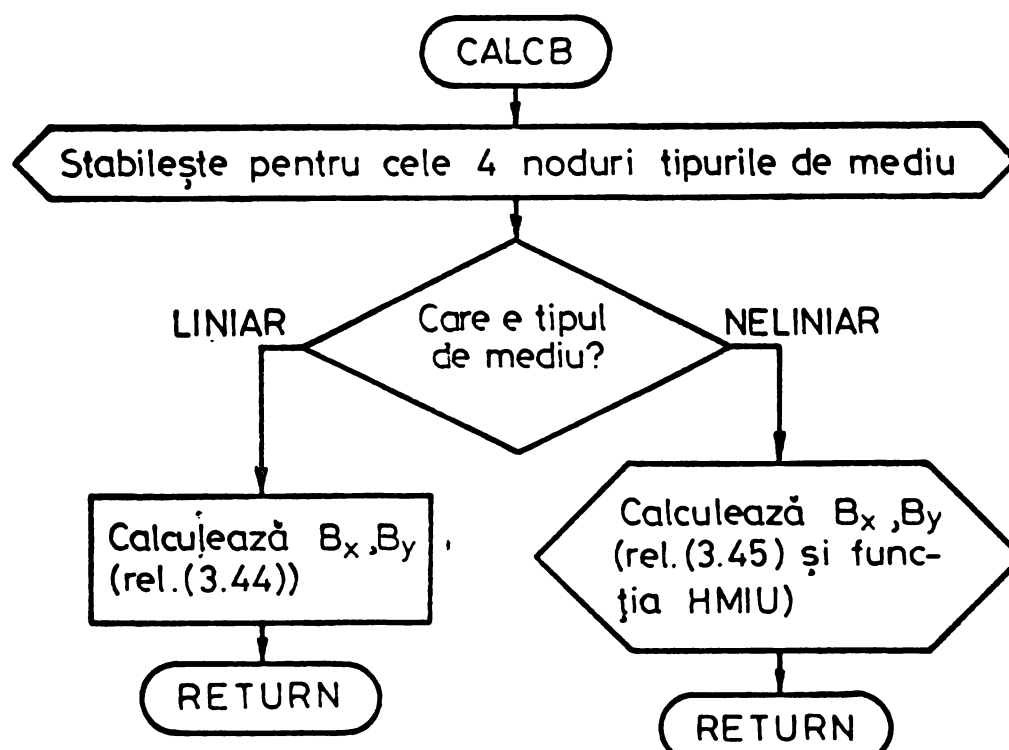


Fig.3.12

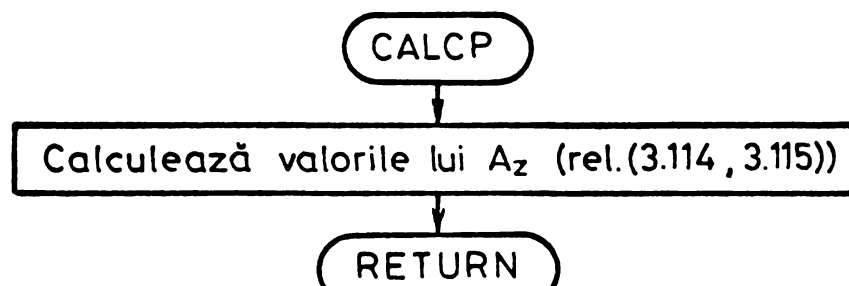


Fig.3.13

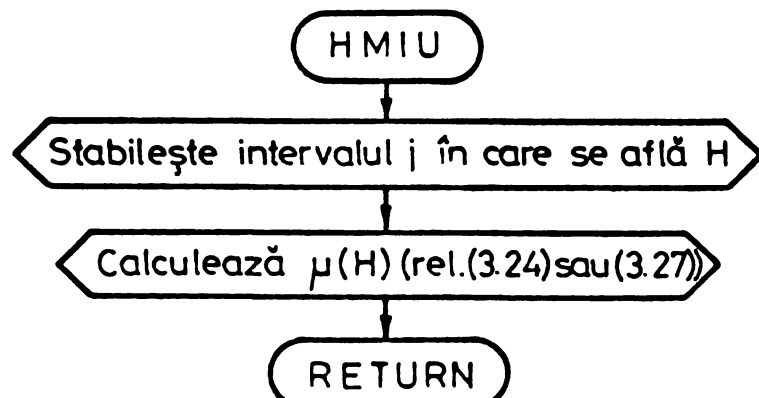


Fig. 3.14

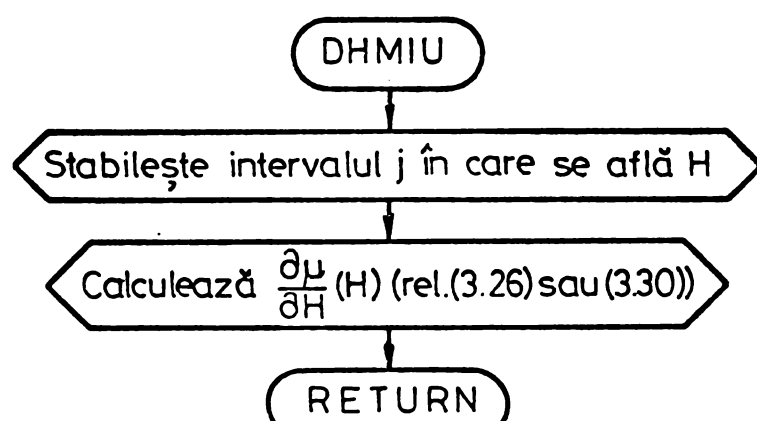


Fig. 3.15

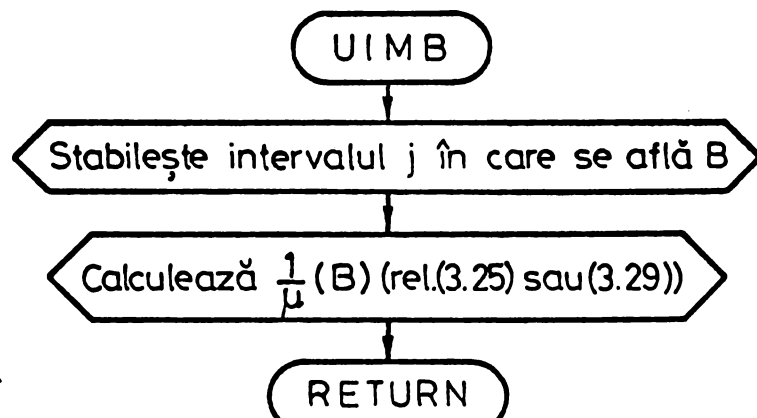


Fig. 3.16

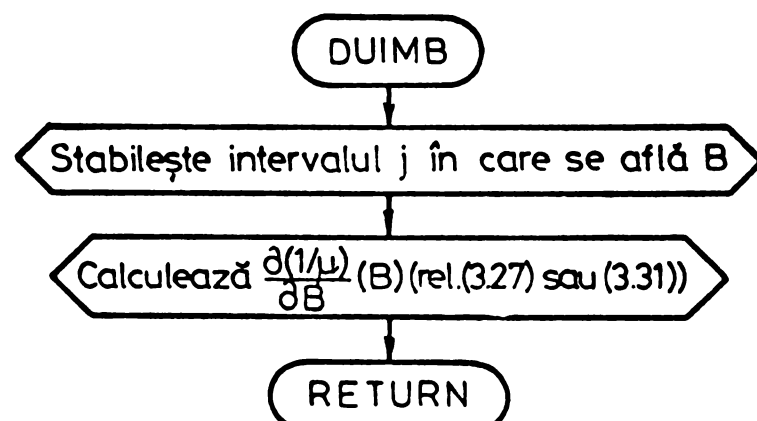


Fig. 3.17

laturile domeniului D. Axele O_x, O_y au fost alese astfel încât să coincidă cu axele de simetrie (fig.3.18). Domeniul plan D reprezintă o secțiune într-un sistem magnetic de lungime (dimensiunea

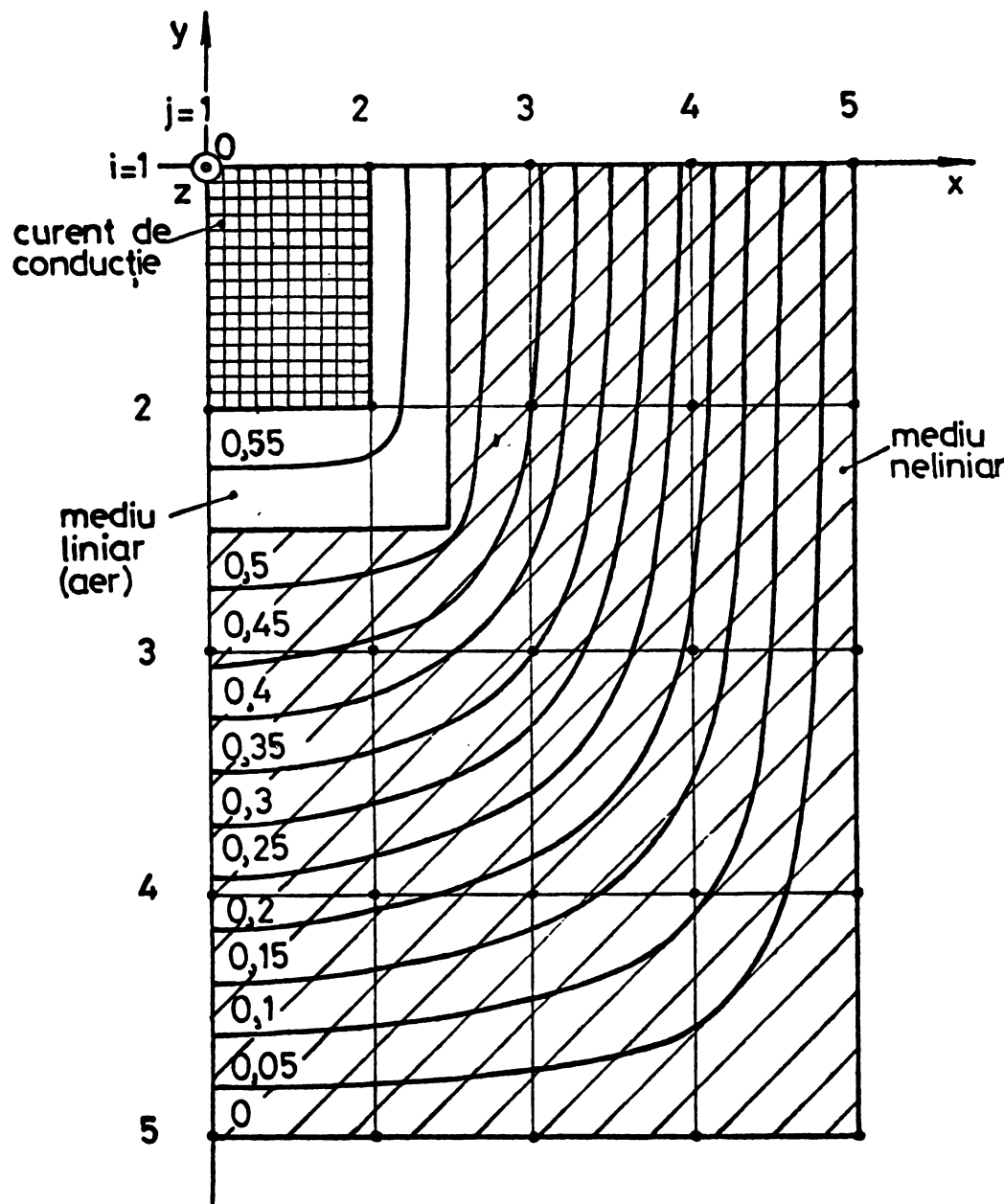


Fig.3.18

de-a lungul axei Oz perpendiculară pe planul xOy) infinită. Configurația a fost discretizată prin trasarea unei rețele rectangulare periodice din drepte paralele la axele O_x, O_y, cu pas neegal după cele două direcții: $p_x = 0,1$ m și $p_y = 0,15$ m. Elementul (1,1) este intersectat de un curent de conductie normal pe suprafața sa cu densitatea $J_c(1,1) = 150000$ A/m², uniform distribuit pe aria elementului.

De-a lungul laturii superioare, care este o axă de simetrie, s-a considerat satisfăcută o condiție de forma (3.6), care în sistemul de axe xOy ales conduce la

$$H_x = 0.$$

(3.117)

De-a lungul laturii din stînga, de asemenea axa de simetrie, condiția (3.6) devine în sistemul de axe xOy

$$H_y = 0.$$

(3.118)

S-a mai considerat că, datorită configurației mediului magnetic neliniar ce formează în domeniul D un circuit închis, cîmpul magnetic nuiese în afara domeniului D, de-a lungul laturilor inferioară și dreapta ce fac parte din frontieră domeniului D fiind deci satisfăcută o condiție de forma (3.5). Pentru latura inferioară înseamnă că

$$B_y = 0$$

(3.119)

iar pentru latura din dreapta,

$$B_x = 0.$$

(3.120)

Curba de magnetizare a mediului neliniar izotrop este caracterizată prin 12 puncte de coordonate $[H_c(i), B_c(i)]$, ($i=1, 2, \dots, 12$) (tabelul 3.1).

Tabelul 3.1

i	1	2	3	4	5	6	7
$H_c(i) [A/m]$	0	50	115	200	385	660	1000
$B_c(i) [T]$	0	0,48	0,89	1,18	1,39	1,55	1,64
$B_{cc}(i) [T]$	0	0,402	0,924	1,084	1,432	1,515	1,618

Tabelul 3.1 (continuare)

8	9	10	11	12
1425	2100	3000	4000	5000
1,72	1,82	1,89	1,96	2,01
1,746	1,806	1,887	1,977	2,066

In tabelul 3.2 sunt date coeficienții $a(j)$ și $b(j)$ ($j=1, 2, 3, 4$) ai aproximării prin 4 segmente de dreaptă pe intervalele $H_c(1) - H_c(3)$, $H_c(3) - H_c(5)$, $H_c(5) - H_c(8)$, $H_c(8) -$, calculați cu relațiile (3.23). Precizia aproximării a fost apreciată prin abaterea relativă medie procentuală

$$\alpha_B = \frac{100}{12} \sum_{i=2}^{12} \frac{|B_{cc}(i) - B_c(i)|}{B_c(i)}, \quad (3.121)$$

egală cu 3,1%. Valorile $B_{cc}(i)$ ce aproximează valorile $B_c(i)$ sunt date și ele în tabelul 3.1.

Tabelul 3.2

j	1	2	3	4
$a(j) \cdot 10^3 [H/m]$	8,035	1,8813	0,319	0,0696
$b(j) [T]$	0	0,7077	1,3157	1,6182

Programul de calcul scris în limbajul FORTRAN IV conform algoritmului din subcapitolul 3.8 este prezentat în anexa A1.

Necunoscutelelor în nodurile rețelei de discretizare H_x , H_y , nenule, li s-au atribuit drept valori initiale valoarea de 5 A/m, diferită de zero, în scopul evitării în faza initială a calculului a depășirii superioare în virgulă mobilă. S-a mai impus $\epsilon_{HMax} = 5A$ și $\epsilon_{BMax} = 0,005 Tm$.

Programul de calcul a fost rulat pe un calculator FILIX C-256. Lungimea programului editat a fost de 37,4 kocetei iar volumul memoriei ocupate, inclusiv tablourile declarate de 38 kocetei.

Soluția problemei de cîmp a fost obținută după 175 de iterații. Coeficientul k_r din relațiile (3.76, 3.77) a fost modificat pe parcursul calculelor ca în fig. 3.19.

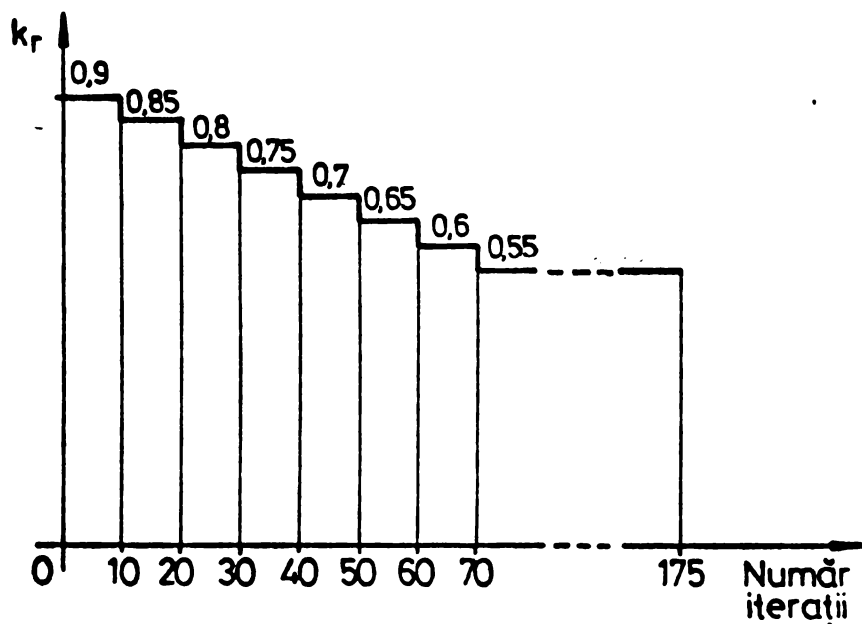


Fig. 3.19

valorile rezultate pentru mărimele H_x , H_y și H în A/m, B_x , B_y și B în T și A_z în Tm în nodurile rețelei de discretizare sunt date în tabelul 3.3.

În fig.3.18 sunt traseate și liniile de cîmp ale inducției magnetice. Parametrul curbelor este valoarea potențialului magnetic vector, în Tm.

TABELUL 3.3

COMPONENTA LUI H DUPA AXA OX IN NODURILE RETELEI				
8629.0	6253.5	6347.5	6745.9	60
506.4	1503.4	1758.8	4715.5	50
948.9	106.7	209.7	161.6	50
663.2	505.6	211.0	80.8	50
COMPONENTA LUI H DUPA AXA OY IN NODURILE RETELEI				
0.0	11802.0	6827.6	8155.4	7957.7
0.0	8226.8	6783.7	8844.1	6716.4
0.0	3355.3	2086.2	3181.2	3267.1
0.0	114.8	92.6	212.6	277.7
0.0	0.0	0.0	0.0	0.0
INTENSITATEA H IN NODURILE RETELEI				
8629.0	10133.1	6827.6	8155.4	7957.7
506.4	1503.3	2728.7	8860.5	6716.4
948.9	485.2	304.9	3176.9	3267.1
663.2	505.6	211.0	80.8	277.7
0.0	0.0	0.0	0.0	0.0
COMPONENTA LUI B DUPA AXA OX IN NODURILE RETELEI				
0.0000	0.0000	0.0000	0.0000	0.0000
1.0100	1.0070	1.1800	1.1546	0.0000
1.4600	1.7142	1.2007	1.2824	0.0000
1.9907	1.3795	1.2196	1.0229	0.0000
1.5166	1.4604	1.1047	1.6492	0.0000
COMPONENTA LUI B DUPA AXA OY IN NODURILE RETELEI				
0.0000	0.148	0.2032	0.1492	2.3315
0.0000	0.192	0.0032	0.2276	2.6202
0.0000	0.3623	1.0252	1.6616	1.9111
0.0000	0.461	0.672	0.9378	1.2300
0.0000	0.0000	0.0000	0.0000	0.0000
INDUCTIA B IN NODURILE RETELEI				
0.0000	0.148	0.2032	0.1492	2.3315
0.0000	0.192	0.0032	0.2276	2.6202
1.4600	1.7393	1.0626	1.9029	1.9111
1.9907	1.4281	1.2799	1.2349	1.2300
1.5166	1.4604	1.1047	1.6492	0.0000
POTENȚIALUL AZ IN NODURILE RETELEI				
0.78	0.78	0.493	0.219	0.000
0.78	0.78	0.682	0.227	0.000
0.78	0.65	0.356	0.160	0.000
0.78	0.814	0.175	0.109	0.000
0.00	0.00	0.000	0.000	0.000

CAPITOLUL 4

ANALIZA UNOR FACTORI DE INFLUENTA A VITEZEI DE CONVERGENȚA A METODEI CU DIFERENȚE FINITE ITERATIVA, EXTINSA PE REȚEA RECTANGULARĂ PERIODICĂ CU PAS NEEGAL

4.1. Introducere

După cum s-a arătat în capitolul 3, convergența metodei numerice cu diferențe finite iterativă, extinsă pe rețea rectangulară periodică cu pas neegal este asigurată pentru o valoare a coeficientului de relaxare k_r , care satisfac relația (3.78). Viteza de convergență a metodei este influențată de mai mulți factori, după cum s-a arătat în subcapitolul 3.6. În cadrul acestui capitol se analizează influența asupra vitezei de convergență, adică asupra numărului de iterării ce trebuie efectuate pînă la satisfacerea relațiilor (3.46, 3.47) a mai multor factori: funcțiile analitice de aproximare a dependentelor neliniare $B(H)$ și/sau $H(B)$, modul de baleiere a elementelor rețelei de discretizare în procesul de explorare ordonată a lor, în vederea iterării necunoscutelor H_x , H_y , B_x și B_y din sistemul de ecuații (3.13 – 3.15, 3.5, 3.6) conform relațiilor (3.36 – 3.45), și valoarea coeficientului de relaxare k_r .

Autorul elaborează trei noi expresii analitice de aproximare a curbei de magnetizare neliniare $B(H)$: funcția spline de ajustare [36] și funcția segmentar polinomială de gradul 2, caracterizate prin netezime și precizie și care asigură în punctele de joncțiune a segmentelor continuitatea unor dependentă derivate din ele și funcția hiperbolică completată cu termen liniar.

Pe baza unor programe de calcul rulate pe calculator se deduce că funcția hiperbolică completată cu termen liniar este cea mai avantajoasă, numărul de iterării necesar obținerii soluției problemei de cîmp reducindu-se cu 11% față de cazul aproximării dependenței neliniare $B(H)$ cu 4 segmente de dreaptă, că baleiera încrucișată a elementelor nu duce la micșorarea numărului de iterării în comparație cu baleiera pe o singură direcție și se stabilește o valoare optimă a coeficientului de relaxare k_r .

4.2. Funcțiile analitice de aproximare a dependențelor nelineare $B(H)$ și/sau $H(B)$

In cadrul metodei cu diferențe finite iterativă, extinsă pe rețea rectangulară periodică cu pas neegal, prezentată în capitolul 3, se utilizează funcțiile $\mu(H)$ și $\frac{\partial \mu}{\partial H}(H)$ derivate din dependenta $B(H)$ și funcțiile $\frac{1}{\mu}(B)$ și $\frac{\partial(1/\mu)}{\partial B}(B)$ derivate din dependenta $H(B)$. Dacă se acceptă aproximarea liniară pe porțiuni a curbei de magnetizare $B(H)$ cu avantajele arătate în subcapitolul 3.4, atunci funcțiile $\frac{\partial \mu}{\partial H}(H)$ și $\frac{\partial(1/\mu)}{\partial B}(B)$ sunt discontinue în punctele de joncțiune a segmentelor de dreaptă, ceea ce poate afecta negativ viteza de convergență și deci timpul de calcul consumat de calculator. In cadrul acestui subcapitol se analizează influența unor funcții analitice de aproximare a dependențelor $B(H)$ și/sau $H(B)$, care asigură continuitatea funcțiilor $\frac{\partial \mu}{\partial H}(H)$ și $\frac{\partial(1/\mu)}{\partial B}(B)$, asupra vitezei de convergență.

4.2.1. Aproximarea cu funcție spline de ajustare

In [8, 57] dependența dintre B și H se aproximează cu o funcție spline cubică. In [57] se prezintă o expresie de aproximare spline cubică $F(B)$ a dependenței $H(B)$, segmentar polinomială, care satisface condițiile

$$F[B_c(i)] = H_c(i), \quad (i=1,2,\dots,n), \quad (4.1)$$

continuă împreună cu primele două derivate în intervalul de aproximare $[B_c(1), B_c(n)]$; $H_c(i)$ și $B_c(i)$ sunt valorile intensității cîmpului magnetic și inducției magnetice determinate experimental. Pentru determinarea coeficienților din expresia $F(B)$ se impun și valorile $F''[B_c(1)]$ și $F''[B_c(n)]$ ale derivatei a doua a lui $F(B)$ la limitele intervalului de aproximare. Pe de altă parte, valorile $H_c(i)$ și $B_c(i)$ se determină prin măsurători experimentale, fiind deci potențial afectate de erori [12, 73, 85].

Si în cadrul altor metode numerice de calcul al cîmpului magnetic se utilizează unele dependențe derivate din curba de magnetizare, ca $\frac{\partial(1/\mu)}{\partial B^2}(B^2)$ în [25, 42, 67]. In [42] se aproximează dependența $\frac{1}{\mu}(B^2)$ cu două segmente de dreaptă la valori mici și mari ale inducției magnetice și cu două exponențiale și un polinom de gradul 4 la valori medii ale inducției magnetice,

asigurîndu-se continuitatea funcției $\frac{\partial(1/\mu)}{\partial B^2}(B^2)$ în punctele de joncțiune. Utilizarea unor expresii analitice diferite pe diferențele porțiuni este însă incomodă în realizarea programului de calcul [25, 55, 59]. În [67] se aproximează dependența $\frac{1}{\mu}(B^2)$ cu o funcție spline cubică, segmentar polinomială, ce asigură și ea continuitatea funcției $\frac{\partial(1/\mu)}{\partial B^2}(B^2)$ în punctele de joncțiune a segmentelor. Pentru determinarea coeficientilor din funcția spline cubică de aproximare trebuie precizate valorile lui $1/\mu$ și a primei derivate a lui $1/\mu$ la limitele intervalului de aproximare; aceste valori nu se pot însă determina experimental în mod direct. În plus, apare și aici un aspect sesizat în legătură cu aproximarea utilizată în [57], și anume că punctele prin care se impune să treacă funcția de aproximare a dependenței $\frac{1}{\mu}(B^2)$ prezintă coordonate ce rezultă prin măsurători experimentale, fiind deci și ele potențial afectate de erori.

Avînd în vedere cele de mai sus, se apreciază că este mai rațional să se aproximeze curbele de magnetizare $B(H)$ și/sau $H(B)$ prin funcții spline de ajustare, care, fără a lua în punctele $H_c(i)$ valorile $B_c(i)$ sau în punctele $B_c(i)$ valorile $H_c(i)$, să se abată într-un anumit sens cel mai puțin de la aceste valori. Acestor funcții li se pot impune și condiții legate de netezimea lor. Pentru determinarea coeficientilor din expresiile de aproximare spline de ajustare sunt necesare doar valorile $H_c(i)$ și $B_c(i)$ ($i=1,2,\dots,n$), ce caracterizează dependența neliniară dintre B și H .

Expresia analitică propusă de autor în [36] pentru aproximarea curbei de magnetizare $B(H)$ a unui mediu neliniar izotrop, bazată pe [56], este

$$F_1(H) = \sum_{j=0}^1 a_j H^j + \sum_{i=1}^n b_i [H - H_c(i)]_+^3, \quad (4.2)$$

$F_1(H)$ fiind o funcție spline de ajustare de grad 3 cu $n \geq 2$ și cu termenul general din a doua sumă nenul numai pentru $H > H_c(i)$; n este numărul de puncte de coordonate $[H_c(i), B_c(i)]$ al curbei de magnetizare ridicată experimental. Modul de determinare a coeficientilor reali a_j și b_j din (4.2) va fi indicat în cele ce urmează.

Fie $S_3(\Delta)$ mulțimea funcțiilor spline naturale de grad 3 cu nodurile $H_c(1) < H_c(2) < \dots < H_c(n)$, cu Δ fiind notată mulți-

mea valorilor $H_c(i)$. Pentru o funcție $G \in S_3(\Delta)$ care are derivația de ordinul 1 absolut continuă pe intervalul $[H_c(1), H_c(n)]$ și derivata de ordinul 2 de patrat sumabil în același interval, se poate aprecia netezimea prin gradul de netezime

$$\eta(G) = \int_{H_c(1)}^{H_c(n)} [G''(H)]^2 dH, \quad (4.3)$$

iar ajustarea valorilor $B_c(i)$ prin gradul de ajustare

$$\sigma(G) = \sum_{i=1}^n \{G[H_c(i)] - B_c(i)\}^2. \quad (4.4)$$

Funcția spline de ajustare $F_1(H)$ este funcția spline naturală din $S_3(\Delta)$ care minimizează funcționala $\eta(G) + \varrho_1 \sigma(G)$, realizând deci un compromis între netezime și ajustare; coeficiențul $\varrho_1 > 0$ stabilește importanța relativă care se acordă netezimii și ajustării. Funcția spline de ajustare $F_1(H)$ este deci soluția problemei de minim

$$\eta(F_1) + \varrho_1 \sigma(F_1) = \inf \{ \eta(G) + \varrho_1 \sigma(G) \}. \quad (4.5)$$

Intrucit $F_1 \in S_3(\Delta)$, coeficienții reali b_1 satisfac condițiile liniare

$$\sum_{i=1}^n b_1 H_c^k(i) = 0, \quad (k=0,1). \quad (4.6)$$

Relația (4.5) este satisfăcută dacă

$$F_1[H_c(i)] + \frac{b_1}{\varrho_1} = B_c(i), \quad (i=1,2,\dots,n). \quad (4.7)$$

Relațiile (4.6, 4.7) formează un sistem liniar de $n+2$ ecuații din care se pot determina cei $n+2$ coeficienți reali din (4.2).

Expresia analitică (4.2) propusă pentru aproximarea curbei de magnetizare $B(H)$ este segmentar polinomială, segmentele de polinoame de gradul 3 racordindu-se în punctele de abscise $H_c(i)$ împreună cu primele două derivate ale segmentelor de polinoame.

In mod cu totul asemănător se poate aproxima curba de magnetizare $H(B)$ printr-o funcție spline de ajustare $F_2(B)$, similară funcției $F_1(H)$,

$$F_2(B) = \sum_{j=0}^1 c_j B^j + \sum_{i=1}^n d_i [B - B_c(i)]_+^3, \quad (4.8)$$

cu $n \geq 2$; termenul general din a doua sumă este nul numai pentru $B > B_c(i)$. Cei $n+2$ coeficienți reali din (4.8) se determină prin rezolvarea sistemului liniar format din ecuațiile

$$\sum_{i=1}^n d_i B_c^k(i) = 0, \quad (k=0,1), \quad (4.9)$$

$$F_2[B_c(i)] + \frac{d_i}{\varrho_2} = H_c(i), \quad (i=1,2,\dots,n). \quad (4.10)$$

Coefficientul $\varrho_2 > 0$ stabilește importanța relativă care se acordă netezimii și ajustării.

In continuare se prezintă relațiile de calcul ale funcțiilor $\mu(H)$, $\frac{\partial \mu}{\partial H}(H)$, $\frac{1}{\mu}(B)$ și $\frac{\partial(1/\mu)}{\partial B}(B)$. Din relația (4.2) rezultă

$$\mu(H) = \frac{F_1(H)}{H} = \sum_{j=0}^1 a_j H^{j-1} + \sum_{i=1}^n b_i \frac{[H - H_c(i)]_+^3}{H}, \quad (4.11)$$

și apoi

$$\begin{aligned} \frac{\partial \mu}{\partial H}(H) = & \sum_{j=0}^1 (j-1) a_j H^{j-2} + \\ & + \sum_{i=1}^n b_i \frac{[H - H_c(i)]_+^2}{H} \left\{ 3 - \frac{[H - H_c(i)]_+}{H} \right\}. \end{aligned} \quad (4.12)$$

De asemenea, din (4.8) rezultă

$$\frac{1}{\mu}(B) = \frac{F_2(B)}{B} = \sum_{j=0}^1 c_j B^{j-1} + \sum_{i=1}^n d_i \frac{[B - B_c(i)]_+^3}{B}, \quad (4.13)$$

și în continuare

$$\begin{aligned} \frac{\partial(1/\mu)}{\partial B}(B) = & \sum_{j=0}^1 (j-1) c_j B^{j-2} + \\ & + \sum_{i=1}^n d_i \frac{[B - B_c(i)]_+^2}{B} \left\{ 3 - \frac{[B - B_c(i)]_+}{B} \right\}. \end{aligned} \quad (4.14)$$

Funcțiile descrise de relațiile (4.11, 4.12) sunt continue în punctele de joncțiune de abscise $H_c(i)$, ca și funcțiile des-

crie de relațiile (4.13, 4.14) în punctele de joncțiune de abscoisse $B_c(i)$.

Datorită caracterului lor polinomial, funcțiile descrise de relațiile (4.11 - 4.14) prezintă din punct de vedere aplicativ avantajul de a permite finalizarea calculelor în condițiile programării simple a algoritmilor în cadrul unor subprograme de tip funcție externă.

Expresiile de aproximare (4.2, 4.8) propuse au fost utilizate pentru curba de magnetizare caracterizată prin valorile $H_c(i)$, $B_c(i)$, ($i=1,2,\dots,12$) din tabelul 3.1. În rezolvarea sistemului format din relațiile (4.6, 4.7) s-a considerat $\varrho_1=5 \cdot 10^{-4}$ iar în rezolvarea sistemului format din relațiile (4.9, 4.10), $\varrho_2=5 \cdot 10^{-4}$, rezultând coeficienții a_j și b_j din tabelul 4.1, respectiv c_j și d_j din tabelul 4.2.

Tabelul 4.1

$a_0 = 4,986 \cdot 10^{-4} T$	
$a_1 = 1,020 \cdot 10^{-3} H/m$	
i	$b_i [Tm/A]$
1	$-2,493 \cdot 10^{-7}$
2	$3,492 \cdot 10^{-7}$
3	$-6,496 \cdot 10^{-8}$
4	$-1,110 \cdot 10^{-8}$
5	$-2,106 \cdot 10^{-8}$
6	$2,690 \cdot 10^{-9}$
7	$-1,003 \cdot 10^{-9}$
8	$6,192 \cdot 10^{-11}$
9	$2,923 \cdot 10^{-11}$
10	$-3,807 \cdot 10^{-11}$
11	$2,888 \cdot 10^{-11}$
12	$-1,318 \cdot 10^{-11}$

Tabelul 4.2

$c_0 = -1,507 \cdot 10^{-3} A/m$	
$c_1 = 8,733 \cdot 10^1 m/H$	
i	$d_i [A/mT^3]$
1	$7,535 \cdot 10^1$
2	$-2,277 \cdot 10^2$
3	$2,104 \cdot 10^3$
4	$-3,310 \cdot 10^3$
5	$2,099 \cdot 10^4$
6	$-1,727 \cdot 10^4$
7	$-6,036 \cdot 10^4$
8	$2,420 \cdot 10^5$
9	$-4,606 \cdot 10^5$
10	$6,029 \cdot 10^5$
11	$-7,433 \cdot 10^5$
12	$4,170 \cdot 10^5$

În tabelul 4.3 sunt prezentate valorile calculate $F_1[H_c(i)]$ și $F_2[B_c(i)]$. Precizia celor două aproximări a fost apreciată prin abaterea relativă medie procentuală, calculată pentru funcția $F_1(H)$ cu relația

$$\alpha_B = \frac{100}{12} \sum_{i=2}^{12} \frac{|F_1[H_c(i)] - B_c(i)|}{B_c(i)} \quad (4.15)$$

iar pentru funcția $F_2(B)$ cu relația

$$\alpha_H = \frac{100}{12} \sum_{i=2}^{12} \frac{|F_2[B_c(i)] - H_c(i)|}{H_c(i)}, \quad (4.16)$$

egale ambele cu 0,22%.

Tabelul 4.3

i	1	2	3	4	5	6	7
$F_1[H_c(i)] [T]$	0	0,479	0,89	1,182	1,39	1,55	1,641
$F_2[B_c(i)] [A/m]$	0	50,2	115,1	200,1	384,5	660,3	1001,1

Tabelul 4.3 (continuare)

8	9	10	11	12
1,72	1,822	1,904	1,971	1,995
1420	2109,1	2987,9	4014,9	4991,7

Pentru verificarea influenței aproximării dependentelor $B(H)$ și $H(B)$ cu funcțiile spline de ajustare $F_1(H)$ și $F_2(B)$ de mai sus asupra vitezei de convergență s-a reluat exemplul de aplicare a metodei numerice cu diferențe finite iterativă din subcapitolul 3.9, toate condițiile, cu excepția aproximării, fiind aceleași ca în subcapitolul 3.9. După parcurgerea procesului transitoriu datorat variației coeficientului de relaxare k_r de-a lungul primelor 70 de iterării, s-a constatat că procesul de calcul nu este convergent deoarece mărimele $\epsilon_{H_{max}}$ și $\epsilon_{B_{max}}$ s-au stabilizat la valori constante.

Din analiza funcțiilor $F_1(H)$ și $F_2(B)$ corespunzătoare aceleiași curbe de magnetizare se observă că ele nu coincid. Observația poate rămâne valabilă și dacă se măresc coeficienții q_1 și q_2 în detrimentul netezimii aproximărilor. Utilizarea a două expresii $F_1(H)$ și $F_2(B)$, diferite, face să nu fie îndeplinite condițiile de unicitate a rezolvării problemei de cimp arătate în capitolul 1. Se poate approxima, de exemplu, numai dependența $B(H)$ printr-o funcție spline de ajustare $F(H)$, dar în această situație nu se poate determina printr-o simplă relație H atunci

cind se cunoaste $F(H)$, adica valoarea B aproximata. Acest lucru este necesar in cadrul etapei 2 a fiecarei iterari pentru fiecare nod plasat in mediu neliniar, in scopul determinarii maramilor $\mu(H)$ si $\frac{\partial \mu}{\partial H}(H)$ din relatiile (3.45, 3.102, 3.103, 3.106, 3.109). Determinarea valorii lui H cind se cunoaste valoarea lui B este posibila prin utilizarea sub forma de subprogram a unei metode numerice carecara de rezolvare a unei ecuatii de gradul 3 [29, 55, 77]. Numarul foarte mare de apelari al unui asemenea subprogram duce la cresterea exagerata a timpului de calcul consumat de calculator, ceea ce poate fi inacceptabil.

4.2.2. Aproximarea cu functie segmentar polinomiala de gradul 2

Gradul cel mai mic al polinoamelor segmentare care constui o functie spline de ajustare este 3. Gradul polinoamelor segmentare poate fi redus la 2, daca se accepta o functie pentru a proximarea curbei de magnetizare $B(H)$ de forma

$$F(H) = a_0 H + \sum_{i=1}^{n-1} a_i [H - H_c(i)]^2_+, \quad (4.17)$$

cu $n \geq 2$; n este numarul de perechi de valori $H_c(i)$, $B_c(i)$ determinate experimental ce caracterizeaza curba de magnetizare $B(H)$, iar termenul general din sumă este nenul numai pentru $H > H_c(i)$. Cei n coeficienti reali a_0 , a_i ($i=1, 2, \dots, n-1$) din (4.17) se pot determina in modul descris in continuare.

Functia $F(H)$ are derivata de ordinul 1 absolut continua in intervalul $[H_c(1), H_c(n)]$ si derivata de ordinul 2 de patrat sumabil in același interval. Precizia de aproximare a valorilor $B_c(i)$ de catre $F[H_c(i)]$ poate fi apreciată prin gradul de ajustare $G(F)$, definit ca suma a abaterilor relative patratice, prin relatiile [3, 76]

$$G(F) = \sum_{i=2}^n \left\{ \frac{F[H_c(i)] - B_c(i)}{B_c(i)} \right\}^2, \quad (4.18)$$

iar netezimea functiei $F(H)$ prin gradul de netezime

$$\gamma(F) = \int_{H_c(1)}^{H_c(n)} [F''(H)]^2 dH. \quad (4.19)$$

Coefficienții a_0 și a_i vor fi determinați din condiția de minim a funcționalei $\tilde{G}(F) + \varrho\gamma(F)$, unde $\varrho > 0$ este un coeficient de pondere.

Prin anularea derivatei parțiale a funcționalei $\tilde{G}(F) + \varrho\gamma(F)$ în raport cu coeficientul a_0 rezultă relația

$$\begin{aligned} a_0 \sum_{k=2}^n \frac{H_c^2(k)}{B_c^2(k)} + \sum_{j=1}^{n-1} a_j \sum_{k=j+1}^n \frac{H_c(k)[H_c(k)-H_c(j)]^2}{B_c^2(k)} = \\ = \sum_{k=2}^n \frac{H_c(k)}{B_c(k)}, \end{aligned} \quad (4.20)$$

iar prin anularea derivatelor parțiale ale funcționalei $\tilde{G}(F) + \varrho\gamma(F)$ în raport cu coeficienții a_i rezultă relațiile

$$\begin{aligned} a_0 \sum_{k=i+1}^n \frac{H_c(k)[H_c(k)-H_c(i)]^2}{B_c^2(k)} + \\ + \sum_{j=1}^i a_j \left\{ \sum_{k=i+1}^n \frac{[H_c(k)-H_c(i)]^2 [H_c(k)-H_c(j)]^2}{B_c^2(k)} + 4\varrho[H_c(n)-H_c(i)] \right\} + \\ + \sum_{j=i+1}^{n-1} a_j \left\{ \sum_{k=j+1}^n \frac{[H_c(k)-H_c(i)]^2 [H_c(k)-H_c(j)]^2}{B_c^2(k)} + 4\varrho[H_c(n)-H_c(j)] \right\} = \\ = \sum_{k=i+1}^n \frac{[H_c(k)-H_c(i)]^2}{B_c(k)}, \quad (i=1, 2, \dots, n-1). \end{aligned} \quad (4.21)$$

Relațiile (4.20, 4.21) formează un sistem de n ecuații liniare din care se pot determina cele n coeficienți reali din (4.17).

Expresia analitică (4.17) de aproximare a curbei de magnetizare $B(H)$ este segmentar polinomială, segmentele de polinoame de gradul 2 racordindu-se în punctele de abscise $H_c(i)$ împreună cu primele derive ale segmentelor de polinoame.

In continuare se prezintă relațiile de calcul ale funcțiilor $\mu(H)$, $\frac{\partial\mu}{\partial H}(H)$, $\frac{1}{\mu}(B)$ și $\frac{\partial(1/\mu)}{\partial B}(B)$. Din relația (4.17) rezultă

$$\mu(H) = \frac{F(H)}{H} = a_0 + \sum_{i=1}^{n-1} \frac{a_i [H - H_c(i)]^2}{H} + \quad (4.22)$$

și deoî

$$\frac{\partial \mu}{\partial H}(H) = \sum_{i=1}^{n-1} \frac{a_i [H - H_c(i)] + \{2H - [H - H_c(i)]_+\}}{H^2}. \quad (4.23)$$

Pentru deducerea relațiilor de calcul ale funcțiilor $\frac{1}{\mu}(B)$ și $\frac{\partial(1/\mu)}{\partial B}(B)$, se stabilește întâi intervalul în care este conținut B. Fie

$$F[H_c(k)] < B \leq F[H_c(k+1)], \quad (k \in [1, n-1]). \quad (4.24)$$

Deci

$$B = a_0 H + \sum_{i=1}^k a_i [H - H_c(i)]^2. \quad (4.25)$$

Relația (4.25) este o ecuație de gradul 2 în H, care se poate scrie sub forma

$$H^2 \sum_{i=1}^k a_i + H \left[a_0 - 2 \sum_{i=1}^k a_i H_c(i) \right] + \sum_{i=1}^k a_i H_c^2(i) - B = 0, \quad (4.26)$$

dе unde

$$H = \frac{-b \pm \sqrt{4ac}}{2a}, \quad (4.27)$$

cu

$$\left. \begin{aligned} a &= \sum_{i=1}^k a_i \\ b &= a_0 - 2 \sum_{i=1}^k a_i H_c(i) \\ c &= \sum_{i=1}^k a_i H_c^2(i) - B \end{aligned} \right\}. \quad (4.28)$$

Fiind determinată valoarea lui H corespunzătoare lui B, se poate scrie

$$\frac{1}{\mu}(B) = \frac{1}{\mu(H)}. \quad (4.29)$$

Având în vedere că

$$\frac{\partial(\frac{1}{\mu})}{\partial B}(B) = \frac{\partial[\frac{1}{F(H)}]}{\partial[F(H)]} = \frac{1}{F(H)F'(H)} - \frac{H}{F^2(H)}, \quad (4.30)$$

rezultă

$$\frac{\delta(\frac{1}{\mu})}{\delta B}(B) = \frac{1}{B} \left\{ \frac{1}{k} - \frac{H}{B} \right\}, \quad (4.31)$$

$$a_0 + 2 \sum_{i=1}^k [H - H_c(i)]$$

H fiind cel calculat cu relația (4.27).

Intrucit primul punct al curbei de magnetizare se caracterizează prin $H_c(1)=B_c(1)=0$, se mai deduce că

$$\mu(0)=a_0, \quad (4.32)$$

$$\frac{\delta\mu}{\delta H}(0)=a_1, \quad (4.33)$$

$$\frac{1}{\mu}(0)=\frac{1}{a_0}, \quad (4.34)$$

$$\frac{\delta(\frac{1}{\mu})}{\delta B}(0)=-\frac{a_1}{a_0^3}. \quad (4.35)$$

Funcțiile descrise de relațiile (4.22, 4.23, 4.29, 4.31) au caracter polinomial, ele putând fi utilizate în cadrul unui program ca funcții externe cu structuri simple.

Expresia de aproximare (4.17) a fost utilizată pentru curba de magnetizare caracterizată prin valorile $H_c(i)$, $B_c(i)$ ($i=1, 2, \dots, 12$) din tabelul 3.1. În scopul obținerii unei netezimi ridicate a aproximării, s-a ales $\varrho = 3 \cdot 10^5$. Pentru coeficienții a_0 și a_i au rezultat valorile din tabelul 4.4. În tabelul 4.5 sunt prezentate valorile calculate $F[H_c(i)]$. Precizia aproximării a fost apreciată prin abaterea relativă medie procentuală, calculată cu relația

$a_0 = 9,139 \cdot 10^{-3}$ H/m	
i	a_i [H/A]
1	$-1,049 \cdot 10^{-5}$
2	$-1,087 \cdot 10^{-5}$
3	$1,416 \cdot 10^{-6}$
4	$1,744 \cdot 10^{-5}$
5	$7,932 \cdot 10^{-7}$
6	$1,887 \cdot 10^{-6}$
7	$-7,335 \cdot 10^{-8}$
8	$-2,234 \cdot 10^{-7}$
9	$1,020 \cdot 10^{-7}$
10	$4,991 \cdot 10^{-8}$
11	$-7,879 \cdot 10^{-8}$

$$\alpha_B = \frac{1}{12} \sum_{i=2}^{12} \frac{|F[H_c(i)] - B_c(i)|}{B_c(i)} \quad (4.36)$$

și egală cu 1,8%. Este posibil să se obțină o valoare mai mică pentru α_B scăzîndu-l pe ϱ , dar aceasta în detrimentul netezimii aproximării. Pot să apară chiar oscilații în curba $F(H)$ care să-1 anuleze caracterul de funcție monotonă, nefiind îndeplini-

tă o condiție impusă curbei de magnetizare în cadrul teoremelor 1 și 2 de unicitate din capitolul 1. De altfel, în acest caz nici nu mai este posibilă rezolvarea ecuației de gradul 2 (4.26).

Tabelul 4.5

i	1	2	3	4	5	6	7
$F[H_c(i)] [T]$	0	0,431	0,866	1,174	1,443	1,587	1,624

Tabelul 4.5 (continuare)

8	9	10	11	12
1,714	1,828	1,887	1,96	2,01

Exemplul de aplicare a metodei numerice cu diferențe finite iterativă din subcapitolul 5.9 a fost reluat și cu expresia (4.17) de aproximare a curbei de magnetizare $B(H)$. Subprogramele de tip subrutină CMAG și de tip funcție externă HMIU, DHMIU, UIMB și DUIMB sunt prezentate în anexa A2.

Programul de calcul a fost rulat pe un calculator FELIX C-256. Lungimea programului editat a fost de 38,8 kocetăți iar volumul memoriei ocupate, inclusiv tablourile declarate de 40 kocetăți. Soluția problemei de cimp a fost obținută după 169 de iterării.

Valorile rezultate pentru mărurile H_x , H_y și H în A/m , B_x , B_y și B în T și A_z în Tm în nodurile rețelei de discretizare sunt date în tabelul 4.6. În fig.4.1 sunt trase și liniile de cimp ale inducției magnetice. Parametrul curbelor este valoarea potențialului magnetic vector, în Tm .

În urma celor arătate mai sus se poate trage concluzia că utilizarea expresiei (4.17) de aproximare a curbei de magnetizare $B(H)$ în locul aproximării prin segmente de dreaptă duce la creșterea vitezei de convergență, numărul de iterării necesar obținerii soluției problemei de cimp fiind mai mic cu 5%.

De asemenea, se poate aprecia că precizia soluției problemei de cimp este mai mare, ca urmare a unei precizii mai mari în aproximarea curbei de magnetizare $B(H)$.

TABLELUL 436

COMPONENTA LUI H DUPA AXA OX IN NODURILE RETELEI				
843500	551500	24886	29688	882002
38649	19401	12039	42788	746406
62047	34096	20887	12488	238005
42111	40299	16089	64884	184870

COMPONENTA LUI H DUPA AXA OV IN NODURILE RETELEI				
843500	1254001	756084	876488	882002
38649	81207	928182	770981	746406
62047	22186	139183	221185	238005
42111	29086	7883	14588	184870

INTENSITATEA H IN NODURILE RETELEI				
843500	1254001	756084	876488	882002
38649	982184	928085	771088	746406
62047	106856	19688	225187	238005
42111	35285	22289	19287	184870

COMPONENTA LUI B DUPA AXA OX IN NODURILE RETELEI				
843500	100000	100000	100000	100000
38649	10099	10996	10828	100000
62047	16196	14901	13448	100000
42110	143076	111292	17555	100000

COMPONENTA LUI B DUPA AXA OV IN NODURILE RETELEI				
843500	10158	21380	211983	222010
38649	19142	22234	21442	221332
62047	1047	1314	17991	120418
42110	13480	20235	18737	121279

INDUCȚIA B IN NODURILE RETELEI				
843500	10158	21380	211983	222010
38649	10123	22242	21457	221332
62047	16520	17857	18718	120418
42110	15531	2060	1551	121279

POTENȚIALUL AZ IN NODURILE RETELEI				
843500	1845	1437	1221	10000
38649	1548	1432	1214	10000
62047	1022	1338	1182	10000
42110	1293	1165	1100	10000

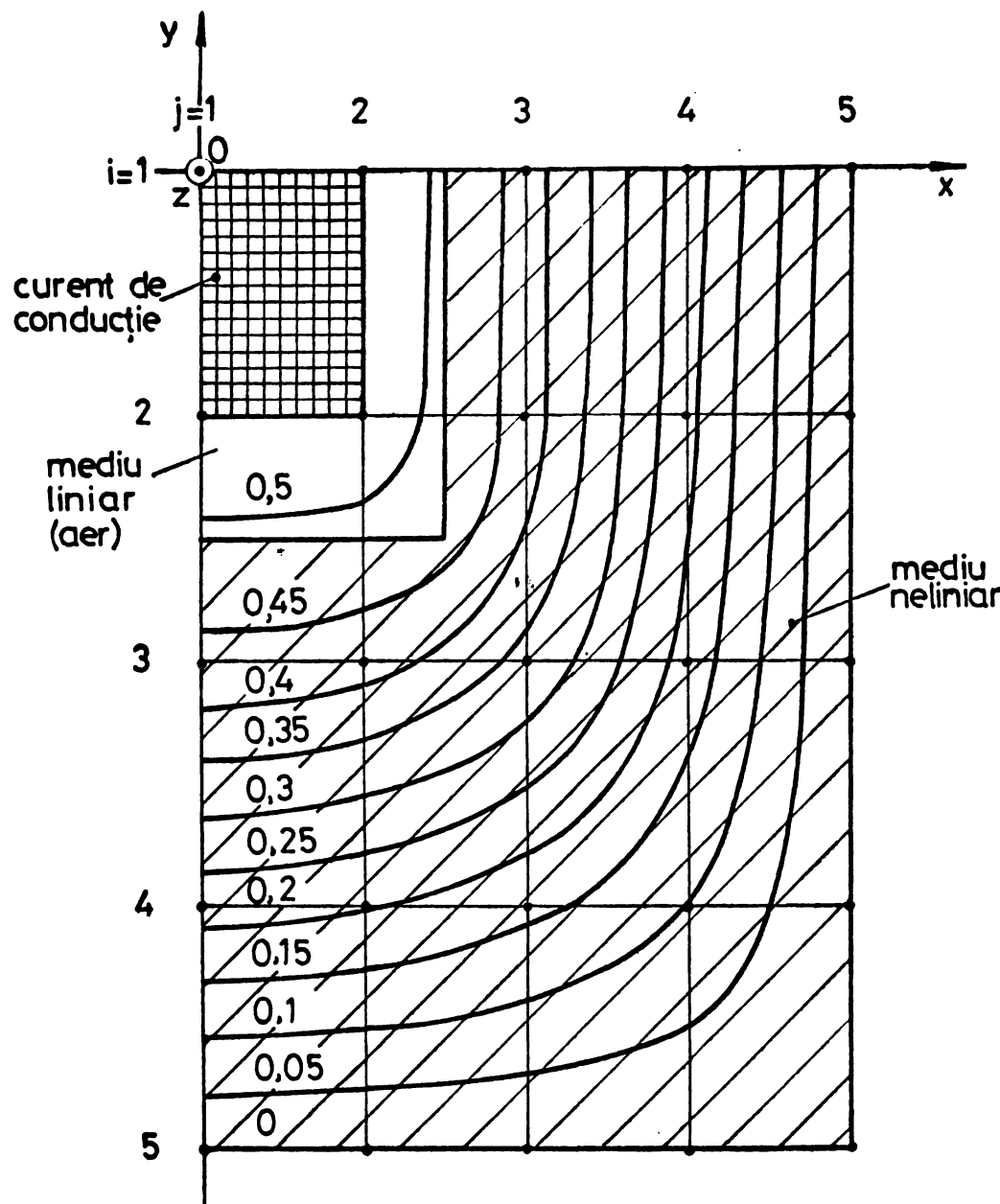


Fig.4.1

4.2.3. Aproximarea cu funcție hiperbolică completată cu termen liniar

Aproximarea curbei de magnetizare $B(H)$ prin expresia hiperbolică [32]

$$F(H) = \frac{H}{a+bH} \quad (4.37)$$

satisfac condițiile de continuitate a funcțiilor $\frac{\partial \mu}{\partial H}(H)$ și $\frac{\partial(1/\mu)}{\partial B}(B)$. În același timp se poate ușor calcula H atunci cînd se cunoaște $F(H)$, adică valoarea B aproximată. Expressia (4.37) prezintă însă dezavantajul că la creșterea lui H , $F(H)$ tinde spre

$1/b$, adică spre o valoare constantă. Pentru eliminarea acestui dezavantaj, expresia (4.37) a fost completată cu un termen liniar, ea devenind

$$F(H) = \frac{H}{a+bH} + cH. \quad (4.38)$$

Coefficienții reali a , b și c se pot calcula dacă se impune condiția

$$F[H_c(i)] = B_c(i) \quad (4.39)$$

în 3 puncte convenabil alese din cele $n-1$ puncte nebanale ce caracterizează curba de magnetizare. S-au analizat mai multe varianțe de alegere a celor 3 puncte nebanale pentru curba de magnetizare dată în tabelul 3.1. Cea mai bună precizie de aproximare, caracterizată printr-o abatere relativă medie procentuală $\xi_B = 1,56\%$, calculată cu relația (4.36) s-a obținut pentru $i=3,6,11$ în relația (4.39). În acest caz coeficienții a , b și c au rezultat: $a=65,548 \text{ m/H}$, $b=0,562 \text{ l/T}$ și $c=5,776 \text{ A/H/m}$. Valorile $F[H_c(i)]$ calculate sunt cele din tabelul 4.7. $\cdot 10^{-5}$

Tabelul 4.7

i	1	2	3	4	5	6	7
$F[H_c(i)] [\text{T}]$	0	0,537	0,89	1,136	1,388	1,55	1,651

Tabelul 4.7 (continuare)

8	9	10	11	12
1,727	1,807	1,886	1,96	2,028

Din relația (4.38) rezultă

$$\mu(H) = \frac{F(H)}{H} = \frac{1}{a+bH} + c \quad (4.40)$$

și

$$\frac{\partial \mu}{\partial H}(H) = - \frac{b}{(a+bH)^2}. \quad (4.41)$$

valoarea lui H se poate calcula cînd se cunoaște valoarea lui B cu relația

$$H = \frac{-(1+ac-bB) + \sqrt{(1+ac-bB)^2 + 4abcB}}{2bc}, \quad (4.42)$$

din care rezultă

$$\frac{1}{\mu}(B) = \frac{-(1+ac-bB)+R}{2bcB} \quad (4.43)$$

și

$$\frac{\partial(\frac{1}{\mu})}{\partial B}(B) = \frac{1}{2cB} - \frac{1-ac-bB}{2cBR} + \frac{1+ac-bB-R}{2bcB^2}, \quad (4.44)$$

unde

$$R = \sqrt{(1+ac-bB)^2 + 4abcB}. \quad (4.45)$$

Pentru primul punct al curbei de magnetizare în care $H_c(1)=B_c(1)=0$, se deduce

$$\frac{1}{\mu}(0) = \frac{a}{1+ac} \quad (4.46)$$

și

$$\frac{\partial(\frac{1}{\mu})}{\partial B}(0) = \frac{ab}{(1+ac)^3}. \quad (4.47)$$

Exemplul de aplicare a metodei numerice cu diferențe finite iterativă din subcapitolul 3.9 a fost reluat și cu expresia (4.38) de aproximare a curbei de magnetizare $B(H)$. Subprogramele de tip subrutină CMAG și funcție externă HMIU, DHMIU, UIMB și DUIMB sunt prezentate în anexa A3.

Programul de calcul, rulat pe un calculator FELIX C-256 a fost editat pe o lungime de 37,4 kocetăți iar volumul memoriei ocupate, inclusiv tablourile declarate, a fost de 38 kocetăți. Soluția problemei de cîmp a fost obținută după 155 de iterații.

Valorile rezultate pentru mărimele H_x , H_y și H în A/M, B_x , B_y și B în T și A_z în Tm sunt cele din tabelul 4.8. În fig.4.2 sunt trasate liniile de cîmp ale inducției magnetice, parametrul curbelor fiind valoarea potențialului magnetic vector, în Tm.

Utilizarea expresiei (4.35) pentru aproximarea curbei de magnetizare în locul aproximării prin segmente de dreaptă a redus numărul de iterații de la 175 la 155, adică cu 11%. Creșterea vitezei de convergență a metodei caracterizată prin scăderea numărului de iterații necesar pentru obținerea soluției problemei de cîmp reprezintă un aspect important care scoate în evidență avantajul expresiei (4.35) de aproximare a curbei de magnetizare. De asemenea, și precizia soluției problemei de cîmp este mai ridicată ca urmare a aproximării mai precise a curbei de magnetizare neliniare $B(H)$.

TABELUL 4.8

COMPONENTA LUI H DUPA AXA OX IN NODURILE RETELEI				
8489.4	5778.8	319.2	366.5	•000
414.2	1178.5	1447.1	461.6	•000
689.2	36.5	228.2	146.9	•000
458.6	438.8	181.2	61.2	•000

COMPONENTA LUI H DUPA AXA OY IN NODURILE RETELEI				
12263.3	7255.3	8563.2	8551.6	
8194.8	9142.9	7382.2	7154.3	
261.8	1639.4	2588.8	2742.2	
1.1.5	83.7	165.2	218.5	

INTENSITATEA H IN NODURILE RETELEI				
12263.3	7255.3	8563.2	8551.6	
1.27.4	9148.5	7391.5	7154.3	
12.7.7	2186.7	2621.7	2742.2	
374.5	242.1	217.2	218.5	
438.8	181.2	61.2		

COMPONENTA LUI B DUPA AXA OX IN NODURILE RETELEI				
0.40.7	0.36.7	0.34.7	0.30.7	0.00.7
1.41.23	1.05.23	1.02.15	0.32.66	0.00.7
1.56.16	1.03.269	1.01.453	0.75.93	0.00.7
1.44.51	1.04.311	1.04.929	0.61.59	0.00.7

COMPONENTA LUI B DUPA AXA OY IN NODURILE RETELEI				
0.00.6	0.15.4	2.01703	2.02501	2.02494
0.00.6	0.01.3	2.02841	2.01761	2.01641
0.00.6	0.36.6	1.03812	1.08268	1.08652
0.00.6	0.37.5	0.45.52	0.89.4	1.01727
0.00.6	0.40.7	0.45.51	0.00.0	0.00.0

INDUCTIA 'B' IN NODURILE RETELEI				
0.00.6	0.15.4	2.01703	2.02501	2.02494
0.00.6	0.01.26	2.02855	2.01787	2.01641
1.04.123	1.06.923	1.08156	1.08553	1.08652
1.05.616	1.03.784	1.02148	1.01782	1.01726
1.04.451	1.04.311	1.04.929	0.61.59	0.00.0

POTENTIALUL AZ IN NODURILE RETELEI				
0.55.6	0.55.5	0.44.6	0.22.5	0.00.0
0.55.5	0.55.4	0.44.	0.21.7	0.00.0
0.44.8	0.43.7	0.34.4	0.18.5	0.00.0
0.22.5	0.23.7	0.16.8	0.10.3	0.00.0
0.00.6	0.00.7	0.00.0	0.00.0	0.00.0

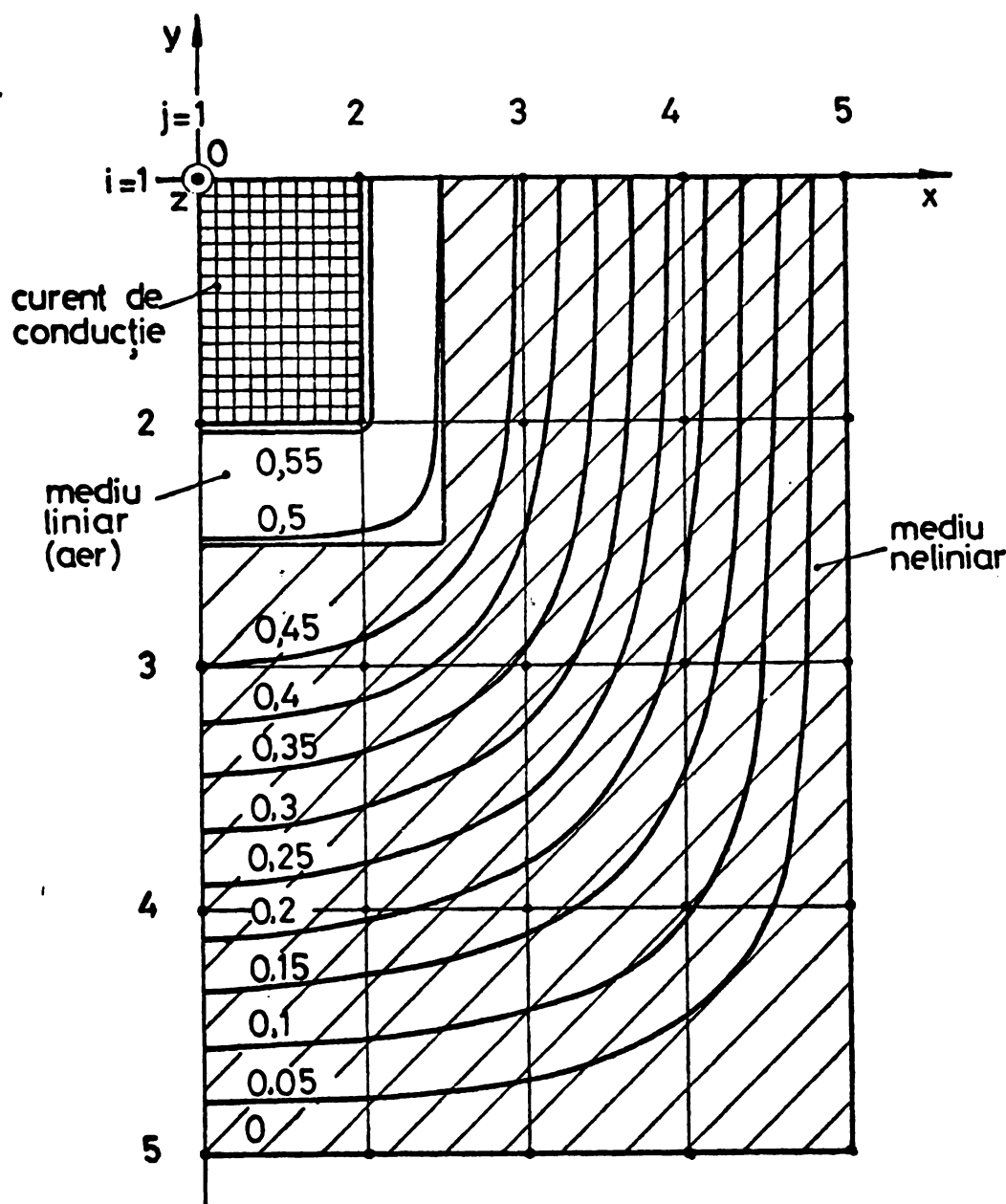


Fig.4.2

4.3. Balcierarea încrucișată a elementelor

Iterarea necunoscutelor H_x , H_y , B_x și B_y din sistemul de ecuații (3.13 – 3.15, 3.5, 3.6) trebuie efectuată conform relațiilor (3.36 – 3.45), succesiv pentru fiecare element al rețelei de discretizare a domeniului de existență D a cîmpului magnetic, ceea ce pretinde explorarea ordonată a elementelor într-o anumită ordine. În exemplele de calcul prezentate s-a utilizat balciera pe linii a elementelor; au fost deci parcursse elementele de pe linia 1 de la stînga la dreapta, apoi elementele de pe linia

2 în același sens, s.a.m.d., pînă la ultimul element (fig.4.3).

Dacă valorile inițiale ale necunoscutelor H_x , H_y , B_x și B_y sunt nule sau cvasinule, în procesul de baleiere a elementelor are loc

o propagare a valorilor nenule ale necunoscutelor de la elementele pentru care densitatea de curent de conductie $J_c(I,J)$ este nenulă (și deci mărimea $\epsilon_H(I,J)$ nenulă) spre elementele care nu sunt intersectate de curenti de conductie. Procesul de propagare al valorilor necunoscutelor, valori care tind spre valorile finale ce reprezintă soluția problemei de cîmp este reluat la fiecare iterare a necunoscutelor pe multimea elementelor rețelei de discretizare. În ideea că procesul de propagare a valorilor nenule ale necunoscutelor în

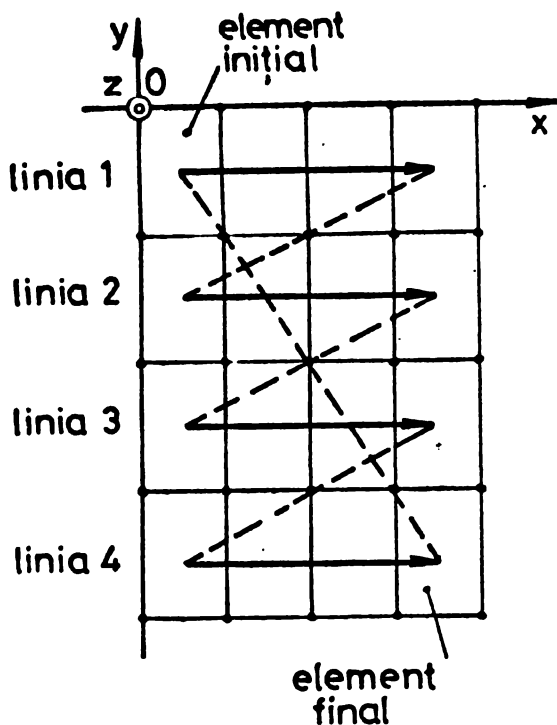


Fig.4.3

tendința lor de atingere a valorilor finale depinde potențial de modul de baleiere a elementelor, s-a analizat influența baleierii încrucișate asupra numărului de iterării necesar obținerii soluției problemei de cîmp, adică asupra vitezei de convergență a metodelor numerice cu diferențe finite iterativă de calcul al cîmpului magnetic cvasistacionar. Pentru exemplul prezentat în subcapitolul 3.9, dar utilizînd aproximarea curbei de magnetizare $B(H)$ cu expresia hiperbolică completată cu un termen liniar (4.35) pentru care s-a obținut numărul minim de iterării egal cu 155, s-a alternat baleiera pe linii a elementelor cu baleiera lor pe coloane (fig.4.4). Pentru iterăriile cu număr impar (1,3,...) s-a utilizat baleiera pe linii, iar pentru iterăriile cu număr par (2,4,...) baleiera pe coloane. Soluția problemei de cîmp a fost obținută după 263 de iterării. Modul de baleiere a elementelor influențează deci numărul de iterării necesar obținerii soluției problemei de cîmp. Baleiera încrucișată a elementelor rețelei de discretizare nu duce însă la scăderea numărului de iterării în raport cu baleiera simplă pe o singură direcție.

4.4. Valoarea coeficientului de relaxare k_r

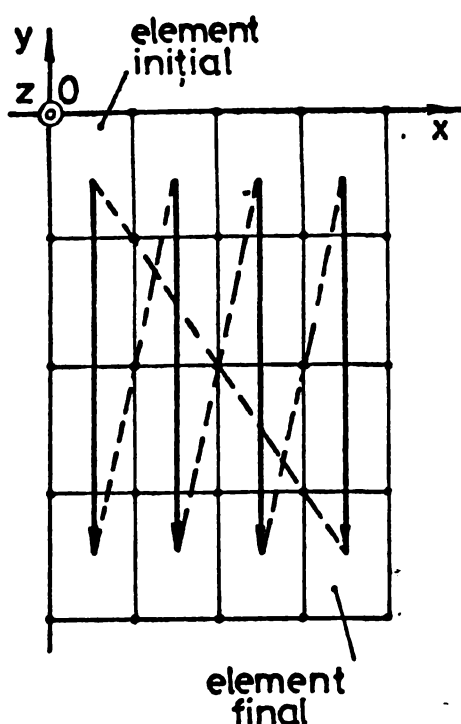


Fig.4.4

dificare a lui de-a lungul procesului iterativ de calcul nu sînt tratate în [1].

Pentru a analiza influența valorii coeficientului de relaxare k_r asupra vitezei de convergență a procesului de calcul iterativ s-a reluat exemplul de calcul amintit mai sus pentru diverse valori ale lui k_r . Valorile luate în considerare au fost constante încrucișit nu se poate evalua apriori numărul de iteratii necesar obținerii soluției problemei de cîmp. Soluția problemei de cîmp a fost obținută după numere de iteratii diferite la valori differente ale coeficientului de relaxare k_r , rezultatele fiind prezentate în fig.4.5. Din fig.4.5 reiese că valoarea coeficientului k_r influențează puternic numărul de iteratii necesar rezolvării problemei de cîmp, adică viteza de convergență a metodei. Numărul minim de iteratii, egal cu 80, s-a obținut pentru $k_r=0,54$, el fiind de 1,9 ori mai mic decît 155.

Pentru $k_r=0,54$, timpul de calcul al unității centrale a calculatorului FELIX C-256 a fost de 90,5 s iar timpul total consumat de calculator de 268 s.

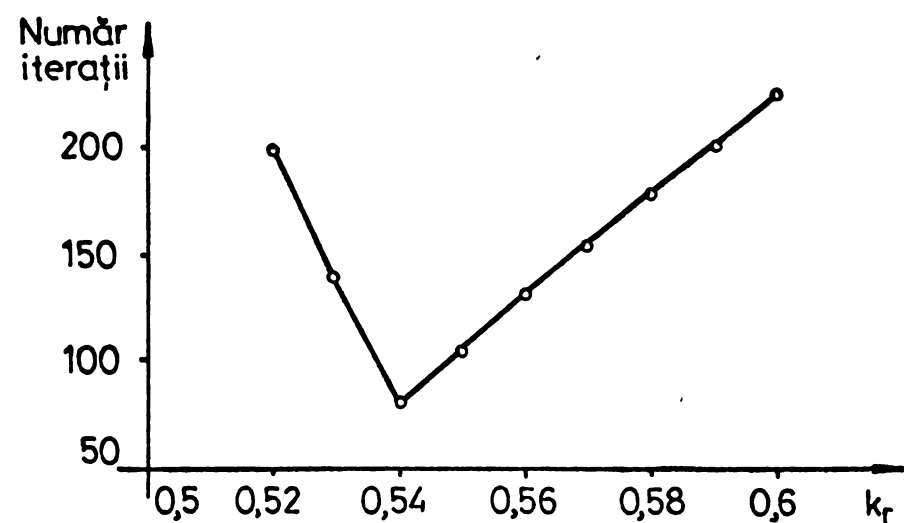


Fig.4.5

CAPITOLUL 5

CALCULUL CIMPULUI MAGNETIC CVASISTATIONAR PLAN-PARALEL CU O METODA CU DIFERENȚE FINITE RECURENTA

5.1. Introducere

Metoda numerică cu diferențe finite iterativă, extinsă pe rețea rectangulară periodică cu pas neegal, expusă în capitolul 3, permite calculul distribuției cimpului magnetic cvasistationar plan-paralel într-un domeniu plan D de o formă oricare. Metoda numerică cu diferențe finite recurrentă elaborată de autor în cadrul acestui capitol permite calculul rapid al valorilor componentelor vectorilor \bar{H} și \bar{B} în nodurile unei rețele de discretizare rectangulară periodică cu pas neegal a unui domeniu plan dreptunghiular, la care se cunosc valorile componentelor lui \bar{H} și/sau \bar{B} în nodurile de pe două laturi vecine ale domeniului. Este conceput algoritmul de calcul corespunzător metodei și un program de calcul în limbajul FORTRAN IV pentru o configurație dreptunghiulară dată.

5.2. Formularea problemei de cimp și substituirea ecuațiilor diferențiale cu derivate partiale cu ecuații cu diferențe finite

In cadrul metodei cu diferențe finite recurrentă de calcul al cimpului magnetic cvasistationar plan-paralel, problema de cimp se formulează la fel ca și în cadrul metodei cu diferențe finite iterativă, extinsă pe rețea rectangulară periodică cu pas neegal (subcapitolul 3.2). Deasemenea, ecuațiile cu derivate partiale ce reprezintă formele diferențiale a teoremei lui Ampère și a legii fluxului magnetic se substituie prin ecuațiile cu diferențe finite (3.9, 3.10) în modul arătat în subcapitolul 3.3.

5.3. Rezolvarea recurrentă a sistemului de ecuații cu diferențe finite

Admitând că mediul neliniar din domeniul D de existență a cimpului magnetic este izotrop, în orice nod (i,j) al rețelei de

discretizare din fig. 3.1 se pot scrie relații de forma

$$\left. \begin{array}{l} B_x(i,j) = \mu(i,j) H_x(i,j) \\ B_y(i,j) = \mu(i,j) H_y(i,j) \end{array} \right\} . \quad (5.1)$$

Relațiile (3.9, 3.10) formează un sistem de două ecuații cu diferențe finite în care mărimele $H_x(i+1,j+1)$ și $H_y(i+1,j+1)$ pot fi considerate ca fiind necunoscute. Rezolvând sistemul de ecuații cu diferențe finite în raport cu $H_x(i+1,j+1)$ și $H_y(i+1,j+1)$ și ținând cont de relațiile (5.1), se obține

$$\left. \begin{array}{l} H_x(i+1,j+1) = \frac{2p_x^2 p_y}{p_x^2 + p_y^2} J_c(I,J) + A(I,J) H_x(i,j) + \\ + B(I,J) H_y(i,j) + C(I,J) H_x(i,j+1) - D(I,J) H_y(i,j+1) + \\ + E(I,J) H_x(i+1,j) + F(I,J) H_y(i+1,j) \\ \\ H_y(i+1,j+1) = \frac{2p_x^2 p_y}{p_x^2 + p_y^2} J_c(I,J) + B(I,J) H_x(i,j) + \\ + G(I,J) H_y(i,j) + D(I,J) H_x(i,j+1) + K(I,J) H_y(i,j+1) - \\ - F(I,J) H_x(i+1,j) + L(I,J) H_y(i+1,j) \end{array} \right\} , \quad (5.2)$$

unde

$$\left. \begin{array}{l} A(I,J) = \frac{1}{p_x^2 + p_y^2} \left[p_x^2 + p_y^2 - \frac{\mu(i,j)}{\mu(i+1,j+1)} \right] \\ B(I,J) = \frac{p_x p_y}{p_x^2 + p_y^2} \left[1 - \frac{\mu(i,j)}{\mu(i+1,j+1)} \right] \\ C(I,J) = \frac{1}{p_x^2 + p_y^2} \left[p_x^2 - p_y^2 - \frac{\mu(i,j+1)}{\mu(i+1,j+1)} \right] \\ D(I,J) = \frac{p_x p_y}{p_x^2 + p_y^2} \left[1 + \frac{\mu(i,j+1)}{\mu(i+1,j+1)} \right] \\ E(I,J) = \frac{1}{p_x^2 + p_y^2} \left[p_y^2 - \frac{\mu(i+1,j)}{\mu(i+1,j+1)} - p_x^2 \right] \\ F(I,J) = \frac{p_x p_y}{p_x^2 + p_y^2} \left[1 + \frac{\mu(i+1,j)}{\mu(i+1,j+1)} \right] \\ G(I,J) = \frac{1}{p_x^2 + p_y^2} \left[p_x^2 - \frac{\mu(i,j)}{\mu(i+1,j+1)} + p_y^2 \right] \end{array} \right\} . \quad (5.3)$$

$$K(I,J) = \frac{1}{p_x^2 + p_y^2} \left[p_x^2 - \frac{\mu(i,j+1)}{\mu(i+1,j+1)} - p_y^2 \right]$$

$$L(I,J) = \frac{1}{p_x^2 + p_y^2} \left[p_y^2 - p_x^2 - \frac{\mu(i+1,j)}{\mu(i+1,j+1)} \right]$$

Relațiile (5.2) nu se aplică în nodurile de pe frontiera domeniului D în care, conform condiției (3.5) sau (3.6), una din cele două componente este nulă. Dacă

$$H_x(i+1,j+1) = 0, \quad (5.4)$$

atunci

$$H_y(i+1,j+1) = 2p_x J_c(I,J) + \frac{p_x}{p_y} H_x(i,j) + H_y(i,j) - \frac{p_x}{p_y} H_x(i+1,j) +$$

$$+ H_y(i+1,j) + \frac{p_x}{p_y} H_x(i,j+1) - H_y(i,j+1). \quad (5.5)$$

Dacă

$$H_y(i+1,j+1) = 0, \quad (5.6)$$

atunci

$$H_x(i+1,j+1) = 2p_y J_c(I,J) + H_x(i,j) + \frac{p_y}{p_x} H_y(i,j) - H_x(i+1,j) +$$

$$+ \frac{p_y}{p_x} H_y(i+1,j) + H_x(i,j+1) - \frac{p_y}{p_x} H_y(i,j+1). \quad (5.7)$$

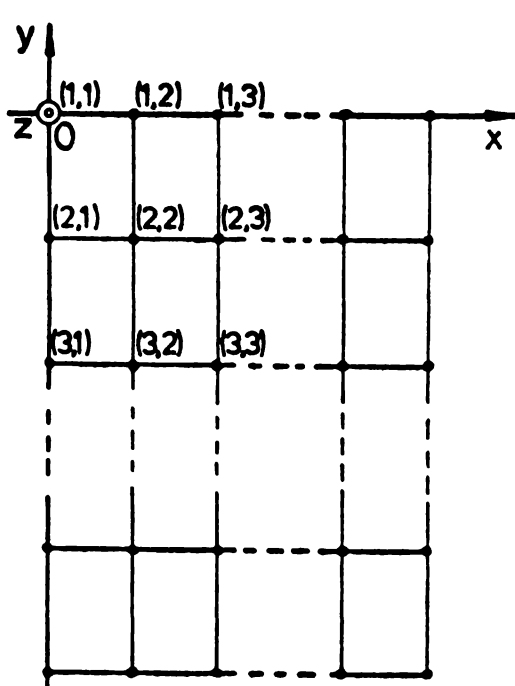


Fig.5.1

In cazul unui domeniu D dreptunghiular (fig.5.1), la care se cunosc valorile componentelor lui \bar{H} și/sau \bar{B} de-a lungul a două laturi, de exemplu superioară și stînga, relațiile (5.2, 5.5, 5.7) permit calculul componentelor lui \bar{H} în toate nodurile rețelei de discretizare, prin aplicarea lor, pe rînd, elementelor $(1,1), (1,2), \dots, (2,1), (2,2), \dots$, pînă la ultimul element. Se calculează întîi $H_x(2,2)$ și $H_y(2,2)$, apoi $H_x(2,3)$ și $H_y(2,3)$, s.a.m.d., pînă la ultimul nod. Cu relațiile (5.1) se pot apoi calcula valorile componentelor lui \bar{B} iar cu

relațiile

$$H(i,j) = \sqrt{H_x^2(i,j) + H_y^2(i,j)} , \quad (5.8)$$

$$B(i,j) = \sqrt{B_x^2(i,j) + B_y^2(i,j)} \quad (5.9)$$

valorile intensității cîmpului magnetic și inducției magnetice în toate nodurile de discretizare.

rețelei

5.4. Considerarea proprietăților magnetice

In relațiile (5.3) intervin permeabilitățile magnetice din cele 4 noduri (i,j) , $(i,j+1)$, $(i+1,j)$ și $(i+1,j+1)$ ale elementului (I,J) identificat prin nodul (i,j) . Pentru nodul $(i+1,j+1)$ în care se calculează cu relațiile (5.2) valorile componentelor lui \bar{H} ,

$$\mu(i+1,j+1) = \mu_0 \quad (5.10)$$

dacă nodul este plasat în mediu liniar (aer). Pentru un nod $(i+1,j+1)$ plasat în mediu neliniar, valoarea lui $\mu(i+1,j+1)$ nu este însă cunoscută dinainte. Trebuie precizat faptul că și în cadrul acestei metode sunt posibile situațiile de poziție din fig. 3.4 și 3.5 pentru nodurile rețelei de discretizare. Proprietățile magnetice vor trebui să fie constante în interiorul elementului analizat pe o arie egală cu un multiplu întreg al unui sfert din aria elementului.

Valoarea lui $\mu(i+1,j+1)$ pentru un nod plasat în mediu nelinier poate fi calculată prin metoda aproximărilor successive, în modul indicat în continuare.

Să aproximează curba de magnetizare $B(H)$ a mediului nelinier cu o expresie analitică adecvată. Fie această expresie funcția hiperbolică completată cu un termen liniar.

$$F(H) = \frac{H}{a+bH} + cH \quad (5.11)$$

de unde

$$\mu(H) = \frac{1}{a+bH} + c. \quad (5.12)$$

Să atribuie valori inițiale arbitrar necunoscutelelor $H_x(i+1,j+1)$ și $H_y(i+1,j+1)$ și se calculează $H(i+1,j+1)$ cu o relație de forma (5.8). Cu relația (5.12) se calculează valoarea inițială a lui $\mu(i+1,j+1)$. Se calculează apoi cu relațiile (5.2)

valorile lui $H_x(i+1, j+1)$ și $H_y(i+1, j+1)$, cu relația (5.8) $H(i+1, j+1)$ și cu relația (5.12) din nou $\mu(i+1, j+1)$. Se recalculă $H_x(i+1, j+1)$ și $H_y(i+1, j+1)$, procedeul repetindu-se pînă cînd diferențele relative ϵ_{Hx} , respectiv ϵ_{Hy} dintre valorile succeseive sunt pentru ambele necunoscute mai mici decît o limită impusă ϵ_{HMax} .

5.5. Algoritmul de calcul

Algoritmul de calcul corespunzător metodei numerice cu diferențe finite recurrentă este redat în fig.5.2. În cadrul ei se face apel la subroutinele CAMIU (fig.5.3) pentru calculul permeabilității μ în nod și CALCP (fig.3.13) pentru calculul potențialului magnetic vector în nodurile rețelei de discretizare.

Subroutine CAMIU apelează pentru nodurile aflate în mediul neliniar funcția externă HMIU (fig.5.4).

5.6. Exemplu de aplicare a metodei

Metoda numerică cu diferențe finite recurrentă de calcul al cîmpului magnetic evasistationar prezentată a fost aplicată pe configurația din fig.5.5, similară celeia din fig.4.2. De-a lungul laturilor superioară și stînga care sunt axe de simetrie au fost acceptate valorile componentelor lui \bar{H} obținute în paragraful 4.2.3 și date în tabelul 4.8.

Programul de calcul scris în limbajul FORTRAN IV conform algoritmului din subcapitolul 5.5 este prezentat în anexa A4.

Programul a fost rulat pe un calculator FELIX C-256. Lungimea programului editat a fost de 12,4 kocetăi iar volumul memoriei centrale ocupate, inclusiv tablourile declarate, de 30 kocetăi.

Timpul de calcul al unității centrale a fost de 2,5 s iar timpul total consumat de calculator este 117 s. Față de timpii menționati în subcapitolul 4.4, acești timpi, și mai ales primul, sunt mult mai mici, ceea ce reflectă rapiditatea acestei metode în condițiile precizate, în comparație cu metoda cu diferențe finite iterativă, extinsă pe rețea rectangulară periodică cu pas neegal.

Valorile rezultate pentru mărimele H_x , H_y , H în A/m, B_x , B_y și B în T și A_z în Tm în nodurile rețelei de discretizare sunt

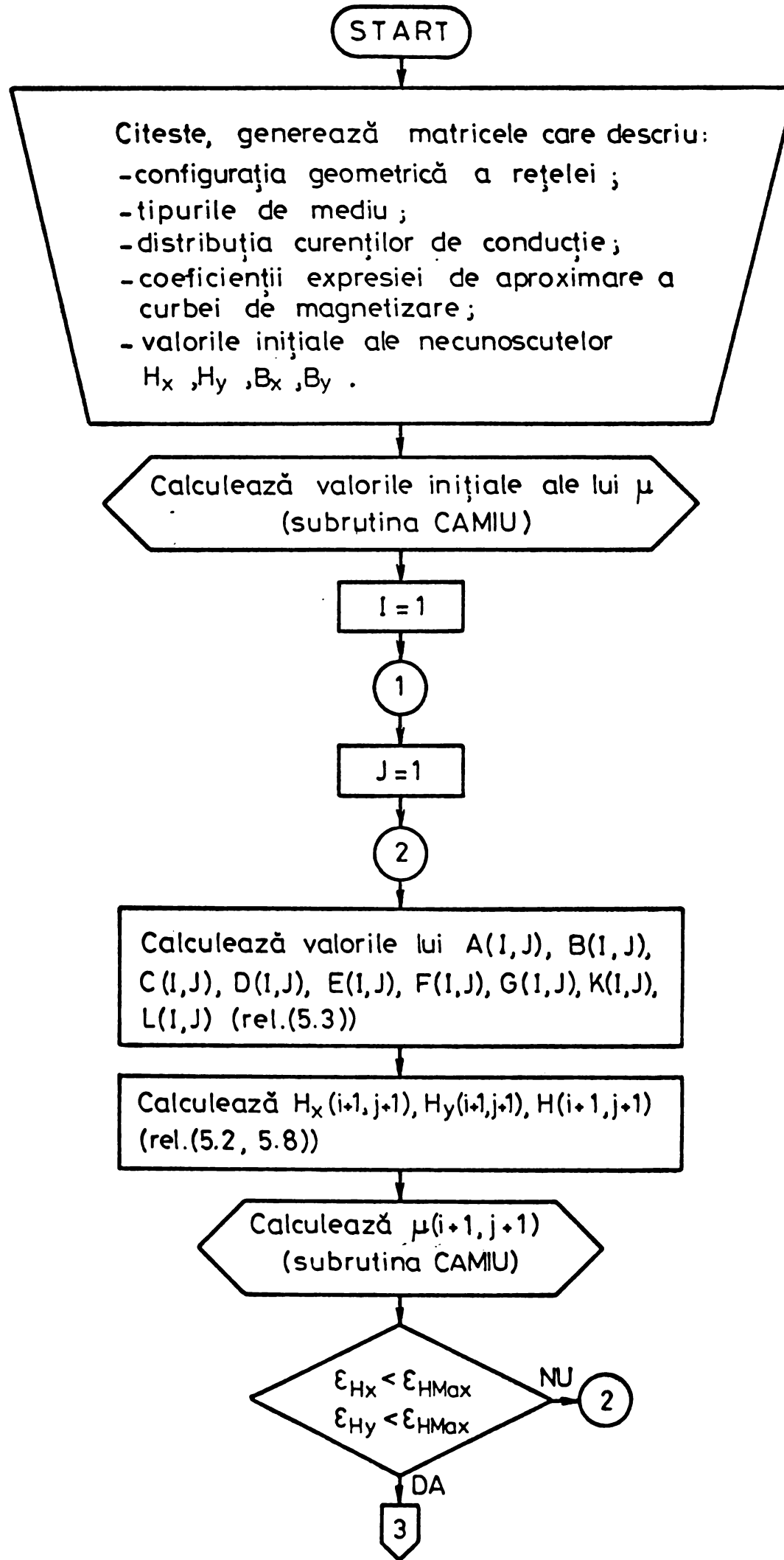


Fig. 5.2

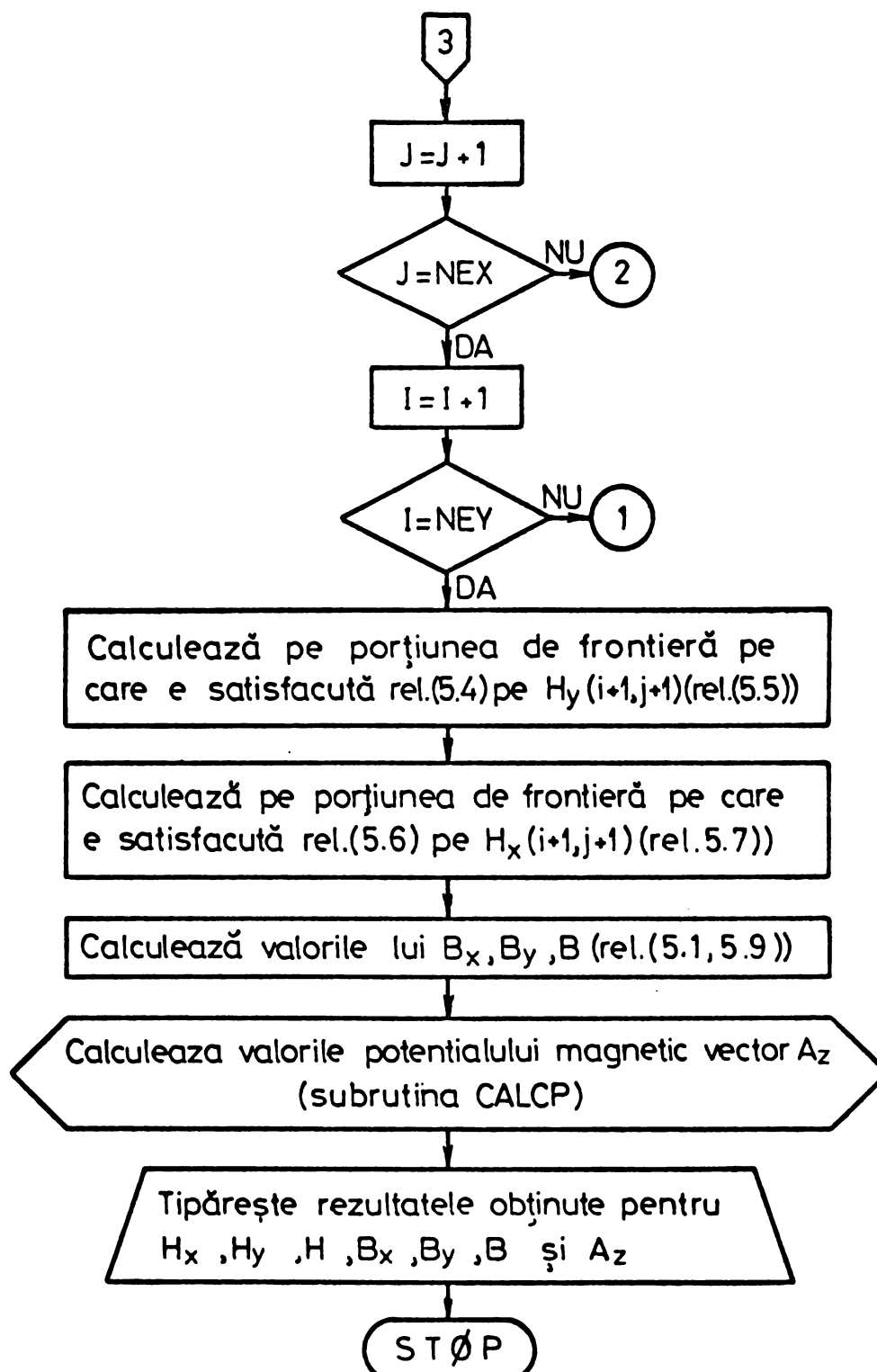


Fig. 5.2 (continuare)

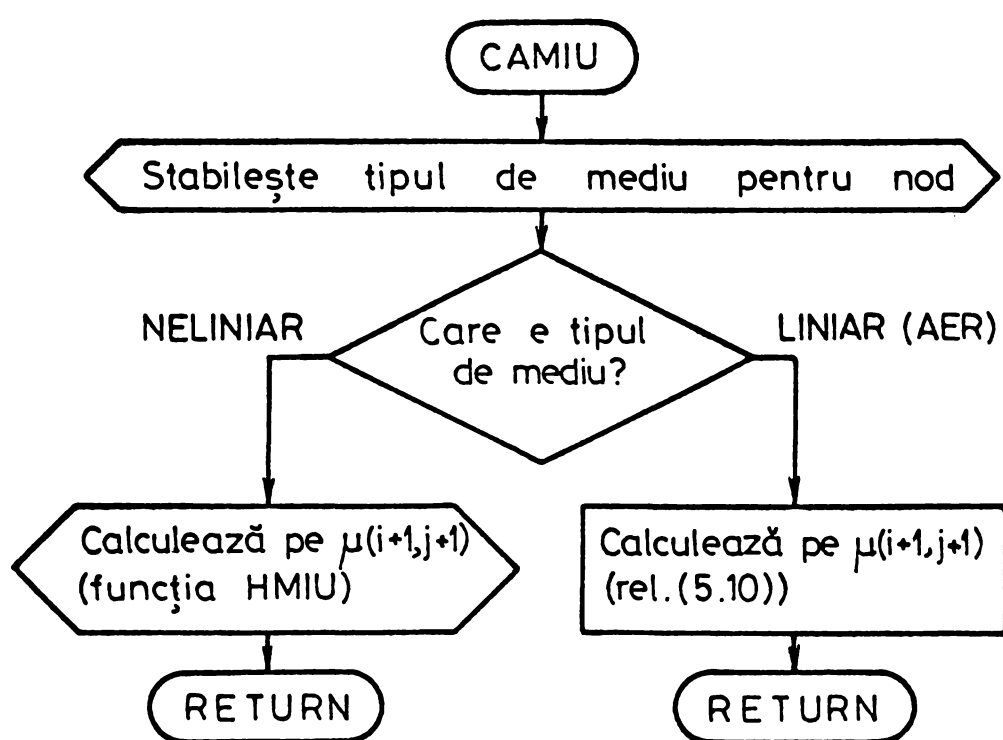


Fig.5.3

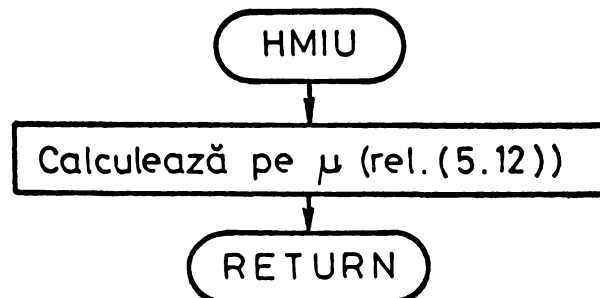


Fig.5.4

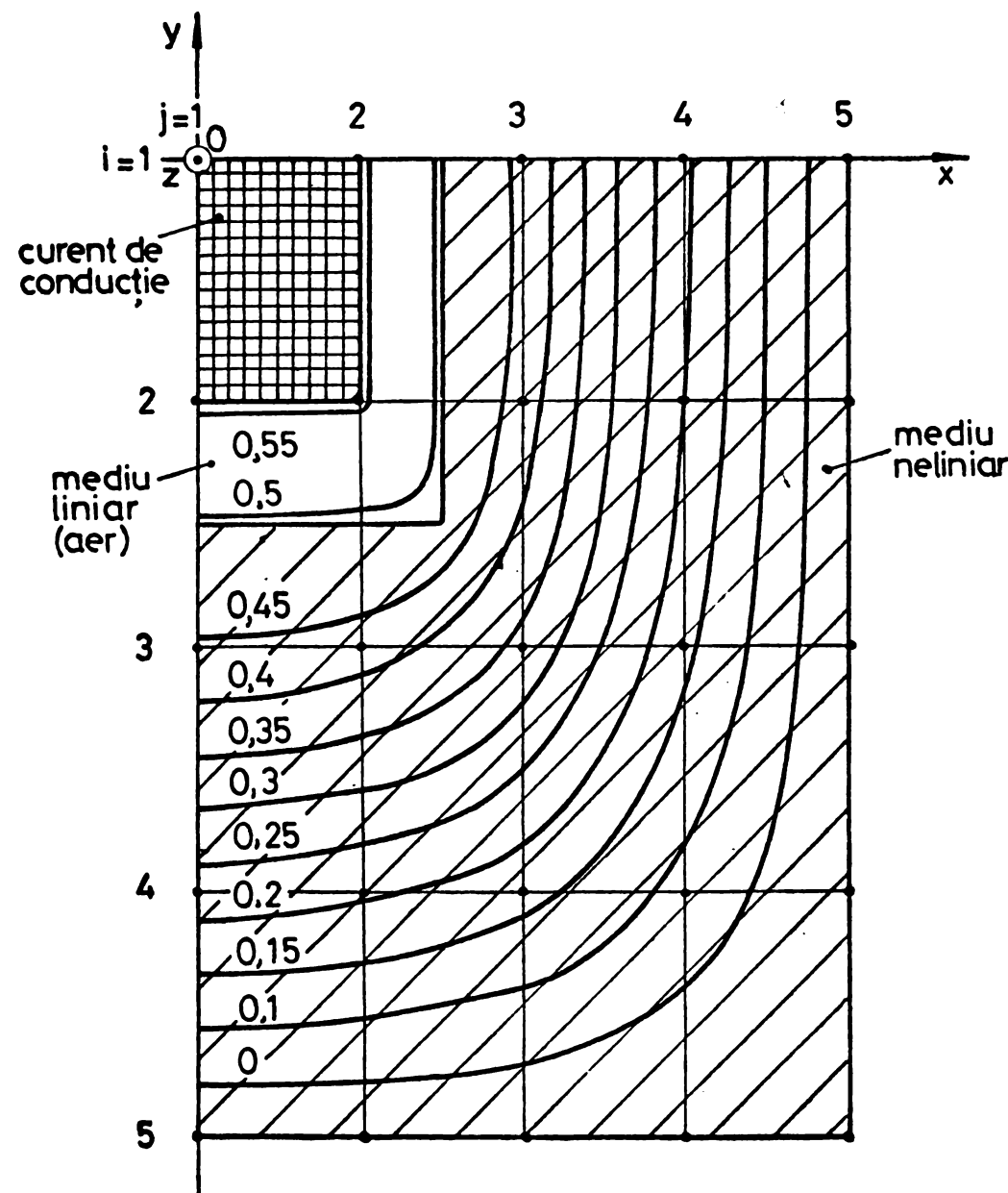


Fig.5.5

date în tabelul 5.1 și ele coincid practic cu cele din tabelul 4.8. În fig.5.5 sunt traseate liniile de cîmp ale inducției magnetice pentru distribuția de cîmp stabilită. Parametrul curbelor este valoarea potențialului magnetic vector, în Tm.

TABELUL 5.1

HX

8489.4 ⁰	5791.3 ⁰	320.3 ⁰	362.7 ⁰	.0
414.2	1160.6	1451.7	463.7	.0
689.2	357.0	203.9	134.5	.0
458.6	440.7	167.8	6.0	.0

HY

.0	12263.3	7255.3	8563.2	8551.0
.0	8216.2	9149.8	7386.5	7156.8
.0	254.4	1653.8	2595.4	2757.7
.0	98.0	66.3	176.0	233.2
.0	.0	.0	.0	.0

H

8489.4 ⁰	12263.3	7255.3	8563.2	8551.0
414.2	10052.2	9155.4	7395.4	7156.8
689.2	1188.2	2200.6	2636.5	2757.7
458.6	370.2	214.4	221.5	233.2
	440.7	167.8	6.0	.0

BX

.0000	.0000	.0000	.0000	.0000
.0107	.0073	.0800	.1069	.0000
1.4123	1.6498	1.1986	.3265	.0000
1.5616	1.3255	1.1077	.7156	.0000
1.4451	1.4321	1.0593	.0875	.0000

BY

.0000	.0154	2.1703	2.2500	2.2493
.0000	.0103	2.2844	2.1763	2.1642
.0000	.3616	1.3654	1.8273	1.8664
.0000	.3637	.3601	.9363	1.1996
.0000	.0000	.0000	.0000	.0000

B

.0000	.0154	2.1703	2.2500	2.2493
.0107	.0126	2.2858	2.1789	2.1642
1.4123	1.6889	1.8169	1.8563	1.8664
1.5616	1.3745	1.1647	1.1784	1.1996
1.4451	1.4324	1.0593	.0875	.0000

AZ

.556	.555	.442	.202	.000
.555	.555	.436	.194	.000
.449	.430	.340	.162	.000
.226	.207	.167	.084	.000
.000	.000	.000	.000	.000

CAPITOLUL 6

DETERMINAREA CIMPULUI MAGNETIC DIN CONOTORUL DE INDUCTIE MONOFAZAT

6.1. Introducere

Creșterea consumului de energie electrică, în contextul actual al crizei energetice, caracterizat prin măsuri severe de economisire a energiei și prin creșterea rapidă a prețurilor diverselor forme de energie a impus mărarea producției de contoare electrice și ridicarea performanțelor lor tehnice și economice.

Fabricarea contoarelor de inducție pentru măsurarea energiei electrice a fost preluată în țara noastră în anul 1972 de către Întreprinderea de apătate electrice de măsurat (I.A.E.M.) din Timișoara. O preocupare esențială a acestei întreprinderi o reprezintă îmbunătățirea continuă a calității contoarelor de inducție fabricate. În acest sens, între întreprinderea menționată și Catedra de electronică și măsuri a Facultății de electrotehnică din cadrul Institutului politehnic "Traian Vuia" din Timișoara au fost încheiate și finalizate în ultimii ani mai multe contracte de cercetare științifică.

În cadrul contractului cu tema "Studierea unei tehnologii de montare a circuitelor magnetice la conotorul monofazat în vederea eliminării influențelor dăunătoare cauzate de asimetrii" (nr. 144/1976 I.P.T.V.T., nr. 16040/1976 I.A.E.M.T) [62] o fază, realizată de autor, a reprezentat-o determinarea experimentală a distribuțiilor valorilor de amplitudine ale inducțiilor magnetice aferente fluxurilor active produse de electromagnetii de curent și de tensiune în planul discului [35]. Ulterior, în cadrul contractului cu tema "Cercetări privind proiectarea asistată de calculator a conotorului de energie electrică monofazat" (nr. 309/1979 I.P.T.V.T., nr. 15770/1979 I.A.E.M.T) [38], autorul a calculat distribuțiile valorilor inducțiilor magnetice produse de electromagnetii de curent și de tensiune în planul discului, pe o direcție ce trece prin centrele urmelor polilor.

In literatura de specialitate [40, 41, 44, 61, 70] privitoare la contorul de inducție monofazat se consideră în studiul fenomenelor care au loc în contor și în calculul mărimilor caracteristice principale că inducțiile magnetice corespunzătoare fluxurilor active produse de electromagnetii de curenț și de tensiune sunt unitare ca valori de amplitudine în planul discului, pe arii egale cu cele ale unor poli echivalenți. Ipoteza simplificatoare de mai sus este comodă, dar nu permite punerea în evidență a complexității fenomenelor din contorul de inducție monofazat.

Determinarea distribuțiilor reale ale inducțiilor magnetice în planul discului contorului de inducție monofazat reprezintă o primă condiție, absolut necesară, în rezolvarea unor probleme importante:

- calculul mai exact al mărimilor caracteristice principale ale contorului;
- explicarea apariției cuplurilor de asimetrie, prin analiza influenței asimetriilor geometrice asupra distribuțiilor;
- perfecționarea tehnologiei de montare, în vederea eliminării influențelor dăunătoare cauzate de asimetriile geometrice necontrolate [62] ;
- elaborarea de programe convenționale care să furnizeze rapid soluții privind procedura de reglaj necesară pentru introducerea contoarelor în clasa de precizie, la modificări ale caracteristicilor electrice și/sau magnetice ale materialelor folosite;
- reproiectarea optimală a circuitului magnetic de curenț realizat din tablă silicioasă de 0,5 mm de producție românească, eliminându-se astfel importul de tablă silicioasă de 0,35 mm.

6.2. Calculul distribuției valorilor inducției magnetice între o secțiune mediană a contorului de inducție monofazat

Pentru calculul distribuției valorilor inducției magnetice în contorul de inducție monofazat s-a utilizat metoda cu diferențe finite iterativă, extinsă pe rețea rectangulară cu pas neegal, prezentată în capitolul 3. Calculul a fost efectuat pentru un contor CAM-7 de fabricație românească, la alimentarea separată a

bobinelor celor doi electromagneti, de curent si de tensiune, cu curenti continui avand valori de $\sqrt{2}$ ori mai mari decit valorile efective ale curentilor alternativi ce parcurg cele doua bobine in regimul nominal de functionare.

6.2.1. Cazul alimentarii bobinei de curent

S-a considerat o sectiune mediană prin contor, care trece prin centrele urmatorilor polilor electromagnetului de curent. Intrucit sectiunea mediană admite o axă de simetrie, s-a redus domeniul de calcul la jumătate din aria sectiunii. Domeniul de calcul acceptat, de formă dreptunghiulară, este reprezentat în fig.6.1. De-a lungul laturii din dreapta a domeniului, care se suprapune peste axa de simetrie a sectiunii, s-a considerat satisfăcută o condiție de forma (3.6). De-a lungul laturilor superioară, din stînga și inferioară s-a considerat satisfăcută o condiție de formă (3.5).

In discretizarea domeniului de calcul s-a avut în vedere configurația concretă a subdomeniilor cu proprietăți de material diferite sau parcuse de curenti de conductie și exploatarea avantajelor metodei folosite, expuse în subcapitolul 3.1. Pe direcția Ox s-au utilizat 2 pași de discretizare diferenți, egali cu 1,6 și 3,2 mm, iar pe direcția Oy 3 pași de discretizare diferenți, egali cu 1,6; 3,2 și 6,4 mm, rezultind un număr de 240 elemente dreptunghiulare, de 6 tipuri, și 273 noduri.

Proprietățile magnetice ale materialelor feromagnetic din care sunt constituite circuitul magnetic de curent, circuitul magnetic de tensiune, șuntul magnetic și contrapolul au fost avute în vedere prin curbele fundamentale de magnetizare ale respectivelor materiale, obținute prin bulete de măsurători de la I.A.E.M.Timișoara și aproximare cu funcții hiperbolice complete cu termeni liniari de forma (4.38).

Curentul continuu ce parcurge bobina de curent a fost considerat egal cu $\sqrt{2} I_n$, unde $I_n=10$ A este curentul nominal al contorului, aceasta pentru a putea compara valorile calculate ale inducției magnetice cu valorile de amplitudine măsurate experimental ale inducției magnetice.

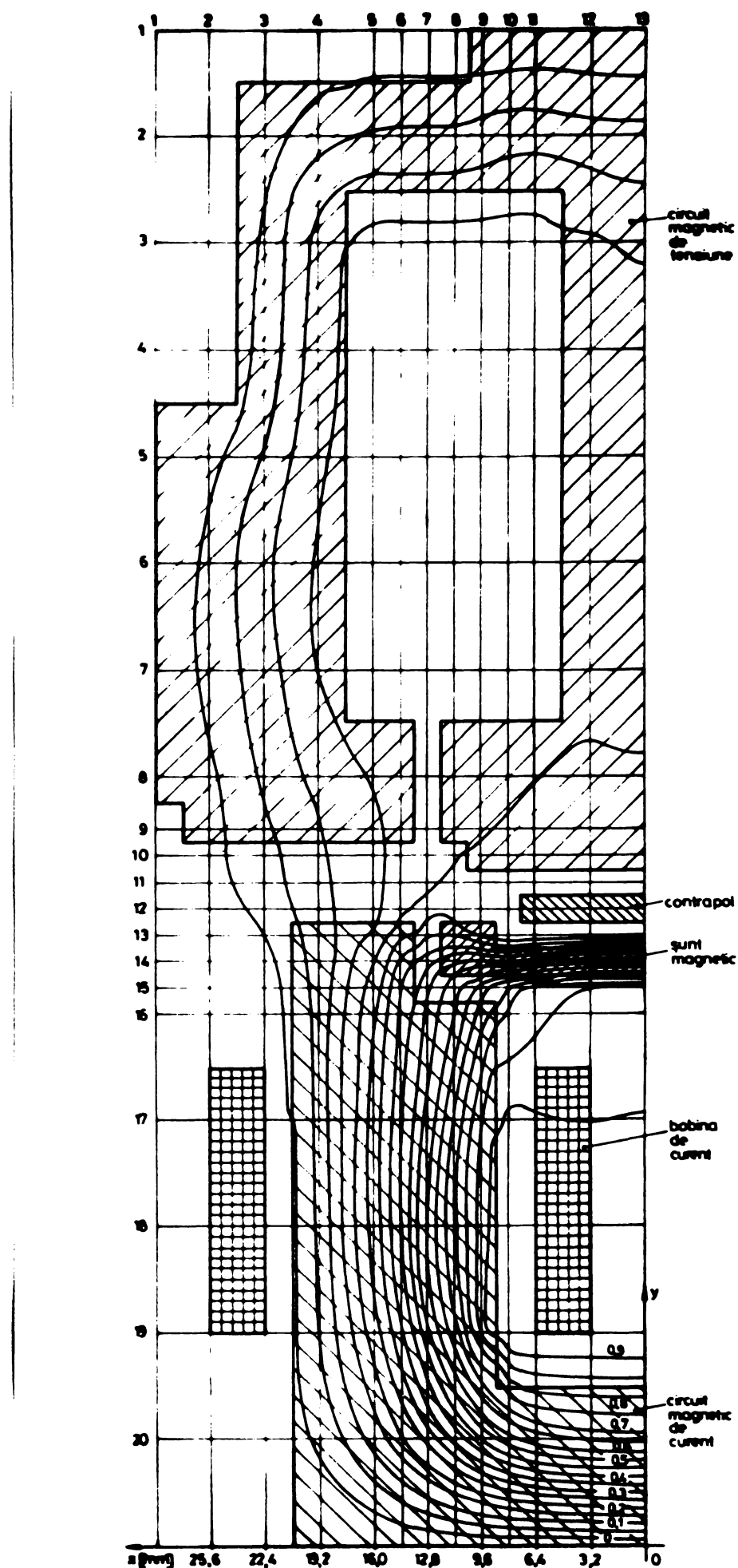


Fig. 6.1

S-a impus $\epsilon_{HMax} = 0,2 \text{ A}$ și $\epsilon_{BMax} = 0,2 \cdot 10^{-5} \text{ Tm}$, fiind necesare 3128 iteratii pentru obtinerea rezultatelor. Pe baza rezultatelor, in fig.6.1 au fost trasate liniile de cimp ale inductiei magnetice, parametrul curbelor fiind valoarea potentialului magnetic vector, inmultita cu 10^3 , in Tm.

Valorile rezultate din calcul pentru componenta B_y a inductiei magnetice in planul discului contorului de inductie (de-a lungul liniei 11) sunt date in fig.6.2, prin curba trasata continua.

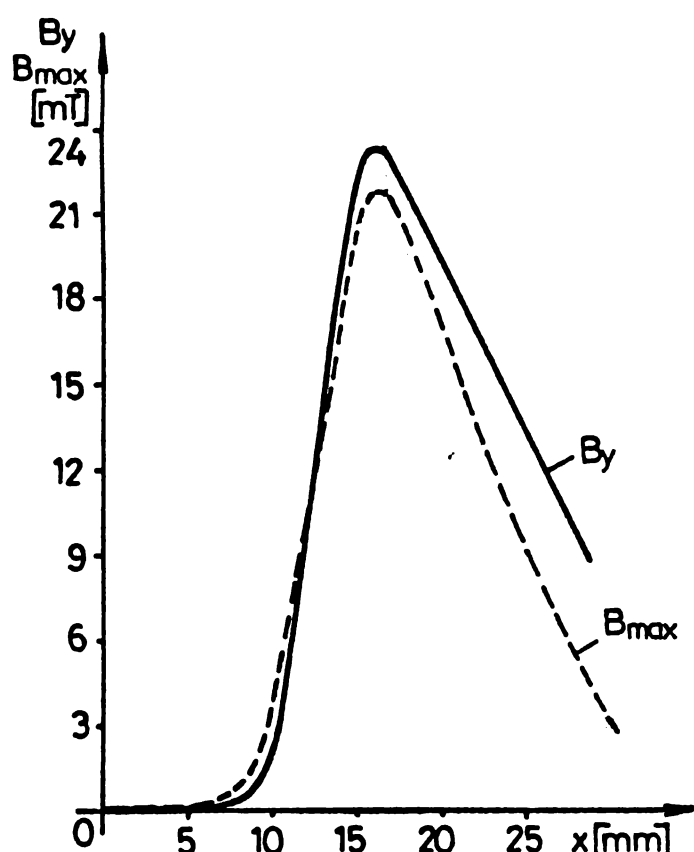


Fig.6.2

temului magnetic; de-a lungul ei s-a considerat satisfăcută o condiție de formă (3.5) ca urmare a faptului că latura din dreapta nu este axă de simetrie și pentru a partitura curentilor de conducție. Tot o condiție de formă (3.5) s-a considerat satisfăcută de-a lungul laturilor superioară, din stînga și inferioară ale domeniului.

Discretizarea domeniului s-a efectuat conform acelorași principiilor arătate în cazul alimentării bobinei de curent. Pe direcția Ox s-au utilizat 2 pași de discretizare diferiți, de 1,6 și 3,2 mm, iar pe direcția Oy 3 pași de discretizare diferiți, de 1,6; 3,2 și

6.2.2. Cazul alimentării bobinei de tensiune

Calculul s-a efectuat în cadrul unei secțiuni mediane prin contor ce trece prin centrele urmator polilor electromagnetului de tensiune. Domeniul de calcul acceptat, de formă dreptunghiulară, este prezentat în fig.6.3. Contrapolul real al contorului a fost înlocuit cu un contrapol echivalent ca mărimi geometrice și aflat în planul secțiunii mediane. Latura din dreapta a domeniului este suprapusă peste axa de simetrie a sis-

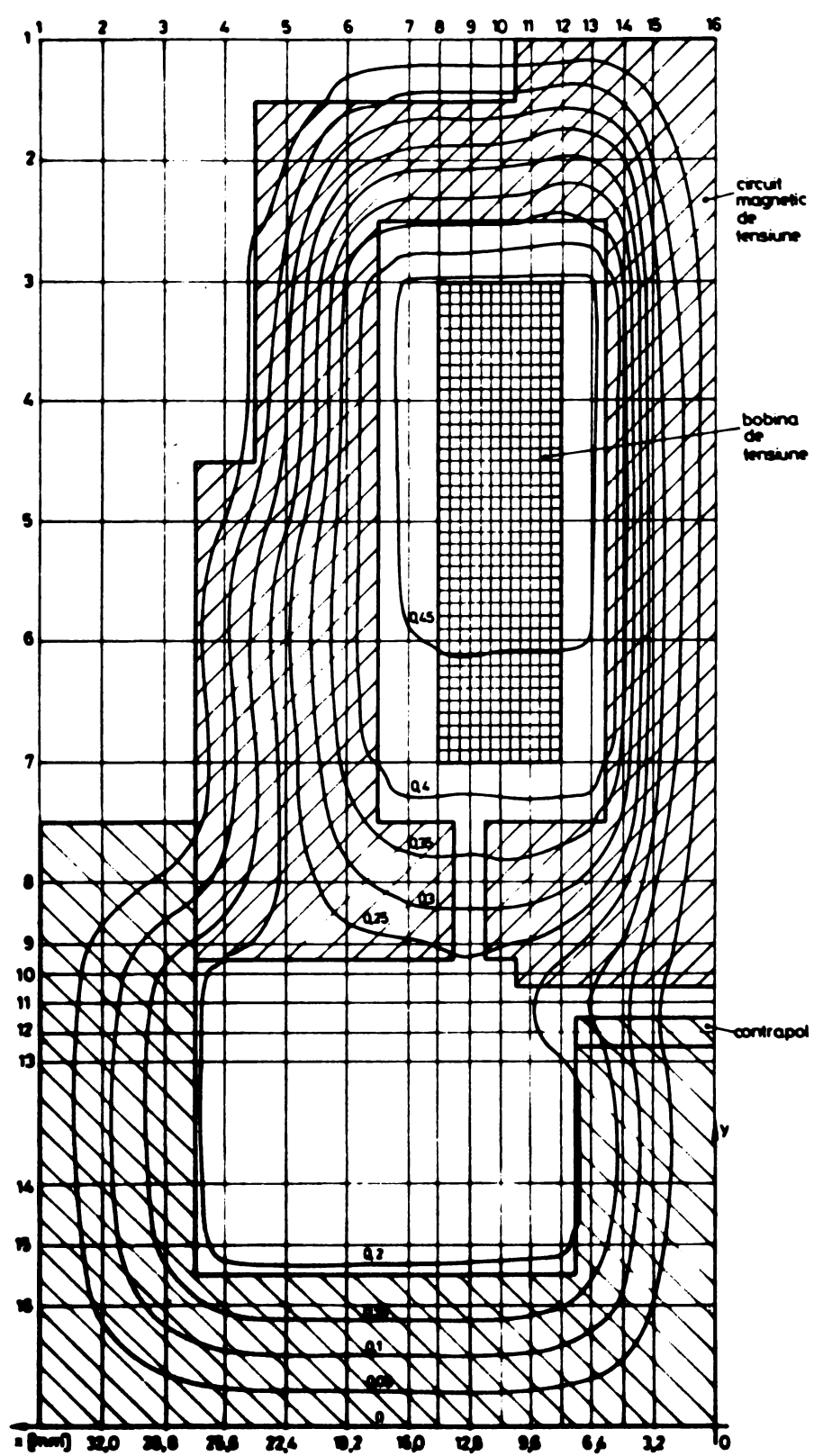


Fig.6.3

6.4 mm. Au rezultat 240 elemente dreptunghiulare, de 6 tipuri, și 272 noduri.

Considerarea proprietăților magnetice ale materialelor feromagnetice din care sunt constituite circuitul magnetic de tensiune și contrapolarul s-a făcut ca și în cazul alimentării bobinei de curenț.

Curențul continuu ce parcurge bobina de tensiune a fost de $\sqrt{2}$ ori mai mare decât cel corespunzător alimentării bobinei cu tensiunea nominală $U_n = 220$ V.

In calcul s-a impus $E_{HMax} = 1,45$ A și $E_{BMax} = 0,13 \cdot 10^{-4}$ Tm, rezultatele obținindu-se după 4398 iterării. In fig.6.3 s-au trăsat liniile de cimp ale inducției magnetice, parametrul curbelor fiind valoarea potențialului magnetic vector, înmulțită cu 10^2 , în Tm.

Pentru componenta B_y a inducției magnetice în planul discului (de-a lungul liniei II) au rezultat din calcul valorile corespunzătoare curbei trăsate cu linie continuă în fig.6.4.

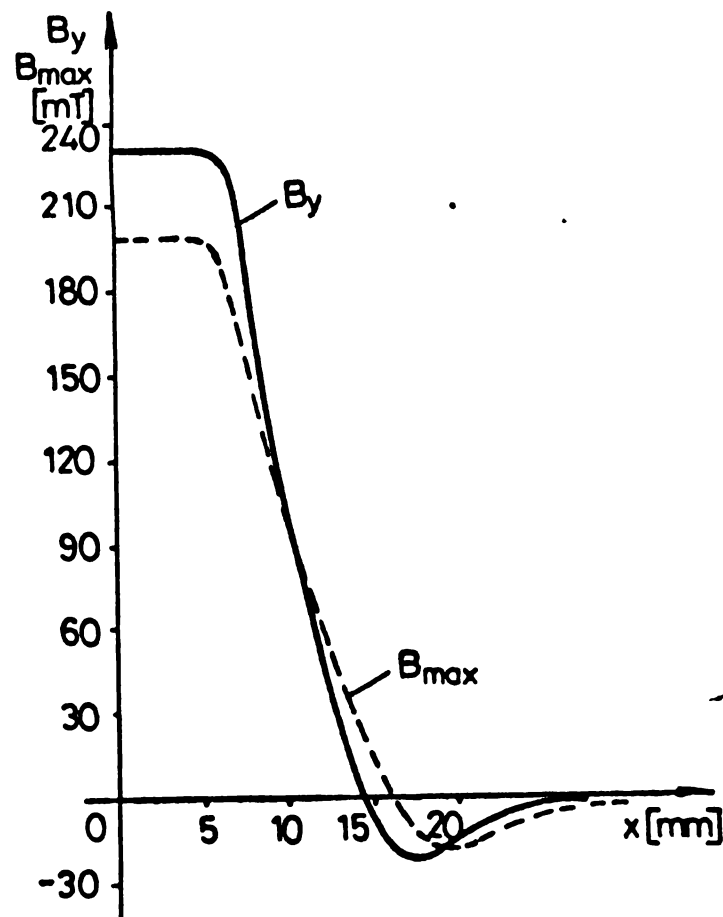


Fig.6.4

6.3. Determinarea experimentală a distribuțiilor valorilor de amplitudine ale inducției magnetice în planul discului

Distribuțiile reale în planul discului ale valorilor de amplitudine ale inducției magnetice aferente fluxurilor active s-au determinat pe baza legii inducției electromagnetice, cu o instalație de măsură a cărei schemă bloc este redată în fig.6.5.a. BM este o bobină de măsură, etalonată, de dimensiuni neglijabile în raport cu dimensiunile domeniului de măsură; C reprezintă un convertor tensiune alternativă-tensiune continuă realizat cu amplificatoare operaționale iar VN un voltmetru numeric de tensiune continuă.

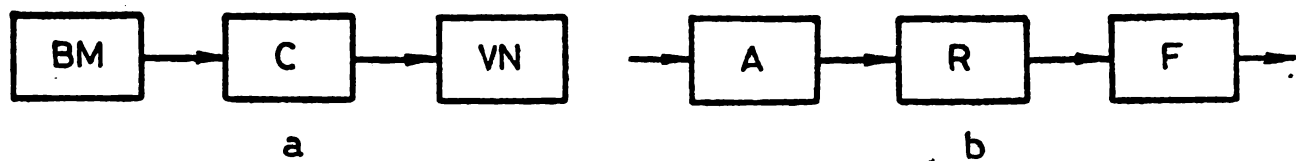


Fig.6.5

Schema bloc a convertorului este dată în fig.6.5.b. A este un amplificator cu cîstig unitar ce realizează pentru convertor o impedanță de intrare foarte mare, de ordinul $M\Omega$ -lor, față de care impedanța bobinei de măsură la 50 Hz este neglijabilă; R este un redresor monoalternantă cu performanțe foarte apropriate de ale unui redresor ideal iar F este un filtru cu menținerea valorii medii redresate.

Bobina de măsură a fost plasată pe un dispozitiv ce permitea deplasarea ei în planul discului D (fig.6.6.a,b) al unui contor de inducție CAM-7 după două direcții ortogonale Ox, Oy. Cu

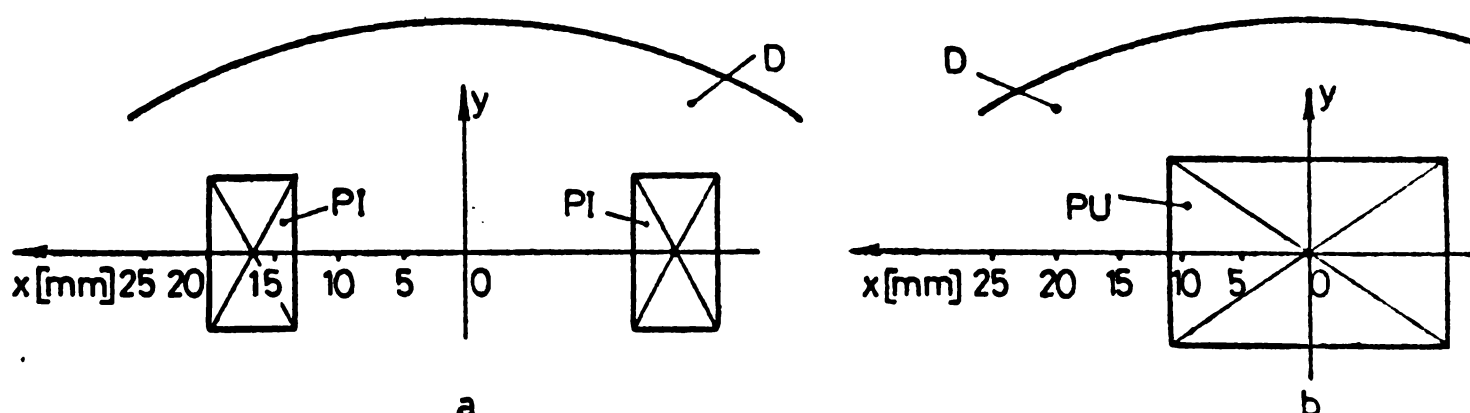


Fig.6.6

PI . s-au notat urmele polilor electromagnetului de curent iar cu PU urma polului central al electromagnetului de tensiune. Axa Ox trece prin centrele urmatorilor polilor electromagnetilor de curent și tensiune.

Datorită performanțelor ridicate ale convertorului, tensiunea U măsurată de voltmetrul numeric s-a considerat egală cu valoarea medie pe o perioadă a tensiunii inducă în bobină, redresată. În consecință, pentru calculul valorilor de amplitudine ale inducțiilor magnetice, medii pe aria A a bobinei de măsură s-a utilizat relația

$$B_{\max} = \frac{U}{2f \cdot N \cdot A}, \quad (6.1)$$

unde f este frecvența tensiunii alternative cu care s-a alimentat contorul iar N - numărul de spire al bobinei de măsură.

Contorul de inducție a fost simetrizat, demontându-i-se apoi magnetul permanent și discul. Bobinele celor 2 electromagneti au fost alimentate pe rînd, cu mărimi corespunzătoare regimului nominal ($I_n=10$ A, $U_n=220$ V).

In situația în care bobina de curent a fost parcursă de curentul de sarcină nominal, pentru $y=0$ s-au obținut valorile B_{\max} corespunzătoare curbei trasată întrerupt în fig.6.2. Rezultatele experimentale referitoare la B_{\max} sunt apropiate de cele obținute prin calcul pentru B_y ; diferențele care apar la x mare se pot explica prin limitarea domeniului de calcul pe direcția Ox și impunerea unei condiții de forma (3.5) pe latura din stînga a domeniului de calcul (fig.6.1).

La alimentarea bobinei de tensiune cu tensiune nominală s-a obținut pentru $y=0$ distribuția valorilor B_{\max} corespunzătoare curbei trasată întrerupt în fig.6.4. Abateri mai mari între valorile B_y calculate și valorile B_{\max} măsurate experimental apar aici pentru y , ele fiind de ordinul a 15 -.20%.

Din fig.6.2 și 6.4 se observă variația puternică a valorilor inducției magnetice în planul discului contorului de inducție monofazat. Evidențierea acestui aspect, neatatat în literatura de specialitate, și luarea în considerare a distribuțiilor reale ale inducției magnetice permite explicarea mai corectă a fenomenelor din contor, reprezentând totodată o etapă esențială în rezolvarea problemelor importante arătate la sfîrșitul subcapitolului 6.1.

CONCLUZII SI CONTRIBUTII

Metodele numerice de calcul al cîmpului magnetic cunosc astăzi o tot mai largă utilizare în calculele electrotehnice, facilitată de accesul la tehnica de calcul modernă. Folosind metodele numerice de calcul al cîmpului magnetic se pot stabili repartițiile spațiale ale cîmpului magnetic în mașini și apărături electrice, în alte instalații electrotehnice, repartitia ce influențează performanțele lor tehnice și economice. Metodele numerice de calcul al cîmpului magnetic se pot aplica pe configurații geometrice ale sistemelor magnetice complexe, în care distribuția curentilor de conductie este complicată, luîndu-se în considerare caracteristicile de magnetizare neliniare ale unor medii.

Cercetările actuale pe plan mondial în domeniul metodelor numerice de calcul al cîmpului magnetic urmăresc generalizarea și perfecționarea acestor metode, creșterea vitezei de convergență a metodelor iterative, elaborarea unor algoritmi de calcul simpli și creaarea de programe competitive pe baza lor.

Multe lucrări de specialitate expun principiile unor metode numerice de calcul al cîmpului magnetic și rezultatele concrete obținute în anumite aplicații, omitîndu-se de regulă prezentarea algoritmilor de calcul și a programelor corespunzătoare. Conceperea unor algoritmi de calcul simpli, cu aplicabilitate mai largă, este esențială în realizarea unor programe de calcul economice. Scrierea unui program, conform unui algoritm precizat, bazat pe o anumită metodă numerică și depanarea lui pînă la eliminarea tuturor erorilor, deși aparent este o problemă de rutină pentru un programator calificat, reclamă un buget de timp mult mai mare decît cel necesar pentru însușirea metodei și adaptarea ei la o anumită aplicație dată. Absența informațiilor concrete în acest domeniu este justificată de caracterul secret sau cel puțin confidențial al algoritmilor și programelor, de protecționismul desfacerii lor către utilizatori.

Prezenta teză de doctorat este rezultatul cercetărilor autorului. În domeniul metodelor numerice de calcul al cîmpului magnetic ovașistionar plan-paralel, ea însoriindu-se în problematica de cercetare de mai sus. Problemele rezolvate în teză pot fi grupate astfel:

1. Studiul comparativ al metodelor diferențelor finite și elementelor finite în variantele uzuale, din punctul de vedere al erorilor de formulare și discretizare, al vitezei de convergență, al volumului de resurse solicitate calculatorului și al facilității de implementare;

2. Generalizarea unei metode numerice cu diferențe finite iterativă de calcul al cîmpului magnetic cvasistacionar plan-paralel, prin extindere pe rețea rectangulară periodică cu pas neegal, cu avantajele arătate în subcapitolul 3.1.. Problema de cîmp se rezolvă în raport cu valorile componentelor vectorilor \bar{H} al intensității cîmpului magnetic și \bar{B} al inducției magnetice în nodurile rețelei de discretizare, aspect care, în comparație cu rezolvarea problemei de cîmp în raport cu valorile potențialului magnetic vector sau scalar, reprezintă un avantaj în considerarea condițiilor de frontieră referitoare la domeniul plan D de existență a cîmpului magnetic și în exprimarea relației neliiniare dintre B și H pentru mediile neliiniare.

Ecuatiile cu diferențe finite (3.9, 3.10) scrise pentru un element al domeniului D nu se asamblă pentru multimea elementelor de discretizare ale domeniului D într-un sistem, ele rezolvîndu-se prin iterare pe întreaga rețea de discretizare, conform unor relații speciale, ceea ce conferă metodei un caracter de sine stătător.

Prezentarea metodei numerice cu diferențe finite iterativă, extinsă pe rețea rectangulară periodică cu pas neegal, este întregită prin includerea în prezentare a algoritmului de calcul conceput și a programului scris în limbajul FORTRAN IV pentru un exemplu de calcul;

3. Analiza unor factori de influență a vitezei de convergență a metodei numerice cu diferențe finite iterativă, extinsă pe rețea rectangulară periodică cu pas neegal.

Sunt analizate din punctul de vedere al influenței asupra vitezei de convergență expresia analitică de aproximare a caracteristicii de magnetizare neliiniară $B(H)$ a mediului neliiniar, modul de baleiere a elementelor în procesul de explorare ordonată a lor în vederea iterării ecuațiilor cu diferențe finite (3.9, 3.10) și valoarea coeficientului de relaxare k_x din relațiile (3.76, 3.77);

4. Elaborarea unei metode numerice cu diferențe finite recurrentă de calcul rapid al valorilor componentelor vectorilor \bar{H}

și \bar{B} în nodurile unei rețele de discretizare rectangulară periodică cu pas neegal a unui domeniu plan dreptunghiular, la care se cunosc valorile componentelor lui \bar{H} și/sau \bar{B} în nodurile de pe două laturi vecine ale domeniului. Si prezentarea acestei metode este întregită prin includerea în prezentare a algoritmului de calcul conceput și a programului scris în limbajul FORTRAN IV pentru un exemplu de calcul;

5. Determinarea prin calcul cu metoda cu diferențe finite iterativă, extinsă pe rețea rectangulară cu pas neegal, a distribuției valorilor inducției magnetice într-o secțiune mediană a contorului de inducție monofazat CAM-7 și verificarea experimentală a rezultatelor în planul discului.

Principalele contribuții originale ale autorului în cadrul celor 5 grupe de probleme enunțate sunt următoarele:

1.1. Demonstrarea egalității erorilor de formulare și de discretizare corespunzătoare metodelor diferențelor finite și elementelor finite în variantele uzuale;

1.2. Demonstrarea identității vitezelor de convergență la cele două metode comparate, ca urmare a identității părților omogene ale sistemelor de ecuații algebrice asamblate pentru întregul domeniu de existență a cîmpului magnetic;

2.1. Fundamentarea matematică a metodei numerice cu diferențe finite iterativă, generalizată prin extindere pe rețea rectangulară periodică cu pas neegal. În cadrul fundamentării matematice se demonstrează o procedură simplificată de substituire a ecuațiilor diferențiale cu derivate partiale (3.3, 3.4) cu ecuațiile cu diferențe finite (3.9, 3.10);

2.2. Conceperea unui algoritm de calcul simplu, cu aplicabilitate generală;

2.3. Elaborarea unui program de calcul în limbajul FORTRAN IV pentru determinarea distribuției cîmpului magnetic cvasistatician plan-paralel în cadrul unui cîrclu. Programul are un caracter general, el putînd fi utilizat pentru configurații geometrice ale sistemelor magnetice și repartiții de curenti de conductie diferite, cu modificări ce definesc datele inițiale;

3.1. Elaborarea a trei noi expresii analitice de aproximare a curbei de magnetizare neliniară $B(H)$: funcția spline de ajustare și funcția segmentar polinomială de gradul 2, caracterizate prin netezime și precizie și care asigură în punctele de joncțiu-

ne a segmentelor continuitatea unor dependențe derivate din ele și funcția hiperbolică completată cu termen liniar;

3.2. Evidențierea influenței expresiei analitice de aproximare a curbei de magnetizare neliniară $B(H)$ asupra vitezei de convergență;

3.3 Stabilirea unei valori optime a coeficientului de relaxare k_r , pentru care viteză de convergență este maximă;

4.1. Fundamentarea matematică a metodei numerice cu diferențe finite recurrentă de calcul rapid al cîmpului magnetic cvasistatioran plan-paralel;

4.2. Conceperea algoritmului de calcul corespunzător;

4.3. Elaborarea unui program de calcul în limbajul FORTRAN IV, pentru determinarea rapidă a distribuției cîmpului magnetic cvasistatioran plan-paralel pe o configurație dreptunghiulară, la care se cunosc valorile componentelor vectorilor \bar{H} și/sau \bar{B} în nodurile de pe două laturi vecine ale configurației;

5.1. Aplicarea metodei cu diferențe finite iterativă, extinsă pe rețea rectangulară cu pas neegal, la calculul distribuției valorilor inducției magnetice într-o secțiune mediană a contorului de inducție monofazat CAM-7, în condițiile exploatarii avantajelor metodei rezultate prin generalizarea sa.

*

*

Prezenta teză de doctorat a fost elaborată, în principal, în perioada 1979 - 1982.

Elaborarea tezei de doctorat a avut loc sub îndrumarea competentă și generoasă a conducătorului științific, prof.dr.ing. De Sabata Ioan, față de care autorul nutrește sentimente de stimă și respect; autorul îi mulțumește și pe această cale pentru sprijinul și sfaturile acordate la elaborarea tezei.

Autorul aduce multumiri prof.dr.ing. Pop Eugen, sub a cărui îndrumare s-a format profesional și ale cărui sugestii și încurajări au contribuit substanțial la finalizarea tezei de doctorat.

De asemenea, autorul mulțumește prof.dr.ing. Fränkel David pentru discuțiile utile purtate în timpul redactării finale a tezei.

În încheiere, autorul mulțumește conducerii Catedrei de electronică și măsuri, colegilor de catedră și tuturor celor care l-au ajutat în diverse ocazii și sub diferite forme.

BIBLIOGRAFIE.

1. Andersen, O.W. : Transformer leakage flux program based on the finite element method. IEEE PES Summer Meeting, San Francisco, iul. 1972, p.682.
2. Andronescu, P. : Bazele electrotehnicii, vol.1, 2. Editura didactică și pedagogică, București, 1974.
3. Angot, A. : Complemente de matematici pentru inginerii din electrotehnica și telecomunicații. Editura tehnică, București, 1966.
4. Apsit, V., V., Bondarenko, B.A. : Konecino-raznostnii metod rasceta magnitnih polei. Bezkontaktnie elektriceskie mašini, Riga, nr. 13, 1974, p.87.
5. Armor, A., Chari, M.V.K. : Heat flow in the stator core of large turbine-generators by the method of three-dimensional finite elements. IEEE Transaction on PAS, vol.PAS-95, nr.5, 1976, p. 1648.
6. Baškanskii, E.G., ş.a. : Aprobatiya variacionnogo metoda rasceta magnitnogo polia. Voprosi avtomatizatsii tehnologicheskikh i proizvodstvennykh protsessov, Jaroslav, nr.2, 1978, p.65.
7. Baškanskii, E.G., ş.a. : Variacionnii metod rasceta magnitnogo polia v nelineinih neodnorodnih sredah s pomočiu obobscennogo funkcionala. Elektricestvo, nr.7, 1977, p.85.
8. Beckert, V., Rieck, H., : Darstellung von Magnetisierungskurven durch kubische Spline-Functionen. Zeitschrift fur Elektrotechnik, Informatik und Energietechnik, 10, nr.1, 1980, p.69.
9. Biro, O. : Variational method for numerical calculation of stationary magnetic field in ferromagnetic medium. 23. Int. Wiss. Kollog. TH Ilmenau, Vortragsreihe "Teoretische Elektrotechnik", Heft 4, 1978, p.85.
10. Biuler, G.A. : Novii metod rasceta elektromagnitnih polei. Defektoscopia, nr.4, 1979, p.71.
11. Bodaiksin, A.I., : Metod rasceta magnitnih polei. Izdatelstvo Nauka, Moskva, 1968.
12. Brașovan, I., Gherman, Gh. : Măsurarea mărimilor electrice și magnetice. Probleme. Editura Facla, Timișoara, 1978.
13. Cârstea, I. : Calculul numeric al cîmpului magnetic de

dispersie în transformatoare prin metoda elementelor finite. EEA-Electrotehnica, nr.2, 1980, p.53.

14. Cecernikov, V.I. : Magnitnîe izmerenia. Izdatelstvô moskovskogo universiteta, Moskva, 1963.

15. Cedighian, S. : Materiale magnetice. Editura tehnică, Bucureşti, 1974.

16. Chari, M.V.K., Silvester, P. : Analysis of turboalternator magnetic fields by finite elements. IEEE Transaction on PAS, vol. PAS-90, nr.2, 1971, p.451.

17. Chari, M.V.K., ş.a. : Load characteristics of synchronous generators by the finite element method. IEEE Transaction on PAS, vol.PAS-100, nr.1, 1981, p.1.

18. Costache, Gh., Della Giacomo, E. : Nonlinear magnetic problems treated by the finite elements method. Rev. Roum. Sci. tech., ser. Elth. et Energ., 21, nr.4, 1976, p.481.

19. Craiu, M., Roşculeţ, M.N. : Ecuaţii diferenţiale aplicative. Editura didactică şi pedagogică, Bucureşti, 1971.

20. Decréton, M. : Calcul des champs électromagnétiques par la méthode des éléments finis. Bulletin de l'Association Suisse des Electriciens, nr.19, 1973, p.1196.

21. De la Valee Pousssin, F., Lion, A. : Calcul itératif de l'induction magnétique dans les machines électriques. Revue générale d'électricité, tom 76, nr.4, 1967, p.731.

22. Della Giacomo, E., ş.a. : Cercetarea distribuţiei cîmpului magnetic în circuitele în circuitele cu magneti permanenţi din aparatelor de măsură. Protocol la contractul de cercetare ştiinţifică nr.443/1979 dintre ICPE Bucureşti şi IAEM Timişoara.

23. Demerdash, N.A., Nehl, T.W. : An evaluation of the methods of finite elements and finite differences in the solutions of nonlinear electromagnetic fields in electrical machines. IEEE transaction on PAS, vol.PAS-98, nr.1, 1979, p.74.

24. Demidovici, B.P., Maron, I.A. : Elements de calcul numérique. Editions MIR, Moscou, 1973.

25. Demircian, K.S., ş.a. : Realizatia metoda konečinîh elementov na EVM dlia rasceta dvuhmernîh elektriceskih i magnitnîh polei. Izvestia AN SSSR, Energetika i transport, nr.1, 1974, p.142.

26. De Sabata, I. : Bazele electrotehnicii. Curs, vol.1.

Institutul politehnic "T. Vuia" Timișoara, 1980.

27. De Sabata, I. : Bazele electrotehnicii. Curs, vol.2.

Institutul politehnic "T. Vuia" Timișoara, 1974.

28. Di Monaco, A., ş.a. : Studio de campi electrici și magnetici stazionari con il metodo degli elementi finiti. L'Electrotehnica, LXII, nr.7, 1975, p.585.

29. Dorn, W.S., McCracken, D.D. : Metode numerice cu programare în FORTRAN IV. Editura tehnică, București, 1976.

30. Dumitrescu, S., ş.a. : Aplicații ingineresti ale calculatoarelor cu exemple din industria petrolieră și petrochimică. Editura didactică și pedagogică, București, 1974.

31. Durand, E. : Electrostatique, tome I. Masson et Cie, Paris, 1964.

32. Fisher, J., Moser, H. : Die Nachbildung von Magnetisierungskurven durch einfache algebraische oder transzendentale Funktionen. Archive für Elektrotechnik, 42 Bd., Heft 5, 1956, p.286.

33. Foggia, A., Sabonnadiere, J.C. : Les équations de Maxwell en électrotechnique et leur résolution numérique par une méthode d'éléments finis. Revue de physique appliquée, tome 14, fevr.1979, p.439.

34. Foggia, A., ş.a. : Finite element solution of saturated travelling magnetic field problems. IEEE Transaction on PAS, vol. PAS-94, 1975, p.866.

35. Gherman, Gh., Chivu, M. : Studiul cîmpului magnetic din contorul de inducție monofazat. Lucrările sesiunii științifice dedicată aniversării centenarului independenței de stat a României, I.P. "T. Vuia" Timișoara, mai 1977, p.29.

36. Gherman, Gh., Cîrmu, I. : Aproximarea curbelor de magnetizare cu funcții spline de ajustare și determinarea unor dependențe derivate utilizate în unele metode numerice de calcul al cîmpului magnetic. EEA-Electrotehnica, nr.1, 1981, p.13.

37. Gherman, Gh. : Extinderea unei metode numerice de calcul al cîmpului magnetic stationar. Redactată.

38. Gherman, Gh., Nemes, M. : Cercetări privind proiectarea asistată de calculator a contorului de energie electrică monofazat. Protocol la contractul de cercetare științifică nr.309/1979 dintre IPTV Timișoara și IAEM Timișoara.

39. Godunov, S.K., Reabenki, V.S. : Scheme de calcul cu diferențe finite. Editura tehnică, București, 1977.
40. Golovanov, C. : Contribuții la studiul influenței armonicilor de tensiune și de curent asupra funcționării aparatelor electrice de măsurat. Teză de doctorat, Institutul politehnic "Gh. Gheorghiu-Dej", București, 1974.
41. Gorjunov, P.N., ş.a. : Elektriceskie scetci. Gosudarstvennoe energeticeskoe izdatelstvo, Leningrad-Moskva, 1951.
42. Hannalla, A.Y., Macdonald, D.C. : The calculation of machine transient performance. IEEE Transaction on Magnetics, vol. MAG-13, nr.5, 1977, p.1134.
43. Hăntilă, F. : On the uniqueness theorems of the stationary and quasistationary electromagnetic fields in nonlinear media. Revue roumaine des sciences techniques, série électrotechnique et énergétique, tom 20, nr.1, 1975, p.211.
44. Iliukovici, A.M. : Elektriceskie scetci. Gosudarstvennoe energeticeskoe izdatelstvo, Moskva, 1963.
45. Ionescu, D.V. : Ecuatii diferențiale și integrale. Editura didactică și pedagogică, București, 1972.
46. Ixaru, G.I. : Metode numerice pentru ecuații diferențiale cu aplicații. Editura Academiei RSR, București, 1979.
47. Keptine, D.F., ş.a. : Konechno-raznostnîi metod rasceta magnitnîh polei na ETVM. Izvestia AN Latvinskoi SSR, seria fizicheskikh i tehnicheskikh nauk, nr.4, 1973, p.91.
48. Kiatkin, R.P., Rojnova, I.P. : Shodimosti iterationnîh metodov rešenia stationarnîh zadacii teorii polia. Izvestia AN SSSR, Energetika i transport, nr.4, 1980, p.173.
49. Kifer, I.I. : Ispitanie ferromagnitnîh materialov. Izdatelstvo knerghis, Moskva, 1969.
50. Kopchenova, N.V., Maron, I.A. : Computational Mathematics. Worked examples and problems with elements of theory. Mir Publishers, Moscow, 1975.
51. Kuzovleva, V.I., Pekker, I.I. : Aproximația krivih namagnicivania pri rasceta na TVM. Izvestiâ višsikh ucebnih zavedenii, Elektromechanika, nr.6, 1965, p.611.
52. Maergoiz, I.D. : Iterationnie metodi rasceta staticeskikh polei v neodnorodnîh, anizotropnîh i nelineinîh sredah. Nauk dumke,

Kiev, 1979.

53. Maergoiz, I.D. : O rascete stationarnih magnitnih polei v nelineinoi ferromagnitnoi srede. Kibernetika i vichislitelnaia tehnika, Kiev, nr.42, 1978, p.95.

54. Marciuk, G.I., Saidurov, V.V. : Creșterea preciziei soluțiilor în scheme cu diferențe. Editura Academiei RSR, București, 1981.

55. Marinescu, Gh., s.a. : Probleme de analiză numerică. Editura didactică și pedagogică, București, 1978.

56. Micula, Gh. : Funcții spline și aplicații. Editura tehnică, București, 1978.

57. Mišin, V.I., Sobar, I.V. : Aproximatiia krivih namagnici-vania kubiceskimi splainami. Izvestia viših ucebnih zavedenii, Energetika, nr.7, 1978, p.123.

58. Mocanu, C.I. : Teoria cîmpului electromagnetic. Editura didactică și pedagogică, București, 1981.

59. Niculescu, S.: FORTRAN. Inițiere în programare structurată. Editura tehnică, București, 1979.

60. Oancea, I. : Programarea calculatoarelor numerice pentru rezolvarea problemelor cu caracter tehnic și de cercetare științifică. Editura Dacia, Cluj-Napoca, 1973.

61. Pop, E., Chivu, M. : Măsuri electrice și magnetice, vol. II. Institutul politehnic "T. Vuia" Timișoara, 1969.

62. Pop, E., Gherman, Gh., Stoicănescu, I. : Studierea unei tehnologii de montare a circuitelor magnetice la contorul monofazat în vederea eliminării influențelor dăunătoare cauzate de asimetrii. Protocol la contractul de cercetare științifică nr.144/1976 dintre IPTV Timișoara și IAKM Timișoara.

63. Phillipow, E. : Nichtlineare Elektrotechnik. Akademische Verlagsgesellschaft Geest u. Portig, Leipzig, 1963.

64. Rădulet, R. : Bazele electrotehnicii. Probleme. Editura didactică și pedagogică, București, 1970.

65. Rosculeț, M. : Analiză matematică. Editura didactică și pedagogică, București, 1979.

66. Silvester, P., Chari, M.V.K. : Finite element solution of saturable magnetic field problems. IEEE Transaction on PAS, vol. PAS-89, 1970, p.1642.

67. Silvester, P., ş.a. : Efficient techniques for finite elements analysis of electric machines. IEEE PES Winter Meeting, New York, ian.-febr., 1973, p.1274.

68. Simonyi, K. : Electrotehnica teoretică. Editura tehnică, Bucureşti, 1974.

69. Soran, I.F. : Studiul configurației cîmpului magnetic în întrefierul mașinii de inducție și influența ei asupra parametrilor de pornire. Teză de doctorat. Institutul politehnic "T. Vuia" Timișoara, 1979.

70. STAS 4198/1, 2, 3 - 68. Contoare electrice de curent alternativ pentru energie electrică activă și reactivă.

71. Sukazov, E.A., ş.a. : Magnitnie materiali. Izdatelstvo leningradskogo universiteta, Leningrad, 1974.

72. Suzuki, Y., ş.a. : Three dimensional analysis of alternating magnetic field by finite element method. Proc. 13 th. Intern. Energy Covers. Eng. Conf., San Diego, vol.2, 1978, p.1366.

73. Sora, C. : Bazele electrotehnicii. Curs, partea II, vol. 2. Institutul politehnic "T. Vuia" Timișoara, 1973.

74. Terzian, A.A., Sukiasian, G.S. : K opredeleniu magnitnih polei cislenimi metodami. Izvestia AN SSSR, Energetika i transport, nr.5, 1977, p.115.

75. Timotin, A., ş.a. : Lectii de bazele electrotehnicii. Editura didactică și pedagogică, Bucureşti, 1974.

76. Tiron, M. : Teoria erorilor de măsurare și metoda celor mai mici patrate. Editura tehnică, Bucureşti, 1972.

77. Toma, M., Odăgescu, I. : Metode numerice și subrutine. Editura tehnică, Bucureşti, 1980.

78. Tozoni, O.V. : Rascet elektromagnitnih polei na viciștilenih mașinah. Izdatelstvo Tehnika, Kiev, 1967.

79. Trakai, V.G. : Okrasete osesimetricinogo staticeskogo magnitnogo polia v nelineinoi ferromagnitnoi srede. Dokladi AN USSR, A, nr.7, 1979, p.574.

80. Trakai, V.G. : Rascet osesimetricinikh magnitnih polei v ferromagnitnih sredah. Izvestia AN SSSR, Energetika i transport, nr.1, 1980, p.87.

81. Trutt, F.C. : Representation of the magnetization characteristic of DC machines for computer use. IEEE Transaction on PAS,

vol.PAS-3, 1968, p.605.

82. Trutt, F.C., și a. : The nonlinear potential equation and its numerical solution for highly saturated electrical machines. IEEE Transaction Aerosp., nr.1, 1963, p.430.

83. Tugulea, A., Timotin, A. : Condițiile de unicitate în determinarea cîmpurilor electrostatic și magnetic cvasistacionar în materiale neliniare cu polarizare reversibilă și magnetizare reversibilă. Studii și cercetări de energetică și electrotehnică, tom 15, nr.3, 1965, p.531.

84. Wassow, W., Forsythe, G. : Finite difference methods for partial differential equations. Wiley, New York, 1960.

85. Wiener, U. : Măsurări electrice industriale, vol.2. Măsurarea mărimilor magnetice. Editura tehnică, București, 1969.

86. Zenkevici, O. : Metod konečiných elementov v tehnike. Izdatelstvo Tehnika, Moskva, 1974.

IMFILE FORTRAN
PTED
16

CD126H04 15/10/82 14.59.1

ANEXA A1

```
1 EXTERNAL HMIN, HMMIN, UYMA, DUYMA, APPROX
2 COMMON HX(5,5), HY(5,5), H(5,5), BX(5,5),
3 *BY(5,5), B(5,5), JZ(16), HED(5,5), AMIUD
4 *PX, PY, PXPY, PYBX, PXPY, PYPY, NNX, NNY, NEX, NEY
5 */TA, HC(12), BC(12), AT(12), HIC(12), TA, HCC(12)
6 REAL X, Y, H, T, R
7 !I(X1,X2)=(X1+X2)/2=0.5
8 PX=0.5
9 PY=0.5
10 PXPY=PY
11 PYPX=PX
12 PXPY*PY/(PX*PY)=0.5
13 PYPX*PX/(PX*PY)=0.5
14 NNX=5
15 NNY=5
16 NEX=NNX=1
17 NEY=NNY=1
18 NET=NEX=NEY
19 DO I, I=1, NNY
20 DO J, J=1, NNX
21 HED(I,J)=1
22 1 CONTINUE
23 HED(1,1)=0
24 HED(1,2)=0
25 HED(2,1)=0
26 HED(2,2)=0
27 DO 68 I=1, NEY
28 69 JZ(I)=150000
29 JZ(1)=150000
30 AMIUD=26*ATAN((I-1)*PI/2*(-7))
31 FHMAX=85.
32 EBMAX=0.005
33 DO 63 I=1, NNY
34 DO 63 J=1, NNX
35 HX(I,J)=FHMAX
36 HY(I,J)=FHMAX
37 63 CONTINUE
38 CALL TEST(RX, HX, HY, 'Y')
39 CALL CHAL
40 DO 67 I=1, NNY
41 DO 67 J=1, NNX
42 H(I,J)=H(I,J)+2*UY(I,J)+2*0.5
43 AMIUD=AMIUD
44 IF(HED(I,J).EQ.0) GOTO 66
45 AMIUD=HMIN(H(I,J));
46 66 RX(I,J)=HX(I,J)+AMIUD
47 BY(I,J)=HY(I,J)+AMIUD
```

CD126H04 15/10/82 14.59.1

ANEXA A1 (continuare)

```

48      B(I,J)=(BX(I,J)+2*BY(I,J)+2)/6.5
49
50      CONTINUE
51      IT=0.
52      MEB=0.
53      NRH=1
54      NRB=1
55      IT=IT+1
56      DO 11 J=1,NEY
57      DO 11 J=1,NEX
58      NRZ(I-1)=NEX+J
59      EH=PX*(HX(I+1,J)-HX(I,J+1))-DX*(I,J+1)-DX*(I,J))+
60      *PY*(-HY(I+1,J)+HY(I,J+1))+V(I,J+1)-V(I,J))
61      *2*FX*PY*HZ(HR)
62      IF(LE-ED) GOTO 45
63      IF(HEB.GE.ARR(ER)) GOTO 47
64      MEB=ABZ(EH)
65      NRH=ABZ(EH)
66      NRH=(I-1)-NEX+1
67      CALL THSI(I,J,TH,UIHR,UIHB)
68      CRELSD=55
69      IF(IT.LE.70) CRELSD=90*IT/100000
70      ZH=TH*(PX*PY)+0.25*PFL
71      DELTAB=EH/ZH
72      DELTABX=PY*PX*DELTAB
73      DELTABY=PY*PY*DELTAB
74      BX(I+1,J)=BX(I+1,J)-PFLTAH
75      RX(I+1,J+1)=RX(I+1,J+1)-PFLTAY
76      BX(I,J+1)=BX(I,J+1)-PFLTARY
77      BY(I,J)=BY(I,J)-PFLTABY
78      RY(I+1,J+1)=RY(I+1,J+1)-PFLTARY
79      NY(I,J+1)=RY(I,J+1)-PFLTAHY
80      RY(I,J)=RY(I,J)-PFLTAHY
81      CALL TEST(BX,RX,BY,RY)
82      R(I+1,J)=RI(RX(I+1,J),RY(I+1,J))
83      H(I+1,J+1)=RI((BX(I+1,J+1),RY(I+1,J+1)))
84      R(I,J+1)=RI(RX(I,J+1),RY(I,J+1))
85      B(I,J)=K1(B(I,J),RY(I,J))
86
87      CALL CALCH(I,J,UYHR)
88      H(I+1,J)=PI(HX(I+1,J),HY(I+1,J))
89      H(I+1,J+1)=PI(HX(I+1,J+1),HY(I+1,J+1))
90      H(I,J+1)=PI(HX(I,J+1),HY(I,J+1))
91      H(I,J)=RI(HX(I,J),HY(I,J))
92      EB=PY*(BX(I+1,J)-BX(I,J+1))-DX*(I,J+1)-DX*(I,J))+
93      *PX*(BY(I+1,J)-BY(I,J+1))-BY(I,J+1)-BY(I,J)
94      IF(EB.LE.ED) GOTO 45
95      IF(HEB.GE.ARR(ER)) GOTO 48

```

CN12GH04 15/10/82 14.59-1

ANEXA A1 (continuare)

```

48 B(I,J)=(BX(I,J)*#2+HY(I,J)*#2)/#0.5
49 CONTINUE
50 IT=0
51 MEH=0
52 MEB=0
53 NRH=1
54 NRB=1
55 IT=1,T+1
56 DO 11 J=1,NEY
57 DO 11 I=1,NEX
58 NR=(I-1)*NEX+J
59 EME=PX*(HX(I+1,J)+HX(I,J+1)+HX(I,J+1)+HX(I,J))+
60 *PY*(HY(I+1,J)+HY(I,J+1)+HY(I,J+1)+HY(I,J+1))
61 *PFX*PY*HZ(H)
62 IF(LE>P) GOTO 45
63 IF(HEH.GE.ARBL(H)) GOTO 47
64 MEH=ARBL(H)
65 NRH=PI(H)-NEX+1
66 CALL TS(I,J,TH,UIMH,UIMH)
67 CREL=0.55
68 IF(IT.LE.-70) CREL=0.9*TS/10#0.85
69 RIMTH=(PXF*PY)*#0.5*PRL
70 DELTABE=EE/2H
71 DELTABA=PY*PXY*#DELTAB
72 DELTABY=PY*PXY*#DELTAB
73 BX(I+1,J)=BX(I+1,J)+DELTABX
74 BX(I+1,J+1)=BX(I+1,J+1)+DELTABX
75 BX(I,J+1)=BX(I,J+1)+DELTABX
76 BX(I,J)=BX(I,J)+DELTABX
77 BY(I+1,J)=BY(I+1,J)+DELTABY
78 BY(I+1,J+1)=BY(I+1,J+1)+DELTABY
79 BY(I,J+1)=BY(I,J+1)+DELTABY
80 BY(I,J)=BY(I,J)+DELTABY
81 CALL TEST(BA,RY,IT)
82 BC(I+1,J)=P1(PX(I+1,J),RY(I+1,J))
83 BC(I+1,J+1)=P1(PX(I+1,J+1),RY(I+1,J+1))
84 BC(I,J+1)=P1(PX(I,J+1),RY(I,J+1))
85 BC(I,J)=P1(PX(I,J),RY(I,J))
86 CALL CALCH(I,J,UIMH)
87 HC(I+1,J)=P1(HX(I+1,J),HY(I+1,J))
88 HC(I+1,J+1)=P1(HX(I+1,J+1),HY(I+1,J+1))
89 HC(I,J+1)=P1(HX(I,J+1),HY(I,J+1))
90 HC(I,J)=P1(HX(I,J),HY(I,J))
91 EB=PY*(BX(I+1,J)+BX(I,J+1)+BX(I,J+1)+BX(I,J))
92 PFX=(RY(I+1,J)+RY(I,J+1)+RY(I,J+1)+RY(I,J))
93 IF(LB>P) GOTO 45
94 IF(HEB.GE.ARBL(H)) GOTO 47

```

CD1261103 15/10/82 14-57-1

ANEXA A1 (continuare)

```

95      MEB=ABS(EP)
96      NRB=PIE1)*NEX+J
97
98 48 CALL TBS(I,J,TB,MMI1,MMI1)
99      ZBZTB,(PX*PY)*0.5*REL
100     DELTAH=EB/ZA
101     DELTAHX=FYPXY*DFLTAH
102     DELTAHY=FYPXY*DFLTAH
103     HX(I+1,J)=HX(I+1,J)+DFLTAH
104     HX(I+1,J+1)=HX(I+1,J+1)+DFLTAH
105     HX(I,J)=HY(I,J)+DFLTAH
106     HY(I+1,J)=HY(I+1,J)+DFLTAHY
107     HY(I+1,J+1)=HY(I+1,J+1)+DFLTAHY
108     HY(I,J)=HY(I,J)+DFLTAHY
109
110     CALL TEST(RX,MX,RY,YY)
111     H(I+1,J)=R1(HX(I+1,J),HY(I+1,J))
112     H(I+1,J+1)=R1(HX(I+1,J+1),HY(I+1,J+1))
113     H(I,J)=R1(HX(I,J),HY(I,J))
114
115 46 CALL CALCP(I,J,MMI1)
116     B(I+1,J)=R1(RX(I+1,J),RY(I+1,J))
117     B(I+1,J+1)=R1(RX(I+1,J+1),RY(I+1,J+1))
118     B(I,J)=R1(RX(I,J),RY(I,J))
119
120 11 CONINUE
121     WRITE(108,49) TT,MEH,MRH,MEB,NRB
122 49 FORMAT(120,TT,I3,5X,MEH,MRH,MEB,NRB,
123 *5X,MEB,MRH,MEH,MRH,I3)
124 *IF(TT<0.500) GOTO 55
125 IF(MEH.LE.EHMAX.AND.MRFLE>ERMAX) GOTO 55
126 GOTO 50
127
128 55 WRITE(108,2)
129     WRITE(108,3)((HX(I,1),J=1,NNX1,I=1,NNY))
130     WRITE(108,4)((HY(I,1),J=1,NNX1,I=1,NNY))
131     WRITE(108,5)((HE(I,1),I=1,NNX),J=1,NNY)
132     WRITE(108,6)((RY(I,1),I=1,NNX),J=1,NNY)
133     WRITE(108,7)((RX(I,1),J=1,NNX1,I=1,NNY))
134     WRITE(108,8)((RY(I,1),J=1,NNX1,I=1,NNY))
135     WRITE(108,9)((RC(I,1),I=1,NNX),J=1,NNY)
136 2 FORMAT(/,T20,'COMPONENTA LUI A IN DUBA AXA XY/')
137 *T20.'IN NODURILE RETELEI')
138 3 FORMAT(T10,5F10.1)

```

CD126104 15/10/82 14.59.11

```

142 4 FORMAT(/,T20,'COMPONENTA LUI A IN DUBA AXA XY/')
143 *T20.'IN NODURILE RETELEI')
144 5 FORMAT(/,T20,'INTENSITATEA A IN IN NODURILE RETELEI')
145 6 FORMAT(/,T20,'COMPONENTA LUI A IN DUBA AXA XY/')
146 *T20.'IN NODURILE RETELEI')
147 7 FORMAT(/,T20,'COMPONENTA LUI A IN DUBA AXA XY/')
148 *T20.'IN NODURILE RETELEI')
149 8 FORMAT(/,T20,'INDUCTIA A IN NODURILE RETELEI')
150 9 FORMAT(T10,5F10.1)
151 CALL CALCP
152 STOP
153 END

```

CD126104 15/10/82 15.00.11

ANEXA A1 (continuare)

```

SUBROUTINE CMAG
COMMON /TPHIC/BC(12),HC(12),AI(4),BI(4),TB,NCF(12)
64 READ(105,64)HC(I),I=1,12
FORMAT(12F6.2)
65 FORMAT(12F5.3)
DO I,I=1,6
AI(I)=0.
1 BI(I)=0.
AS=0.
AJ=0.
DO J,J=2,3
AS=AS+HC(J)*NCF(J)
2 AJ=AJ+HC(J)*T
AI(I)=AS/AJ
BI(I)=0.
BC(3)=AI(I)+HC(3)
AS=0.
AJ=0.
DO J,J=4,5
AS=AS+(HC(J)-HC(3))*BC(J)+NCF(3))/BC(I)*T
3 AJ=AJ+(HC(J)-HC(3))*T/AI(I)*T
AI(2)=AS/AJ
BI(2)=BC(3)-AI(2)*HC(3)
BC(5)=AI(2)+HC(5)-BI(2)
AS=0.
AJ=0.
DO 4 J=6,8
AS=AS+(HC(J)-HC(5))*BC(J)+NCF(5)/BC(I)*T
4 AJ=AJ+(HC(J)-HC(5))*T/AI(I)*T
AI(3)=AS/AJ
HI(3)=BC(5)-AI(3)*HC(5)
BC(8)=AI(3)+HC(8)-BI(3)
AS=0.
AJ=0.
DO 5 J=9,12
AS=AS+(HC(J)-HC(8))*BC(J)+NCF(8)/BC(I)*T
5 AJ=AJ+(HC(J)-HC(8))*T/AI(I)*T
AI(4)=AS/AJ
HI(4)=BC(8)-AI(4)*HC(8)
DO 6 I=1,3
6 BC(I)=AI(I)+HC(I)
DO 7 I=4,6
7 BC(I)=AI(2)+HC(I)+BI(2)
DO 8 I=6,8
8 BC(I)=AI(3)+HC(I)+BI(3)
DO 9 I=9,12
9 BC(I)=AI(4)+HC(I)+BI(4)

```

CF-1261189 15/10/82 15-90-1

```

9  RCC(I)=AI(4)+AC(I)+BI(I)
10 WRITE(100,10)(I,I=1,N),I=1,N)
11 FORMAT(120,2(F12.5,4X,''))
12 WRITE(100,11)(RCC(I),I=1,12)
13 FORMAT(12F12.5)
14 DO 17 I=1,12
15 BC(I)=RCC(I)
16 RETURN
17 END

```

CD1261104 15/10/82 15-00-5

ANEXA A1 (continuare)

```

SUBROUTINE CALCH(I, J, AMIU)
COMMON HX(5,5), HY(5,5), HI(5,5), BX(5,5),
*BY(5,5), BL(5,5), JL(16), MED(5,5), AMIU0,
*PX, PY, PXPY, PYPX, PXHY, PYPYXY, UNX, UNY, NEX, NEY
*/TA, HC(12), BC(12), AV(12), HY(12), TA, ACC(12)
IF(MED(I,J))=0 THEN
HX(I,J)=BX(I,J)/AMIU
HY(I,J)=BY(I,J)/AMIU
10 IF(MED(I+1,J))=0 THEN
HX(I+1,J)=BX(I+1,J)/AMIU
HY(I+1,J)=BY(I+1,J)/AMIU
11 IF(MED(I+1,J+1))=0 THEN
HX(I+1,J+1)=BX(I+1,J+1)/AMIU
HY(I+1,J+1)=BY(I+1,J+1)/AMIU
12 IF(MED(I,J+1))=0 THEN
HX(I,J+1)=BX(I,J+1)/AMIU
HY(I,J+1)=BY(I,J+1)/AMIU
RETURN
1 AMIU=1./UIMB(B(I,J))
HX(I,J)=BX(I,J)/AMIU
HY(I,J)=BY(I,J)/AMIU
GOTO 10
2 AMIU=1./UIMB(B(I+1,J))
HX(I+1,J)=BX(I+1,J)/AMIU
HY(I+1,J)=BY(I+1,J)/AMIU
GOTO 10
3 AMIU=1./UIMB(B(I+1,J+1))
HX(I+1,J+1)=BX(I+1,J+1)/AMIU
HY(I+1,J+1)=BY(I+1,J+1)/AMIU
GOTO 10
4 AMIU=1./UIMB(B(I,J+1))
HX(I,J+1)=BX(I,J+1)/AMIU
HY(I,J+1)=BY(I,J+1)/AMIU
RETURN
END

```

CD126H04 15/10/82 15-01-01

```

SUBROUTINE CALCH(I, J, AMIU)
COMMON HX(5,5), HY(5,5), HI(5,5), BX(5,5),
*BY(5,5), BL(5,5), JL(16), MED(5,5), AMIU0,
*PX, PY, PXPY, PYPX, PXHY, PYPYXY, UNX, UNY, NEX, NEY
*/TA, HC(12), BC(12), AV(12), HY(12), TA, ACC(12)
IF(MED(I,J))=0 THEN
BX(I,J)=HY(I,J)/AMIU
HY(I,J)=HY(I,J)/AMIU
10 IF(MED(I+1,J))=0 THEN
BX(I+1,J)=HY(I+1,J)/AMIU
HY(I+1,J)=HY(I+1,J)/AMIU
11 IF(MED(I+1,J+1))=0 THEN
BX(I+1,J+1)=HY(I+1,J+1)/AMIU
HY(I+1,J+1)=HY(I+1,J+1)/AMIU
12 IF(MED(I,J+1))=0 THEN
BX(I,J+1)=HY(I,J+1)/AMIU
HY(I,J+1)=HY(I,J+1)/AMIU
RETURN
1 AMIU=HMIU(H(I,J))
BX(I,J)=HY(I,J)/AMIU
HY(I,J)=HY(I,J)/AMIU
GOTO 10
2 AMIU=HMIU(H(I+1,J))
BX(I+1,J)=HY(I+1,J)/AMIU
HY(I+1,J)=HY(I+1,J)/AMIU
GOTO 10
3 AMIU=HMIU(H(I+1,J+1))
BX(I+1,J+1)=HY(I+1,J+1)/AMIU
HY(I+1,J+1)=HY(I+1,J+1)/AMIU
GOTO 10
4 AMIU=HMIU(H(I,J+1))
BX(I,J+1)=HY(I,J+1)/AMIU
HY(I,J+1)=HY(I,J+1)/AMIU
RETURN
END

```

CD126H04 15/10/82 15-01-11

6
10
11
12
13
14
15
16
17
18
19
20
21
22
23
24
25
26
27
28
29
30
31
32
33
34
35
36
37
38
39
40
41
42
43
44
45
46
47

ANEXA A1 (continuare)

```
SUBROUTINE TEST(A,B,C,D)
DIMENSION A(5,5),B(5,5),C(5,5),D(5,5)
NNX=5
DO 1 J=1,NNX
A(I,J)=0
B(I,J)=0
C(NNY,J)=0
1 D(NNY,J)=0
DO 2 I=1,NNY
A(I,NNX)=0
B(I,NNX)=0
C(I,I)=0
2 D(I,I)=0
RETURN
END
```

CD126H00 15/10/82 15.01.20

```
SUBROUTINE THSI(I,J,TH,UIMR,DUTMR)
COMMON HX(5,5),HY(5,5),H(5,5),BX(5,5),
BY(5,5),B(5,5),JZ(16),HEU(5,5),AMTUO,
PX,PY,PXPY,PYPX,PXPX,PYPXY,NHX,NHY,HEX,NEY
*/TA/HC(12),BC(17),AI(7),BI(4),TR/DC(12)
IF(HEU(I+1,J).EQ.1) GOTO 12
IF(J.EQ.I) GOTO 13
A1=(PXPY+PYPX)/AMTUO
GOTO 21
13 A1=PXPY/AMTUO
GOTO 21
17 IF(I.EQ.J-NEY.OR.I.NE.J) GOTO 19
A1=(PXPY+PYPX)+UIMR(B(I+1,J))+(PXPY+BX(I+1,J))**2+
*PYPX+BY(I+1,J)**2+BX(I+1,J)*BY(I+1,J))
*/B(I+1,J)*DUTMR(B(I+1,J))
GOTO 21
19 A1=FXPY+UIMR(B(I-1,J))+PXPY+BY(I+1,J)**2
*/B(I+1,J)*DUTMR(B(I+1,J))
21 IF(HEU(I+1,J+1).EQ.1) GOTO 22
A2=(PXPY+PYPX)/AMTUO
GOTO 31
22 IF(I.EQ.J-NEY.AND.J-NEY.NE.J) GOTO 23
IF(I.EQ.J-NEY.AND.J-EU.NE.J) GOTO 24
IF(I.EQ.J-NEY.AND.J-FU.NE.J) GOTO 25
A2=(PXPY+PYPX)+UIMR(B(I+1,J+1))+(PXPY+BX(I-1,J+1))**2+
*PYPX+BY(I+1,J+1)**2+BX(I+1,J+1)*BY(I+1,J+1))
*/B(I+1,J+1)*DUTMR(B(I+1,J+1))
GOTO 31
23 A2=FXPY+UIMR(B(I-1,J+1))+PXPY+BX(I+1,J+1)**2
*/B(I+1,J+1)*DUTMR(B(I+1,J+1))
GOTO 31
24 A2=FYPX+UIMR(B(I-1,J+1))+PYPX+HY(I+1,J+1)**2
*/B(I+1,J+1)*DUTMR(B(I+1,J+1))
GOTO 31
25 A2=0
31 IF(HEU(I,J+1).EQ.1) GOTO 32
IF(I.EQ.J) GOTO 43
A3=(PXPY+PYPX)/AMTUO
GOTO 41
33 A3=FYPX/AMTUO
GOTO 41
32 IF(I.EQ.1.OR.J.EQ.NEY) GOTO 33
A3=(PXPY+PYPX)+UIMR(B(I,J+1))+(PXPY+BX(I,J+1))**2+
*PYPX+BY(I,J+1)**2+BX(I,J+1)*BY(I,J+1))
*/B(I,J+1)*DUTMR(B(I,J+1))
GOTO 41
34 A3=PYPX+UIMR(B(I,J+1))+PYPX+BY(I,J+1)**2
CD126H00 15/10/82 15.01.20
```

6

48
49
50
51
52
53
54
55
56
57
58
59
60
61
62
63
64
65
66
67
68
69
70
71
72
73
74
75
76

ANEXA A1 (continuare)

```
* /B(I,J+1)=DUIMBL(B(I,J+1))  
41 IF(HED(I,J)=EU-1) GOTO 42  
IF(CIEC=I AND J=NE-1) GOTO 43  
IF(CINE=I AND J=EO-1) GOTO 44  
IF(CIEC=I AND J=EO-1) GOTO 45  
A2=(PXPY+PYPX)/AMTU  
GOTO 51  
63 A4=FYPX/AMTU  
GOTO 51  
64 A4=FXPY/AMTU  
GOTO 51  
45 A4=0  
GOTU 51  
62 IF(CIEC=I) GOTO 46  
IF(CIEC=I) GOTO 47  
A4=(PXPY+PYPX)+UIMB(B(I,J))+{PXPY*BX(I,J)}**2+  
*PYPX*B(I,J)**2+PXPY*B(I,J)  
*/B(I,J)*DUIMB(B(I,J))  
GOTO 51  
46 A4=FYPX*UIMB(B(I,J))+FYPX*B(I,J)**2  
*/B(I,J)*DUIMB(B(I,J))  
GOTO 51  
47 A4=FXPY*UIMB(B(I,J))+FXPY*BX(I,J)**2  
*/B(I,J)*DUIMB(B(I,J))  
51 TH=61+A2+A3+A4  
RETURN  
END
```

CD1261109 15/10/82 15.01.3'

```
SUBROUTINE TRS(I,J,TR,HMIU,DHMIU)  
COMMON HX(5,5),HY(5,5),H(5,5),PX(5,5),  
*BY(5,5),B(5,5),JZ(15),HEC(5,5),AMTU  
*PX,PY,PXPY,PYPX,PXPY,PYPX,HX,NY,NEX,NFY  
*/TA/HCC(12),BC(17),AT(5),R(45),TR,BCC(12)  
IF(HED(I+1,J)=EU-1) GOTO 12  
IF(CIEC=I) GOTO 13  
A1=(PXPY+PYPX)/AMTU  
GOTO 21  
13 A1=FYPX/AMTU  
GOTU 21  
12 IF(CIEC=NE AND CIEC=I) GOTO 19  
A1=(PXPY+PYPX)+HMIU(H(I+1,J))+{PYPX*HX(I+1,J)}**2+  
*PXPY*HY(I+1,J)**2+PXPY*HX(I+1,J)*HY(I+1,J)  
*/H(I+1,J)*DHMIU(H(I+1,J))  
GOTO 21  
14 A1=FYPX*HMIU(H(I+1,J))+FYPX*HX(I+1,J)**2  
*/H(I+1,J)*DHMIU(H(I+1,J))  
21 IF(HED(I+1,J+1)=EO-1) GOTO 22  
A2=(PXPY+PYPX)/AMTU  
GOTU 31  
22 IF(CIEC=NE AND CIEC=J AND J=NE) GOTO 23  
IF(CIEC=NE AND CIEC=J AND J=NEX) GOTO 24  
IF(CIEC=NE AND CIEC=J AND J=NEX) GOTO 25  
A2=(PXPY+PYPX)+HMIU(H(I+1,J+1))+{PYPX*HX(I+1,J+1)}**2+  
*PXPY*HY(I+1,J+1)**2+PXPY*HX(I+1,J+1)*HY(I+2,J+1)  
*/H(I+1,J+1)*DHMIU(H(I+1,J+1))  
GOTU 31  
23 A2=FXPY*HMIU(H(I+1,J+1))+PYPX*HX(I+1,J+1)**2  
*/H(I+1,J+1)*DHMIU(H(I+1,J+1))  
GOTU 31  
24 A2=FXPY*HMIU(H(I+1,J+1))+PXPY*HY(I+1,J+1)**2  
*/H(I+1,J+1)*DHMIU(H(I+1,J+1))  
GOTU 31  
25 A2=0  
31 IF(HED(I,J+1)=EU-1) GOTO 32  
IF(CIEC=I) GOTO 33  
A3=(PXPY+PYPX)/AMTU  
GOTU 41  
33 A3=FXPY/AMTU  
GOTU 41  
32 IF(CIEC=I OR J=EO-NEX) GOTO 33  
A3=(PXPY+PYPX)+HMIU(H(I,J+1))+{PYPX*HX(I,J+1)}**2+  
*PXPY*HY(I,J+1)**2+PXPY*HX(I,J+1)*HY(I,J+1)  
*/H(I,J+1)*DHMIU(H(I,J+1))  
GOTU 41  
34 A3=FXPY*HMIU(H(I,J+1))+PXPY*HY(I,J+1)**2  
CD1261109 15/10/82 15.01.3'
```

96

ANEXA A1(continuare)

```

48 *H(I,J+1)=DHMIU(H(I,J+1))
49 IF(MEDU(I,J),E4,1) GOT0 42
50 IF(I>E-1.AND.J>NE-1) GOT0 43
51 IF{I>E-1.AND.J<E-1} GOT0 44
52 IF{I>E-1.AND.J<E-1} GOT0 45
53 A4=PX?+BY?X?>AMIU0
54 GOT0 51
55 A4=PX?Y?>AMIU0
56 GOT0 51
57 A4=PY?X?>AMIU0
58 GOT0 51
59 A4=.
60 GOT0 51
61 IF(I>E-1) GOT0 46
62 IF(J>E-1) GOT0 47
63 A4=PX?+BY?X?>H(I,J)+BY?X?H(I,J)+BY?X?H(I,J)
64 *PXY?+BY?X?>H(I,J)+BY?X?H(I,J)+BY?X?H(I,J)
65 *H(I,J)=HMIU(H(I,J))
66 GOT0 51
67
68 A4=PX?Y?>HMIU(H(I,J))+PX?Y?H(Y?+J)992
69 *H(I,J)=HMIU(H(I,J))
70 GOT0 51
71 A4=PY?X?>HMIU(H(I,J))+PY?X?H(X?+J)992
72 *H(I,J)=HMIU(H(I,J))
73 51 T8Z1+A2+3+A0
74 RETURN
    END

```

CD126H04 15/10/82 15.01.4

```

1 SUBROUTINE CALCP
2 DIMENSION X(R),Y(R),AX(S,S),AY(S,S),AZ(S,S)
3 COMMON HX(S,S),HY(S,S),HZ(S,S),BX(S,S),
4 *BY(S,S),E(S,S),IZ(16),NE(5,5),AMIU0
5 *,PX,PY,DX,PYBX,PYBX,PYBY,NNX,NHY,NEX,NFY
6 DO 30 I=1,NNY
7   AZX(I,NNX)=0.
8 30 AZY(I,NNX)=0.
9 DO 31 J=1,NEX
10   AZX(NNY,J)=0.
11 31 AZY(NHY,J)=0.
12 DO 32 NI=1,NEX
13   I=NNY-NI
14 DO 32 NJ=1,NEX
15   J=NNX-NJ
16   AZX(I,J)=AZX(I,J)+AY(I,J)/2.*PX
17   AZY(I,J)=AZY(I,J)+(X(I+1,J)+BX(I,J))/2.*PY
18 DO 33 IE=1,NNY
19   DO 33 JE=1,NNX
20   33 AZ(I,J)=(AZX(I,J)+AY(I,J))/2.
21   WRITE(106,44)
22   FORMAT(1/4P20,'POTENTIALUL AY IN NODURILE RETELEI')
23   WRITE(106,34)((AZ(I,J),J=1,NNY),I=1,NNY)
24   FORMAT(110.5F12.3)
25   DLT=0.15
26   AUX=0.
27 DO 35 I=1,NEY
28   DO 35 J=1,NEX
29   IF(AUX>LT,AZ(I,J),AUX=AZ(I,J))
30   CONTINUE
31 35 IX=0
32   DO 36 NI=1,NFY
33   I=NNY-NI
34   DO 37 NJ=1,NEX
35   J=NNX-NJ
36   IF(POTL>E,AZ(I,J), GO TO 37
37   IX=IX+1
38   X(IX)=((J-1)*PX+APROX(AZ(I,J)+AY(I,J+1),PX,POT))
39   Y(IX)=((I-1)*PY
40   GO TO 36
41 37 CONTINUE
42 38 CONTINUE
43 DO 39 NJ=1,NEX
44   J=NNX-NJ
45   DO 40 NI=1,NEY
46   I=NNY-NI
47   IF(POTL>E,AZ(I,J), GO TO 40

```

CD126H04 15/10/82 15.01.4

ANEXA A1 (continuare)

```

FUNCTION DUM4B(B)
COMMON/I/A/HC(1?),BC(1?),AI(3),BI(4)
IF(B>=HC-BC(3)) GOTO 1
DUM4B=0.
GOTO 4
1 IF(B>=BC(5)) GOTO 2
DUM4B=BI(2)/AI(2)/B/R
GOTO 4
2 IF(B>=BC(8)) GOTO 3
DUM4B=BI(3)/AI(3)/B/R
GOTO 4
3 DUM4B=BI(4)/AI(4)/B/R
4 RETURN
END

```

EN126104 15/10/02 15-02-23

```
FUNCTION APPROX(Y1,Y2,a,x)
APPROX=(Y1-x)/(Y1-Y2)*a
RETURN
END
```

CD126H04 15/10/82 15-02-21

ANEXA A2

```

SUBROUTINE CMAG
DIMENSION X(12), Y(12), A(12,12), B(12), BIC(12)
COMMON/T1/A0,A1(11),HI(12)/T2/B1(12)
F1(XX,YY)=XX*(XX-YY)**2
F2(XX,YY,ZZ)=(XX-YY)**2*(XX-ZZ)**2
F3(XX,YY,ZZ)=(XX-YY)**2/ZZ
READ(105,64){HI(I),I=1,12}
64 FORMAT(12F6.0)
READ(105,65){B1(I),I=1,12}
65 FORMAT(12F6.3)
READ(105,23) RO
23 FORMAT(F11.4)
N=12
DO 15 I=1,N
15 X(I)=HI(I)
Y(I)=B1(I)
DO 1 I=1,N
DO 1 J=1,N
A{I,J}=0.
1 B{J}=0.
DO 2 I=2,N
2 A(1,1)=A(1,1)+(X(I)/Y(I))**2
DO 3 I=2,N
DO 4 J=I,N
A{1,I}=A(1,I)+F1(X(J),X(I-1))/Y(J)**2
4 B{I}=B(I)+F3(X(J),X(I-1),Y(J))
3 CONTINUE
DO 5 K=2,N
DO 6 I=K,N
DO 7 J=I,N
7 A(K,I)=A(K,I)+F2(X(J),X(K-1),X(I-1))/Y(J)**2
A(K,I)=A(K,I)+RO*q.*(X(N)-X(I-1))
6 CONTINUE
5 CONTINUE
DO 8 K=3,N
K1=K-1
DO 9 I=2,K1
DO 10 J=K,N
10 A(K,I)=A(K,I)+F2(X(J),X(K1),X(I-1))/Y(J)**2
A(K,I)=A(K,I)+RO*q.*(X(N)-X(K1))
9 CONTINUE
8 CONTINUE
DO 11 I=2,N
DO 12 J=I,N
12 A(I,1)=A(I,1)+F1(X(J),X(I-1))/Y(J)**2
11 CONTINUE
DO 13 I=2,N

```

CD12GH02 27/03/82 11.46.24

```

48
49
50
51
52
53
54
55
56
57
58
59
60
61
62
63
64
65
66
67
68
69
70
13 H(1)=B(1)+X(1)/Y(1)
14 EPS=1.0E-40
15 CALL RESUL(A,B,N,KOD,EPS)
16 WRITE(108,16) KOD
17 FORMAT(//F30,'KOD=',I2)
18 IF(KOD.NE.0) STOP1
19 A0=B(1)
20 N1=N-1
21 DO 17 I=1,N1
22 AI(I)=B(I+1)
23 WRITE(108,30) R0
24 FORMAT(/T30,R0=' ',F11.4)
25 WRITE(108,18) A0,(I,AI(I),I=1,N1)
26 FORMAT(/T30,A0=',E15.9/(F30,AI(' ,I2,' )=',E15.9))
27 DO 21 I=2,N
28 H0=HI(I)
29 BIC(I)=BRC(H0)
30 WRITE(108,24) H0,BI(I),BIC(I)
31 FORMAT(/T30,F6.0,2(5X,F6.4))
32 BI(I)=BIC(I)
33 CONTINUE
34 RETURN
35 END

```

CD126H02 27/03/82 11.46.38

ANEXA A2 (continuare)

```

1  FUNCTION HMIU(H)
2  COMMON/T1/A0,AI(11),HI(12)
3  HMIU=A0
4  DO 1 I=1,11
5    AUX=H-HI(I)
6    IF(AUX.LE.0.) RETURN
7 1  HMIU=HMIU+AI(I)*AUX**2/H
8  RETURN
9  END

```

CD12GM02 27/03/82 11.€6.5.

```

1  FUNCTION DMMIU(H)
2  COMMON/T1/A0,AI(11),HI(12)
3  DMMIU=AI(1)
4  DO 1 I=2,11
5    AUX=H-HI(I)
6    IF(AUX.LE.0.) RETURN
7 1  DMMIU=DMMIU+AI(I)*(2.*AUX*AUX-AUX*AUX)/H/H
8  RETURN
9  END

```

CD12GM02 27/03/82 11.€7.02

```

1  FUNCTION UIMB(B)
2  COMMON/T1/A0,AI(11),HI(12)/T2/B1(12)/T3/HC
3  K=1
4  DO 1 I=1,11
5    IF(B.GE.B1(I).AND.B.LT.B1(I+1)) K=I
6 1  CONTINUE
7    B0=-B
8    B1=A0
9    B2=0.
10   DO 2 I=1,K
11     B0=B0+HI(I)**2*AI(I)
12     B1=B1-2.*HI(I)*AI(I)
13     B2=B2+AI(I)
14  2  CONTINUE
15     RAD=B1*B1-4.*B0*B2
16     IF(RAD.LE.0.) GOTO 3
17     HC=(-B1+RAD**0.5)/2./B2
18     GOTO 5
19   3  HC=-B1/2./B2
20   5  CONTINUE
21     UIMB=1./HMIU(HC)
22     RETURN
23  END

```

CD12GM02 27/03/82 11.€7.11

```

1  FUNCTION DUIMB(B)
2  COMMON/T1/A0,AI(11),HI(12)/T3/H
3  IF(B.EQ.0.) GOTO 3
4  DBDH=A0
5  DO 1 I=1,11
6    AUX=H-HI(I)
7    IF(AUX.LE.0.) GOTO 2
8    DBDH=DBDH+2.*AI(I)*AUX
9 1  CONTINUE
10   2  DUIMB=1./DBDH/B-H/B/B
11   RETURN
12   3  DUIMB=AI(1)/A0**3
13   RETURN
14  END

```

CD12GM02 27/03/82 11.€7.11

ANEXA A3

0012345 15/10/82 11.50.00

SEARCHED INDEXED
SERIALIZED FILED
APR 1 1964
FBI - BOSTON

5012643 15/10/92 11.50.5

```
FUNCTION DIVIDE()
    CONST T = 1.0E-6
    DIVIDE = (1/(A+B+C)) * T
    RETLVR
END
```

07126403 15/10/92 13.45.00

00126403 15/10/92 10.00.c

CD126-103 15/10/82 12.00.c

COMPILE FORTRAN
STARTED
6.06

ANEXA A4

CD12GM04 27/03/82 19.49.

```
1      EXTERNAL HMIU,APROX
2      COMMON MX(5,5),HY(5,5),NT(5,5),BX(5,5),
3      *BY(5,5),BT(5,5),MED(5,5),JC(5,5),AMIU(5,5),
4      *A(5,5),B(5,5),C(5,5),D(5,5),E(5,5),
5      *F(5,5),G(5,5),K(5,5),L(5,5),
6      *PX,PY,NNX,NNY,NEX,NEY
7      */TM/AH,BM,CM
8      REAL JC,K,L
9      R1(X1,X2)=(X1*X1+X2*X2)**0.5
10     PX=0.1
11     PY=0.15
12     NNX=5
13     NNY=5
14     AMIU0=16.*ATAN(1.)*10.**(-7)
15     A1=0.655484*10.**2
16     R1=0.562
17     C1=0.577588*10.**(-4)
18     PXPY=PX/PY
19     PYPX=PY/PX
20     NEX=NNX-1
21     NEY=NNY-1
22     NLHX=NEX-1
23     NLHY=NEY-1
24     DO 19 I=1,NNY
25     DO 19 J=1,NNX
26     MED(I,J)={
27       JC(I,J)=0.
28       MX(I,J)=0.
29       HY(I,J)=0.
30       NT(I,J)=0.
31       RX(I,J)=0.
32       BY(I,J)=0.
33     19 BT(I,J)=0.
34     MED(1,1)=0
35     MED(1,2)=0
36     MED(2,1)=0
37     MED(2,2)=0
38     JC(1,1)=150000
39     READ(105,66) {HY(1,J),J=1,NNX}
40     READ(105,66) {MX(I,1),I=1,NNY}
41     66 FORMAT(5F10,1)
42     DO 71 J=1,NNX
43     NT(1,J)=R1{MX(1,J),HY(1,J)}
44     IF(MED(1,J).EQ.0) GOTO 72
45     AMIU(1,J)=AMIU0
46     GOTO 71
47     72 AMIU(1,J)=HMIU(NT(1,J))
```

6.06

CD12GM04 27/03/82 19.49

ANEXA A4 (continuare)

```

48
49      71 CONTINUE
50      DO 73 I=1,NNY
51      HT(I,1)=N1(HX(I,1),HY(I,1))
52      IF(MED(I,1).EQ.1) GOTO 74
53      AMIU(I,1)=AMIU0
54      GOTO 73
55      74 AMIU(I,1)=HMIU(HT(I,1))
56      73 CONTINUE
57      C1=1./ (PX*PX+PY*PY)
58      C2=PX*PY*C1
59      DO 8 I=1,NEMY
60      DO 8 J=1,NEMX
61      * CALL CAMIU(I+1,J+1,HMIU)
62      A(I,J)=C1*(PX*PX*PY*PY*AMIU(I,J)/AMIU(I+1,J+1))
63      B(I,J)=C2*(1.-AMIU(I,J)/AMIU(I+1,J+1))
64      C(I,J)=C1*(PX*PX-PY*PY*AMIU(I,J+1)/AMIU(I+1,J+1))
65      D(I,J)=C2*(1.+AMIU(I,J+1)/AMIU(I+1,J+1))
66      E(I,J)=C1*(PY*PY*AMIU(I+1,J)/AMIU(I+1,J+1)-PX*PX)
67      F(I,J)=C2*(1.+AMIU(I+1,J)/AMIU(I+1,J+1))+PY*PY
68      G(I,J)=C1*(PX*PX*AMIU(I,J+1)/AMIU(I+1,J+1))+PY*PY
69      H(I,J)=C1*(PY*PY-PX*PX*AMIU(I+1,J)/AMIU(I+1,J+1))
70      HCX=C*PX*C2*JC(I,J)+A(I,J)*HX(I,J)+*
71      *B(I,J)*HY(I,J)+C(I,J)*HX(I,J+1)-D(I,J)*HY(I,J+1)+*
72      *E(I,J)*HX(I+1,J)+F(I,J)*HY(I+1,J)
73      HCY=C*PY*C2*JC(I,J)+B(I,J)*HX(I,J)+*
74      *G(I,J)*HY(I,J)+D(I,J)*HX(I,J+1)+E(I,J)*HY(I,J+1)-*
75      *F(I,J)*HX(I+1,J)+L(I,J)*HY(I+1,J)
76      DHX=ABS((HCX-HX(I+1,J+1))/HCX)
77      DHY=ARS((HCY-HY(I+1,J+1))/HCY)
78      HX(I+1,J+1)=HCX
79      HY(I+1,J+1)=HCY
80      HT(I+1,J+1)=N1(HCX,HCY)
81      IF(DHX.GE.0.001.OR.DHY.GE.0.001) GOTO 9
82      CALL CAMIU(I+1,J+1,HMIU)
83      8 CONTINUE
84      DO 10 I=1,NEMY
85      HY(I+1,NNX)=Z.*PX*JC(I,NNX)+PX*PY*HX(I,NNX)+*
86      *HY(I,NNX)-PX*PY*HX(I+1,NNX)+HY(I+1,NNX)+*
87      *PX*PY*HX(I,NNX)-HY(I,NNX)
88      HT(I+1,NNX)=ABS(HY(I+1,NNX))
89      CALL CAMIU(I+1,NNX,HMIU)
90      10 CONTINUE
91      DO 11 J=1,NEMX
92      HX(NNY,J+1)=Z.*PY*JC(NEY,J)+HX(NEY,J)+*
93      *PY*PX*HY(NEY,J)-HX(NNY,J)+PY*PX*HY(NNY,J)+*
94      *HX(NEY,J+1)-PY*PX*HY(NEY,J+1)

```

5.06

CD126H04 27/03/82 19.49.

```

95      HT(NNY,J+1)=AHS(HX(NNY,J+1))
96      CALL CAMIU(NNY,J+1,HMIU)
97      11 CONTINUE
98      CALL CAMIU(NNY,NNX,HMIU)
99      DO 16 I=1,NNY
100     DO 16 J=1,NNX
101     RX(I,J)=HX(I,J)*AMIU(I,J)
102     BY(I,J)=HY(I,J)*AMIU(I,J)
103     BT(I,J)=MT(I,J)*AMIU(I,J)
104     WRITE(100,12)
105     12 FORMAT(//,T20,'TABELUL 5.1'//)
106     WRITE(100,2)
107     2 FORMAT(T20,5'HX')
108     WRITE(100,3)((HX(I,J),J=1,NNX),I=1,NNY)
109     3 FORMAT(T10,5F10.1)
110     WRITE(100,4)
111     4 FORMAT(T120,5'HY')
112     WRITE(100,3)((HY(I,J),J=1,NNX),I=1,NNY)
113     WRITE(100,5)
114     5 FORMAT(T120,5'H')
115     WRITE(100,3)((HT(I,J),J=1,NNX),I=1,NNY)
116     WRITE(100,20)
117     20 FORMAT(T120,5'BX')
118     WRITE(100,6)((BX(I,J),J=1,NNX),I=1,NNY)
119     6 FORMAT(T10,5F10.4)
120     WRITE(100,21)
121     21 FORMAT(T120,5'BY')
122     WRITE(100,6)((BY(I,J),J=1,NNX),I=1,NNY)
123     22 FORMAT(T120,5'B')
124     WRITE(100,6)((BT(I,J),J=1,NNX),I=1,NNY)
125     CALL CALCP
126     STOP
127     END

```

5.06

CD126H04 27/03/82 19.49.

ANEXA A4 (continuare)

```

1 SUBROUTINE CAMIU(I,J,MMIU)
2 COMMON MX(5,5),HY(5,5),MT(5,5),BX(5,5),AY(5,5),
3 *BY(5,5),BT(5,5),MED(5,5),JC(5,5),AMIU(5,5),
4 *A(5,5),B(5,5),C(5,5),D(5,5),E(5,5),
5 *F(5,5),G(5,5),K(5,5),L(5,5),
6 *PX,PY,NNX,NHY,NEX,NEY
7 AMIU=16.*ATAN(I)+10.*(-7)
8 IF(MED(I,J).EQ.1) GOTO 4
9 AMIU(I,J)=AMIU
10 GOTO 41
11 4 AMIU(I,J)=MMIU(MT(I,J))
12 41 RETURN
13 END

```

6.06

CD126H04 27/03/82 19.49.

```

1 SUBROUTINE CALCP
2 DIMENSION X(8),Y(8),AZX(5,5),AZY(5,5),AZ(5,5)
3 COMMON MX(5,5),HY(5,5),MT(5,5),BX(5,5),AY(5,5),
4 *BY(5,5),BT(5,5),MED(5,5),JC(5,5),AMIU(5,5),
5 *A(5,5),B(5,5),C(5,5),D(5,5),E(5,5),
6 *F(5,5),G(5,5),K(5,5),L(5,5),
7 *PX,PY,NNX,NHY,NEX,NEY
8 DO 30 I=1,NNY
9 AZX(I,NNX)=0.
10 30 AZY(I,NNX)=0.
11 DO 31 J=1,NHX
12 AZX(NHY,J)=0.
13 31 AZY(NHY,J)=0.
14 DO 32 NI=1,NEY
15 I=NEY-NI
16 DO 32 NJ=1,NEX
17 J=NNX-NJ
18 AZX(I,J)=AZX(I,J+1)+(BY(I,J+1)+BY(I,J))/2.*PX
19 AZY(I,J)=AZY(I+1,J)+(BX(I+1,J)+BX(I,J))/2.*PY
20 DO 33 I=1,NHY
21 DO 33 J=1,NHX
22 AZ(I,J)=(AZX(I,J)+AZY(I,J))/2.
23 WRITE(108,24)
24 FORMAT(/T20,AZ/)
25 WRITE(108,34){(AZ(I,J),J=1,NNX),I=1,NEY)
26 FORMAT(T10,5F10.3)
27 POT=0.05
28 AUX=0.
29 DO 35 I=1,NEY
30 DO 35 J=1,NEX
31 IF(AUX.LT.AZ(I,J)) AUX=AZ(I,J)
32 CONTINUE
33 43 IX=0
34 DO 36 NI=1,NEY
35 I=NEY-NI
36 DO 37 NJ=1,NEX
37 J=NNX-NJ
38 IF(POT.GE.AZ(I,J)) GO TO 37
39 IX=IX+1
40 X(IX)=(J-1)*PX+APROX(AZ(I,J),AZ(I,J+1),PX,POT)
41 Y(IX)=-(I-1)*PY
42 GO TO 36
43 CONTINUE
44 36 CONTINUE
45 DO 39 NJ=1,NEX
46 J=NNX-NJ
47 DO 40 NI=1,NEY

```

6.06

CD126H04 27/03/82 19.49

```

48 I=NEY-NI
49 IF(POT.GE.AZ(I,J)) GO TO 40
50 IX=IX+1
51 X(IX)=(J-1)*PX
52 Y(IX)=-(I-1)*PY-APROX(AZ(I,J),AZ(I+1,J),PY,POT)
53 GOTO 39
54 40 CONTINUE
55 39 CONTINUE
56 WRITE(108,41) POT,X,Y
57 41 FORMAT(/,T20,'POT=','F4.2/T10,'X=','BF6.3/
58 *T10,'Y=','BF6.3)
59 NEXY=NEX+NEY
60 DO 42 I=1,NEXY
61 X(I)=0.
62 Y(I)=0.
63 PUTPUT=0.05
64 IF(POT.LT.PUT) GOTO 43
65 RETURN
66 END

```

6.06

CD126H04 27/03/82 19.

ANEXA A4 (continuare)

FUNCTION HMIU(HT)
COMMON/TM/AM,BM,CM
HMIU=1./(AM+BM*(1T)+CM
RETURN
END

b.06 CD12GM04 27/03/82 19.50.

1
2
3
4
5

FUNCTION APRUX(Y1,Y0,P,X)
APRX=(Y1-X)/(Y1-Y0)*P
RETURN
END

b.06 CD12GM04 27/03/82 19.50.

1
2
3
4
5